

ТАРТУСКИЙ ГОСУДАРСТВЕННЫЙ УНИВЕРСИТЕТ

РЕАКЦИОННАЯ СПОСОБНОСТЬ ОРГАНИЧЕСКИХ СОЕДИНЕНИЙ

ТОМ XXV ВЫП. 1(89) Март 1988

ТАРТУСКИЙ ГОСУДАРСТВЕННЫЙ УНИВЕРСИТЕТ

РЕАКЦИОННАЯ СПОСОБНОСТЬ ОРГАНИЧЕСКИХ СОЕДИНЕНИЙ

ТОМ XXV ВЫП. I(89) Март 1988

Редакционная коллегия:

В.А. Пальм (отв. редактор)

В.И. Минкин

А.Ф. Попов

И.А. Коппель

М.М. Карельсон



РЕАКЦИОННАЯ СПОСОБНОСТЬ ОРГАНИЧЕСКИХ СОЕДИНЕНИЙ.
Том XXV. Вып. I(89). Март 1988.
На русском языке.
Тастуский государственный университет.
3CCP, 202400, г.Тарту, ул. Оликооли, 18.
Ответственный редактор В. Пальм.
Подписано к печати II.IO.1988.
МВ 02876.
Умага писчая.
Машинопись. Рочапринт.
Условно-печатных листов 6,74.
Печатных листов 7,25. Учетно-издательских листов 6,29.
Тираж 400.
Заказ № 810.
Цена I руб. 30 коп.
Типография ТТУ, ЭССР, 202400, г.Тарту, ул.Тийги, 78.

ROPOTEA PLIN ABTOPOB

- Статья должна быть написана с краткостью, совместимой с ясностью изложения, окончательно отредактирована и оформлена. Статья является оригиналом для печати.
- 2. Текст должен быть напечатан на белой бумаге стандартного формата через I,5 интервала с одной стороны листа в занимать вместе с рисунками и таблицами площадь в пределах I5,5 см по горизонтали и 23,5 см по вертикали. Статья должна быть напечатана на машинке с тщательно очищенным шрифтом, печать должна быть четкой и контрастной, но не слишком жирной.
- 3. Для каждого рисунка необходимо оставить место среди текста над соответствующей подписыв. Рисунки следует прило жить четко выполненными на миллиметровой бумаге в масштабе 2: I по отношению к оставленному в тексте месту. Рисунки пронумеровать.
- 4. Каждая работа должна сопровождаться направлением учреждения, в котором она выполнена, двумя рецензиями, актом экспертизы и авторской справкой по стандартной форме.
- 5. Сборник издается на двух языках русском и английском; необходим, поэтому, идентичный русскому текст статьи на английском языке.
- 6. В английском варианте статьи:
 - в цифрах вместо запятой следует ставить точку (например, 10,5 вместо 10,5);
 - б) в заголовке статьи, а также в списке литературы, перед последней фамилией ставится "and", если число авторов больше двух, то перед "and" ставится запятая, все слова в заголовках (например, таблиц) пишутся с большой буквы;
 - в) следует придерживаться американской транскрипции слов, допускающих разнонаписание (например, "ionization", а не "ionisation", "center", а не "centre", "behavior", а не "behaviour" и т.д.).
- 7. Ссылки на литературные источники даются в соответствии с правилами "Chemical Absracts".

- 8. При ссылках в английском варианте статьи на выпуски настоящих сборников, вышедших до 1975 года, название сборника следует писать в виде "Reakts.sposobn.organ.soedin;" после 1975 года - "Organic Reactivity".
- Авторы, испытывающие затруднения при переводе на английский язык, могут обратиться за помощью в редакцию.

Реаки. способн. орган. соедин., том 25, вып. 1(89), 1988.

УДК 541.124+541.183

РЕАКЦИОННАЯ СПОСОБНОСТЬ АТОМАРНОГО ВОДОРОДА — ПРОСТЕЙШЕГО РАДИКАЛА: КВАНТОВОХИМИЧЕСКИЕ АСПЕКТЫ

Р.С. Асатрян

Армянский филиал Всесоюзного научно-исследовательского института химических реактивов, особо чистих химических веществ и реактивов для хроматографии, г. Ереван

Поступило 8 апреля 1987 г.

Рассмотрено современное состояние и перспективы квантовохимических исследований механизмов радикальных реакций на простейшем примере реакций атомарного водорода с органическими соединениями.

I. ВВЕЛЕНИЕ

Реакции атомарного водорода являются простими прототипами радикальных процессов, примыкающих ко многим областям
современной химии. Особое внимание к ним объясняется, с одной стороны, простотой конфигурации моноводорода и широкой
вариацией энергетического спектра, а с другой стороны —
возможностью сопоставления различных изотопных вариантов
одних и тех же реакций для более полного понимания механизма протекающих процессов 1,2.

Квантовохимическое изучение механизмов этих реакций берет истоки из классических работ Гейтлера, Эйринга и др. 3, 4. Паиболее достоверные и интересные результаты, однако, получены в последние IO-I5 лет. Причиной тому служит качественно новый уровень проводимых исследований, связанный с развитием вичислительной техники и методологии квантовой химии. В представленном обзоре сделана попытка иллострировать современные достижения квантовой химии в исследовании механизмов реакций моноводорода с органическими субстратами, начиная от детальных расчетов поверхностей потенциальной энергии (ППЭ) простых модельных систем и кончая полуколичественными и качественными методами индексов реакционной способности (ИРС).

В последнее время намечается тенценция ко все более интенсивному применению неэмпирических расчетных схем, так как они надежно контролируются и не содержат присущий полуэмпирическим методам элемент произвола. Однако, построение ШПЭ этими методами связано с преодолением ряда технических трудностей. В первую очередь, с затратами больших (на 1-2 порядка) усилий, чем при расчете геометрии индивидуальных молекул; для отыскания седловой точки (переходного состояния - ПС) требуется пройти по пути минимальной энергии между локальными минимумами энергии, соответствующими равновесным состояниям реагентов и продуктов реакций, и/или минимизировать норму градиента в окрестности предполагаемой седловой точки. Эта процедура на уровне неэмпирических расчетов постаточно трудоемкая и требует больших затрат машинного времени и оправдана лишь при решении "небольших" модельных задач. Второе осложняющее обстоятельство состоит в том, что надежные оценки энергии ПС могут быть получены лишь при учете корреляции электронов. В практических расчетах вы initio, как правило, геометрия седловой точки предварительно отискивается в минимальном базисе, после чего геометрические и энергетические параметры ПС уточняются расширением базиса и/или включением корреляционных эффектов. В обзоре проведен детальный анализ подобных расчетов применительно к простым органическим и неорганическим системам, таким как H+CH₄, H+F₂, H+NH₃, H+NO, H+CH₃NH₂, и т.п., имеющих принципиальное значение для моделирования сложных химических и биологических реакций, изучение которых на том же уровне затрушнительно.

На практике, зачастую, применяются более экономичные, но менее надежние, полуэмпирические методы, поэтому в обзор включен также анализ применимости этих методов к обсуждаемым задачам. Кроме того, особое внимание уделено последним достижениям индексного подхода, так как для повседневной химмической практики простие качественные подходы наиболее привлекательны.

ІІ. МЕТОДЫ РАСЧЕТА РАДИКАЛЬНЫХ СИСТЕМ

В расчитах электронных карактеристик радикалов обычно используется приближение Хартри-Рока 5. Многоэлектронная волновая функция Ψ системы, включающей (N=N + N) электронов со спинами о и β , аппроксимируется антисимметризованным произведением одноэлектронных бункций Ψ_i^{α} , Ψ_i^{α} молекулярных спин-србиталей (МО)

$$\Psi = A \det[\varphi_1^{\beta} \dots \varphi_1^{\beta} \varphi_1^{\alpha} \dots \Upsilon_j^{\alpha}]$$
 (I)

Значение коэффициента А определяется условием нормировки Ψ к единице.

Молекулярные орбитали 4 ищутся в виде линейной комбинации атомных орбиталей Хи - ЛКАО

 $Y_i = \sum_{\mu} C_{\mu i}^{*} X_{\mu}$; $\mathcal{R} = \emptyset$, β где $C_{\mu i}^{*}$ – искомые коэффициенты разложения. Для определения последних исходят из вариационного принципа с минимизацией полной электронной энергии Е, что, в конечном счете, сводится к решению уравнений Картри-Фока-Рутана 6.

$$\sum_{\mu} (F_{\mu\nu} - \xi_{i} S_{\mu\nu}) c_{\mu i}^{k} = 0 ; \qquad i = 1, 2 \cdot \cdot \cdot N$$
 (2)

Решение нелинейного алгебраического уравнения (2) методом итераций (метод самосогласованного поля - ССП) дает набор коэффициентов он и энергий одноэлектронних МО 🐉 в из представляет собой матрицу перекрывания АО Х. и ХЭ.

Для расчета систем с незамкнутыми электронными оболочками часто применяется вармант однодетерминантной волновой функции, в котором используются разные пространственные части для спин-орбиталей 🖓 и 🖞. Независимое варьирование этих орбиталей путем решения системы уравнений (2) с ж = «и в приводит к приближению неограниченного метода Картри-Фока (НХФ).

Наряду с методом НХО в расчетах радикалов широко используются симметрийно-ограниченный метод Хартри-Фока (ОХО) 6 и полуэлектронный метод Дьюара 8 . Заселенные MO в этих методах разделяются на две группы, соответствующие закрытым (дважды заполненным) и открытым электронным оболочкам. При

расчетах методом ОХФ уравнения типа (2) включают недиагональные лагранжевы множители, связывающие закрытую и открытую оболочки, что усложняет их решение и возникают трудности, характерные для процесса ССП (см., например, 9). В полуэлектронном методе Дьюара молекулярные орбитали выбираются путем минимизации выражения $E+I/4(\mu_{\mu})$, где (μ_{μ}) , где (μ_{μ})) – кулоновский интеграл для однократно занятой МО. Расчеты для конкретных радикальных и триплетных систем показали 10 , что метод 11 , что метод 11 , что метод 11 , что метод 11 и полуэлектронный метод дают близкие результать.

Основная трудность, определяющая необходимое для расчета время работи ЭВМ и, следовательно, стоимость расчета, связана с вичислением многоцентровых интегралов (μ 7 \mid 36). Их общее число в зависимости от размера базиса и оценивается как \sim N $^4/4$. Проблеме вибора оптимального базиса посвящены работы $^{12-15}$.

Вышеуказанные методы (неэмпирические или ab initio) хорошо передают свойства молекул, зависящие от зарядового распределения — равновесные расстояния, дипольные и квадрупольные моменты и т.п.. Однако, будучи по своей природе одночастичным приближением, метод Хартри-Фока неудовлетворительно передает энергетические характеристики систем. Хотя относительная ошибка в расчете полной энергии составляет всего несколько процентов, по величине она сравнима с энергией диссоциации связей в молекуле. Явное пренебрежение кулоновским взаимодействием электронов с противоположно направленными спинами приводит к так называемым "корреляцинонным" ошибкам. К настоящему времени разработано большое количество различных способов учета энергии электронной корреляции; их обзор можно найти в 13,15-18.

В неэмпирических расчетах реакций моноводорода обычно проводится широкий учет конбигуреционного взаимодействия (163). Полная волювая бункция ищется в виде линейной комбинации антисимметризованных произведений слетеровских детерминациов

$$\Phi = \sum_{k} c_{k} \Psi(k) \tag{3}$$

В качестве волнових функций Ψ (к) обично используются решения уравнений (2) для виртуальных орбиталей. Так как конфитурационный ряд является сходящимся, расчет тем точнее, чем больше конфигураций принимается в расчете. Сходимость резко улучшается при одновременном варьировании орбиталей и коэффициентов $C_{\rm K}$ в конфигурационном ряду (3) — метод многоконфигурационного ССП.

Существуют различные способы выбора наиболее существенных конфигураций в методе КВ 19-24. Так как большую часть энергии корреляции электронов составляют парные корреляции 21 то в ряде случаев многоэлектронную волновую функцию удобно построить из двухэлектронных функций - геминалей. В 22 использованы сгруппированные парные конфитурационные функции (PAIR---CI) . каждая из которых включает перестановку в определенной паре занятых спин-орбиталей. Коэффициенты перед этими перестановочными детерминантами фиксируются при значениях, найденных по теории возмущений. Для оценки вклада различных конфигураций в 19,20 также использована теория возмущений. Наряду с вышеупомянутыми версиями метода КВ для изучения реакций атомарного водорода применялось также приближение связанных электронных пар с использованием парных натуральных орбиталей Рио - свр $^{25-27}$. Обзор по теории электронных пар, применяемых для расчета корреляционной энергии можно найти в 28. В ряде случаев расчеты КВ основываются на орбиталях, полученных в рамках обобщенного метода строго ортоганализованных валентных связей POL - CI(SOGVB) 29,30 Последний по своей сути во многом близок методу МО. Его постоинством является учет внутрипарной кортоняции. что мак мы увидим далее дает возможность корректно рассматривать реакции атома водорода.

Для изучения реакционной способности практически вакных химических и биологических систем зачастую применяются
приближенные полуэмпирические методы, среди которых наибольшей популярностью пользуются методы нулевого дифференциального перекрывания (ПДП); см., например, 31-34. Не останавляюясь подробно на леталях этих методов отметим, что они, в основном, отличаются степенью учета интегралов взаимодействия

и способом введения эмпирических параметров. В методах ППДП (полного пренебрежения дифференциальным перекрыванием) учиниваются интегралы типа (μ_A), а в схеме ЧПДП (частичного пренебрежения дифференциальным перекрыванием) включаного дополнительно одноцентровые интегралы (μ_A), λ_A λ_A λ_A , что позволяет учесть спиновую поляризацию электронов, необходимую при изучении радикальных систем.

Для изучения поверхностей потенциальной энергии, в частности для радикальных реакций, широко применяются разработанные Дьюаром и сотрудниками методы МЧПДП (модифицированное пренебрежение двухатомным перекрывванием) 36,38. Параметризация в этих методах разрабатывалась с такой целью, чтобы как можно точнее вичислять максимальное число физических свойств. В результате эти методы успешно применяются для определения теплот образования, потенциалов ионизации, стабильности свободных радикалов и теплот реакций.

III. ИССЛЕДОВАНИЕ ПОВЕРХНОСТЕЙ ПОТЕНЦИАЛЬНОЙ ЭНЕРГИИ I. Методы исследования ППЭ

Прежде чем перейти к обсуждению результатов конкретных работ по исследованию ППЭ реакций моноводорода, проведем небольшой обзор по современному состоянию методов поиска стационарных точек многомерных поверхностей потенциальной энергии.

Поверхность потенциальной энергии $V(q_i)$ представляет собой функцию Зм ядерных координат или (Зм-6) степеней свободы. Исходные соединения и продукты реакции соответствуют локальным минимумам этой функции. Кроме того, локальные минимумы этой функции могут отвечать продуктам, образующимся при других направлениях реакции, а также интермедиатам. Глобальному минимуму соответствует наиболее устойчивая конфигурация.

Локальные минимумы на ППЭ характеризуются тем, что первие производные энергии от всех внутренних координат равны

нулю, в то время как кривизна поверхности $\mathbf{F_{ij}} = (\partial^2 \mathbb{E}/\partial \mathbf{x} \partial \mathbf{y})$ положительна вдоль любого направления. Переходному состоянию на ППЭ соответствует седловая точка, для которой выполняется условие минимакса. Для нахождения стационарных точек на ППЭ реакций моноводорода чаще всего использовались методы переменной метрики 39-41. Эти методы позволяют находить улучшенную геометрию $\mathbf{X}^{\mathbf{n}+1}$ по данным об исходной системе $\mathbf{X}^{\mathbf{n}}$ с помощью рекуррентного соотношения.

$$X^{n+1} = X^n - {}_{n}A^ng^n$$

тде вⁿ-градиент энергии. Методы переменной метрики отличаются друг от друга способом определения скалярной величины скалярной величины скалярной матрицы Aⁿ. Авторами ^{4I} сформулирован ряд условий, которым должна удовлетворять точка q , соответствующая ПС, а также разработан алгоритм, позволяющий достаточно точно локализовать положение седловой точки и одновременно определить, соответствует ли она переходному состоянию или является локальным минимумом. В качестве предполагаемой координаты реакции авторы ^{4I} предложили использовать длину рвущейся связи или изменение величины угла, характерного для данной реакции. Другой способ предложен в ⁴², ⁴³. Это, так называсмые, "линейные внутренние координатые пути", задаваемые набором внутренних координат

$$q(\lambda) = q^p - \lambda(q^{np} - q^p)$$

При линейном изменении параметра λ от нуля до единици координати линейно изменяются от значения q^p , присущего реагенту, до значения q^{np} , присущего продукту. Для этого пути вычисляются энергия и норма ее градиента 6, которые, соответственно, исследуются на минимум и максимум. Положение двойного минимума для 6, когда эта величина равна нулю одновременно при переходе со сторони реагента и со сторони продукта, используется в качестве исходной оценки геометрии в процедуре минимизации по методу наименьших квадратов. Вышеизложенная идея получила развитие в работах Липскома с сотр. 44, которые использовали декартовы координаты, избежав, при этом, расчета градиентов. В предложено псев-

докинетическое определение координаты реакции, использованием пути наименьшего движения. При этом, в качестве координаты реакции выбирается не длина рвущейся связи, а расстояние между центрами тяжести фрагментов. В 46 авторами предложен алгоритм поиска стационарных точек ППЭ, основанный на параболической аппроксимации участков поверхности с явным вычислением градиента и гессиана. Для расчетов автинать аналитическая процедура реализована в 47. Аналитический расчет силовых постоянных для волновой функции МК ССП выполнен авторами 48.

Вышеописанные процедуры, в основном, применяются пля полуэмпирических методов васчета. В связи с этим. возникает ряд методологических проблем. На конкретных примерах они будут рассмотрены в следующем разделе. Отметим только некоторые затруднения, возникающие при выборе метода расчета открытой оболочки. Напомним. что в формализме "половинок электрона" МО выбираются минимицацией величины E+I/4 (мы luw). а не полной электронной энергии Е 7. МО, найденные таким образом, не идентичны МО, полученным при минимизации Е и, следовательно, не инвариантны к малым изменениям геометрии. Исходя из этого, возникает необходимость проведения полных ССП расчетов для каждой точки ШЭ, что увеличивает расход машинного времени. Во избежание этого можно было применить формализм $HX\Phi$ (см., например, $^{49-5I}$), что дало бы возможность легко рассчитивать производные энергии. Однако, в данном случае время расчета увеличилось бы еще больше за счет удвоения диагонализующихся матриц (для о и в электронов). Кроме того, волновая функция НХФ подхода не является собственной функцией квадрата полного спина \hat{S}^2 , а применение операторов проектирования, позволяющих удалить из У нхф примесные компоненты с более высокой мультиплетностью, достаточно трудоемко и требует больших затрат машинного времени. Таким образом, во многих случаях оптимальным является сочетание этих двух методов. Большое количество расчетов по полуэлектронному методу показывает, что рассчитанные для радикалов теплоты образования находятся в хорошем согласии с экспериментом (см., в частности, 10,11).

2. Основные механизмы реакций моноводорода.

Реакции моноводорода (Т)с полиоункциональными органическими соединениями можно представить следующими основными схемами.

І. Реакция отрыва функциональной группы X или атома Н

$$RX + T \longrightarrow R + XT \tag{4}$$

2. Замещение указанной группы с инверсией конфитурации или с сохранением симметрии атакующего центра

$$RX + T \longrightarrow RT + X \tag{5}$$

З. Присоединение к ненасыщенной связи

А. Реакции Н-отрыва.

С теоретической и экспериментальной точек зрения наиболее изученной органической системой является реакция $T+CH_4$; ее рассмотрение позволяет сравнивать не только адекватность различных квантовохимических подходов, но и служит наглядным прямером стереохимической реализации ИС различной структуры, поэтому целесообразно на этом примере остановиться более подробно.

Система включает обратимую реакцию

$$CH_4 + T \rightleftharpoons TH + CH_3$$
 (6)

и разлию обмена

$$CH_4 + T \longrightarrow CH_5T + H \tag{7}$$

Согласно экспериментальным данным, реакция (6) экзотермична ($\Delta Q = -0.0$ ккал/моль) и идет с энергией активации E_a , которая по дпиным различных авторов оценивается от 4,5 до 12 ккал/моль 52-54 в зависимости от условий эксперимента.

Теплонейтральная реакция обмена протежает с "горячими" атомами и может служить моделью для широкого круга реакций, таких атомов. Порог реакции фотолитически генерированных "горячих" атомов трития в системе $\mathbf{T} + \mathbf{C}\mathbf{D}_4$ оценен равным 35-40 ккал/моль 55 .

В табл. I и 2 собраны результаты расчетов ППЭ реакции (6) в рамках различных полуэмпирических и неэмпирических методов 56 . Бо всех обсуждаемых нами работах принята одинако-

вая модель аксиальной атаки (a) (см. рис.), впервые примененная Эйрингом и сотр. 4 . Предполагается, что атом водорода (Т) приближается колинеарно к одной из связей С - Н метана с сохранением симметрии Од, по пути реакции. Из данных, указанных таблиц видно, что практически все полуэмпирические методы предсказывают наличие минимума потенциальной энергии на ППЭ, в то время как по предсказаниям многочисленных ав initio расчетов на ППЭ существует единственная седловая точка, соответствующая переходному состоянию реакции. ПС при этом локализовано в выходном канале поверхности и его геометрическая структура в меньшей степени зависит от выбранного базиса и учета корреляционных эбфектов, чем величина барьера. Так, например, учет даже ограниченного КВ (692 конфигурации) в методе ОХФ 60 приводит к резкому уменьшению высоты барьера (почти вдвое). Снятие ограничения по спину (метод $HX\Phi^{-61}$) также как и следовало ожидать из-за частичного учета корреляции, уменьшает высоту барьера (на~9 ккал/ моль по сравнению с расчетами $0X\Phi$ в том же базисе 60). Учет 2p - поляризационных о́ункций водорода и 3d - углерода не приводит к существенному улучшению результатов (изменение составляет лишь 0.8 ккал/моль; см. табл. 2). Любопытно, что проведенные методом PAIR-CI расчеты с включением поляризационных бункций с учетом 18271 возбужденных конбигураций 62 приведит к неожиданно малому изменению результатов расчета метолом ОТФ-КВ 60. Очевидно, спин-поляризационные эффекты, которые непосредственно учитываются в приближении НХО также хорошо описываются с помощью ОХО-КВ с одно- и двукратно возбужденными конбигурациями. Как видно из табл. 2, наилучшее согласие с экспериментом имеет место в расчетах 30, где был применен обобщенный метод валентных схем с учетом поляризационных бункций и корреляции электронов POL-CI(SOGVB) . В этой работе был использован достаточно гибкий базис (см. табл. 2), а также учтена внутрипарная корреляция, что делает полученние результати достаточно коррективми. Ошибка метода РОІ-СІ для системы СН5 из сравнения с реперной реакцией йню, изученной в пределе хартри- оковского базиса, авторами 62 оценивается поридка 2,4 ккал/моль.

Характеристики стационарных точек на ППЭ реакции (6). Полуэмпирические расчеты $^{\rm X}$

Метод		Струк	турные	ккал	a		
	ΔЕ ^{XX} ккал моль	R _{TH}	R _{CH}	R _{CH3}	рад град	МОЛЪ	Ссылки
Метод Эйринга	9,5	I,40	I,I7	I,09	I05,0	-7,4	4
	-7,6	0,95	I,22	-	_	-	
	6,0	0,80	I,55	-	-	-	
Модиф. метод	8,I	I,40	I,20	-	I09,5	-5,3	53
ЭйрингаХХХ	-4,0	0,80	I,30	-	-	-	
ППДП/БУ-НХФ	-I3,0	0,50	I,IO	I,09	I09,47	-	59
ФХН-ПДПР	75,0	0,91	I,56	I,09	I09,47	-I5,7	59
	-I2,3	0,70	I,I3	I,I2	I09,9	-44,0	57
E/IIIIIPM	2,25	I,40	I,I2	I,IO	I08,7	-2,4	56
	-2,2I	0,87	I,22	I,IO	I06,98		
	-0,2	0,76	I,69	I,09	IOI, I5		
чилл-нхфхххх	-8,3	I,2	I,II	I,IO	I08,5		56
штш/2-нхФххх	X_8,7	-	_	000	-		56

х - обозначения см. на рис. а.

 $xx - \Delta E$ — относительные энергии стационарных точек. Отрицательный барьер указывает на стабильный интермедиат.

ххх - использован аналогичный метод с изменением параметра D в уравнении Морзе

хххх - пересчет минимального энергетического пути (МЭП), полученного методом МЧПДП/З 56 .

ТАБЛИЦА 2 Характеристики стационарных точек ППЭ реакции (6). Неэмпирические расчеты

метод,	C	труктуј	оные па	араметр	H.	ΔQ,	
базис	ДЕ ккал моль	R _{TH}	R _{CH}	R _{CH} ₃	• град	<u>ккал</u> Моль	Ссылки
4 4 4 4	114						
ΟΧΦ - Φ CT- 3 Γ Φ	37,5	0,87	I,37	I,08	109,5	I4, 0	60
ΟΧΦ-ΦCT-4-3I ΓΦ	35,2	0,86	I,42			6,71	60
0ΧΦ - ΦCT-4-3ΙΓΦ +KB	I8,0	0,95	I,48		- 1	2,11	60
HΥΦ-ΦCT-4-3ITΦ	25,0	0,93	I,38	I,077	I03,6	4,5	6I
HXΦ-ΦCT-4-3IΓΦ +2p ^H +3 C	24,2	0,83	I,22	I,IO	-	3,2	61
НХФ − З Г Ф ^{X}	25,8	0.87	I,22	I,IO	106,9	10	56
$HX\Phi - \Phi CT - 4 - 3II\Phi^X$	26,6	_	1 13		hele-	4,5	56
$HX\Phi - \Phi CT - 6 - 3II\Phi^X$	26,6		_	0_ 5,	-	3.3	56
PAIR - CI	I7.7	0,90	I,38	-	103,5	3,3	52
HXΦ-(IOs5pId/ 5sIp)/ 5s2pId/ 2sIp + KB	I7,7	-	_	- N	B- In the second	3,I	62
HXΦ-ΦCT-6-3IIΦ	24,74	0,934	I,363	I,077	I04,3	3,32	66
HKP-KB(CIPSI -	16,19	-	-	T-7 (T)	- 01	-0,IO	66
POL-CI(9s5p/4s) 3s2p/2s	I8,7	0,92	I,48	1,08	102,8	6,8	30
(SOGVB)							
(9s5pId/8sIp)/ 3s2pId/2sIp	16,2	0,92	I,47	IONY TELY	102,4	5,3	30
(IIs6p2d/5sIp)/ 4s3p2d/3s3p	I5,9	-	-	-	-	5,2	30
ЭмпиричХХ	16,9	0,91	I,84				63
Мод и ф. ЛЭПС ^{XX}	5,6	0,74	I,60				64

х - пересчет МЭП, полученного методом МЧЦДЦ/З хх - динамические расчеты с использованием ППЭ

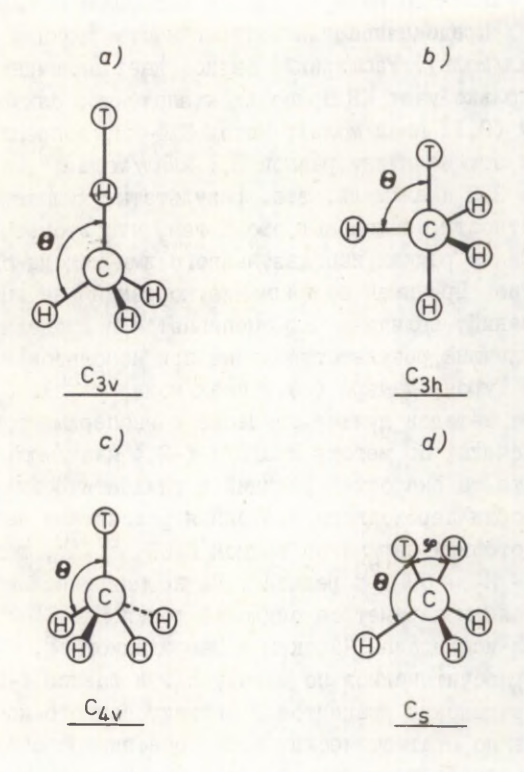


Рисунок. Геометрия комплексов $\mathrm{CH_4T}$: а — модель акси-ального отрыва атома H, б — ПС реакции с инверсией, в — ПС псевдовращения, г — ПС реакции с сохранением конбигурации.

Что касается рассчитанных энергий изолированных реагентов, ответственных за значения термодинамических параметров. то оказывается, что они в значительной степени зависят от качества базисного набора. Так, в минимальном базисе ОХФ расчеты 60 предсказывают эндотермичность реакции (ДС = 14.01 ккал/моль). Расширение базиса дает величину 6.79 ккал/ моль, и только учет КВ приводит к значению, близкому к эксперименту (2, II ккал/моль). Метод НХФ-КВ, вопреки ожиданиям, оценивает эту величину равной 3, I ккал/моль 62, а метод PAIR-CI - 3,3 ккал/моль, т.е. результаты ухудшаются. Авторы 62, в частности, связывают это с тем, что геометрические параметры СН2 в рамках использованного ими метода оцениваются неадекватно. Принимая во внимание коррекцию на энергии нулевых колебаний, величина А Q оценивается в пределах I,5 ккал/ моль. Наилучший результат получен при использовании итеративной схемы Гурона-Мальре (-0, I ккал/моль 65,66). Среди полуэмпирических методов лучшее согласие с экспериментом наблюдается в расчетах по метолу МЧПДП/З $(-2.4 \text{ ккал/моль}^{56})$.

Константи скоростей реакций и адиабатические пороги в рамках теории переходного состояния рассчитани как для различных изотопных вариантов прямой Н+СН₄ 67-70, так и для обратной — Н₂ + СН₃ 70 реакций. На неэмпирическом уровне с использованием параметров седловой точки НХФ-КВ 62 этот вопрос был исследован Чарским и Заградником 68. Силовые постоянные рассчитывались по методу НХФ в базисе 4-СІ ГФ. Функции распределения реагентов и активированного комплекса определялись по статистическим весам основных состояний этих систем. Определением этому служило то, что наинизшее возбужденное состояние структуры С 3V — ПС реакции (5), определенное методом ППАП/С 68, имеет достаточно высокую энергию по отношению к основному состоянию. Корошее согласие между теоретически и экспериментально определенными константами скоростей реакции (6) наблюдалось в интервале больших температур реакции.

Траекторные расчеты на различных ПЮ выполнены в 63,64. Анализ этих данных, а также результаты непосредственных рас-

четов констант скоростей для IIIIЭ POL-CI(SOGVB) приведены 70

Если при високих температурах рассчитанная в 68 константа скорости согласуется с экспериментом, то для комнатной температуры эта величина переоценивается в 30 раз. Учет туннельной поправки 71 по методу Якубеца 72 уменьшает раскождение до 5 раз. Переоценка 5 в расчетах НХФ-КВ на 5 ккал/моль, по мнению автора 71 , является причиной оставшегося расхождения. В расчетах предэкспоненциального фактора в 70 частоти нормальных колебаний были вичислены в гармоническом приближении и туннельные поправки учтены по Вигнеру 78 . При сопоставлении температурной зависимости рассчитанных констант скоростей с экспериментом сделано заключение, что оптимальное значение 5 обеспечивающее лучшее согласие с экспериментом является 5 ккал/моль.

При рассмотрении различных изотопных вариантов реакции (6), в частности, получено, что H-отрыв доминирует по отношению к D — отрыву в реакциях H + CH3D и H + CH2D 2 70, но для реакции H + CHD3 при 700°К соответствующие константи скоростей K_H и K_D равни между собой, тогда как при температурах ниже 700° К K_H K_D , а выше 700° К K_H K_D .

Имеются определенные успехи и в изучении реакции моноводорода с более сложными органическими соединениями. Тенденция изменения характеристик ПС в ряду замещенных метана изучена в ряде работ 56,74-76. Исследования ППЭ, в основном, проведено в рамках полуэмпирического метода МЧПДП/З полной оптимизацией геометрических параметров в сочетании с ограниченым числом неэмпирических расчетов НХФ в различных базисах. В согласии с расчетами аb initio, метод МЧПДП/З для реакции Н-отрыва во всех рассматриваемых случаях, за исключением системы Н + СН₄, предсказывает наличие единственной седловой точки, соответствующей переходному состоянию (см. табл. Э,4). Данные таблиц указывают на принципиальное согласие рассматриваемых методов по отношению к локализации ПС - в обоих случаях ПС локализованы во входном канале реакции. Этот вывод согласуется также с эмпирическим принципом Мэммонда 77, в соответствии с которым барьер экзотер—

ТАБЛИЦА З Характеристики ПС реакции RH + Т $\xrightarrow{76}$ R + HT, рассчитанные методом МЧПДП/З 76 .

R	E KKÄJ MOJIL	∆ Q <u>ккал</u> моль	Arah A	Ar _{TH}	Q _A		q _T e
CH ₃ HOOC-CH ₂ H ₂ M -CH ₂	2,25 4,92 5,24	II,4	0,04	0,63	0,063	0,030 0,073 -0,002	-0,072
HOOC CH	100					0,048	
OOC CH	9,44	27,6	0,05	0,66	-0,091	0,059	-0,I34
H ₃ C-C00						0,I08 0,III	

х — $\Delta \mathbf{r}_{\mathtt{AH}} = \mathbf{r}_{\mathtt{AH}}^{\mathtt{nc}} - \mathbf{r}_{\mathtt{AH}}^{\mathtt{o}}$, где А — центральний атом, связанный с реагирующим атомом водорода. Заряды на атомах обозначены символоми $\mathbf{q}_{\mathtt{A}}$, $\mathbf{q}_{\mathtt{H}}$ и $\mathbf{q}_{\mathtt{T}}$

ТАБЛИЦА 4

to the bear one or

Характеристики ПС реакции Н-отрыва, рассчитанные неэмпирически с использованием минимального энергетического пути, полученного методом 1911411/3.76

R	ΔЕ <u>ккал</u> моль	ДQ <u>ККАЛ</u> МОЛЬ	FAH Å	T _T H Å	q _A e	e e	9 т е
CH ₂	26,9	-3,2	0,12	0,12	-0,494	-0,037	-0,0II
H2 N-CHX	8,6	-3,6	0,06	0,02	-0,070	0,310	-0,003
HÕOC-CH2	49,0	-I9,I	0,03	0,02	0,060	0,006	0,025

x - базис ФСТ-4-ЗІГФ xx - базис ФСТ-ЗІГФ

мической реакции сдвинут по координате в сторону реагентов. Таким образом, ошибки в параметризации метода МЧПДП/3 - в частности, сродство к электрону в этом методе пероценивается, заметны лишь для "небольших" систем типа $H + CH_A^{56}$ и Н + СН 78. Однако, при переходе к более сложным системам (своеобразное расширение базиса) ошибки становятся менее заметными и исчезают лишние стационарные точки на ппр 74,78 Анализ изменения электронной структуры реакционных центров в ряду земещенных метана указывает на отсутствие определенной корреляции с величинами до 76 - электронные характеристики, как и следовало ожидать, не являются промежуточными для этих систем. Причина заключается в появлении эффектов поляризации ПС, что наиболее заметно для реакции аминопроизводных. Увеличение полярности ПС, обеспечивающее появление кулоновских дальнодействующих сил, приводит к понижению барьера и сдвига ПС в сторону реагентов. Рассчитанные методом МЧПДП/З характеристики молекулярной и цвиттер-ионной форм глицина ⁷⁶ несущественно отличаются (табл. 3). Этот вивод важен тем, что закладивает определенную базу для перенесения структуры ПС из расчетов молекулярных модельных систем на более сложные биполярные биологически важные системы, в частности, при расчете динамических индексов реакционной способности 79 (см. раздел У данного обзора).

Необходимо отметить, что метод МЧДДЛ/З достаточно хорошо передает энергетические профили реакций отрыва атомов H, непосредственно связанных с гетероатомами (N - H, O - H) . Наличие высокого барьера H-отрыва карбоксильной группы (25 ккал/моль 76) предполагает малую скорость такой реакции по сравнению с отрывом атома H группы $\mathrm{CH_3}$. Любопытно, что геометрия IIC ближе к результатам неэмпирических расчетов 56 реакции H-отрыва в метане (табл. 2,3). В то же время, аналогичная реакция аминогруппы требует преодоления значительно меньшего барьера активации (7,09 ккал/моль 74). Среднее значение $\mathrm{E_8}$ для процесса отрыва водородных атомов метильной и амино- групп находится в хорошем согласии с экспериментом (5,3 ккал/моль 81). В недавно проведенных неэмпирических расчетах 82 величина аналогичного

барьера в реакции H + NH_3 , в рамках метода POLCI/6-ЗІГФ, оценена равной I3,6 ккал/моль, что согласчется с упомянутыми полуэмпирическими данными 74 для метиламина, тем более, что структуры ПС очень близки; см. табл. 5, где приведены также структурные параметры ПС реакций H + H_2 , CH_4 + H, NH_3 + H, PH_3 + H * H

Б. Замещение в модельной системе ${\rm H} + {\rm CH}_4$

Со стереохимической точки зрения система $\rm H + CH_4$ интересна также тем, что в ней могут реализоваться ПС принципиально различных структур — обладающих высокой симметрией, соответствующих различным каналам реакций. В этой связи данный вопрос подробно рассматривался в ряде работ как с экспериментальной 83 , так и с теоретической $^{30,56,60-62}$ точек зрения. Наиболее общий стереохимический вывод, основанный на экспериментах с замещенными метана 83 заключается в том, что реакция

 $T + CH_4 \longrightarrow TCH_S + H$

протекает с преимущественным сохранением тетраэдрической конфигурации, а не по механизму вальденовской инверсии, как это происходит в реакциях нуклеофильного замещения ⁸⁴.

Возможними стационарными точками реакции (7) являются структуры CH_5 симметрии D_{3h} (механизм вальденовской инверсии), C_{4v} (механизм сохранения конбигурации через псевдовращения — см. ниже) и C_{g} (сохранение конбигурации в ходе прямого витеснения), приведенные на рис., 6-г.

Структура D_{3h}, реализующаяся при атаке с тильной стороны тритием одной из С-Н связей метана, изучена еще Эйрингом в рамках предложенного им полуэмпирического метода 4. Примечательно, что внсота барьера оценена равной 37 ккал/моль, что находится в хорошем согласии с позже полученным

экспериментальным значением порога этой реакции (25-40 ккал/моль⁵⁵). Однако, как отмечено выше, реакция обмена происходит, в основном, с сомранением комбигурации. Поэтому, в

Характеристики ПС реакции $XH_{n+1} + H \longrightarrow XH_n + H_2$. ΔE рассчитаны методом POL-CI /6-3II Φ + P^X 82

XH	дЕ ккал моль	R _{HH} ,Å	R _{XH} ,Å	Примечания
H ₂	13,2	0,930	0,930	
CH ₄	I7,6	0,924	I,362	$\Theta = 104,2, R_{CH_3} = 1,079$
SiH ₄	5,3	I,04I	I,685	3
NH3	I3,6	0,967	I,232	$MHH = 162^{\circ}, HNH = 102^{\circ}, 6$
PH ₃	I,6	I,534	I,178	$PHH = 172^{\circ}, HPH = 93^{\circ}5$

х - поляризующие функции

Метод	R _{TC} ,Å	R _{CH} , Ã	ккал моль	Ссылки
ОХФ-ФСТ-ЗІГФ	I,320	I,094	82,6	60
ΟΧΦ - Φ C T - 4 - 3 Ι ΓΦ	I,349	I,086	63,7	60
ОХФ-КВ	-	-	41,7	60
HXΦ-ΦCT-4-3ΙΓΦ	I,452	I,074	54,6	6I
+ 2p ^H	I,40I	I,077	54,3	6I
+ 3a ^C	_	_	54,9	6I
НХФ-КВ	I,360	I,100	42,8	62
PNO-CEPA	I,360	I,090	4I,6	26
POL-CI(9s5p/4d)/ 3s2p/2s	I,440	I,080	41,5	30
(9s5pId/4sIp)/ 3s2pId/2sIp	I,4I0	I,080	37,6	30
(IIs6p2d/5sIp)/ 4s3d2d/3s3p	-	-	36,9	30
<u>штт</u> /2	I,II9	I,I40	-3I,5	57
MAITÜII\3	I,170	I,I20	0,6	56

х - обозначения см. на рис.

Метод	ATC	Всн	град	ф ^к град	<u>ккал</u> моль	Ссылка
	dos	Ст	рукт	ура	Cs	
ΟΧΦ - Φ CT- -3 I Φ	I,322	I,088	I09,47	72,4	109,2	60
ΟΧΦ - Φ CT- 4 - 3 ΙΓ Φ	I,322	-		-	86,6	60
OXO-KB	I,360	-	-	71,2	64,2	60
HX	I,378	I,092	I05,1	72,6	77,I	6I
+ 2p ^H	I,317	I,100	I04,I	73,7	74,6	6I
E/III,IIPN	I,85I	I,859	103,2	23,0	I,6	56
ШШ/ 2	1,210	I,I38	105,1	67,7	-28,7	57
		Ст	рукт	ypa	C4V	
OXФ-ФCT-3IФ	I,088	I,090	103,0		112,0	60
HXD-QCT-4-SITO	I,198	I,08I	86,2	- II-	74,7	6I
+ 2p ^H	I,187	E80,1	86,0	-	71,8	6I
E/IIITHM	I,IIO	I,15I	I08,6	-	0,7	56
<u>ш</u> шіл/2	I,125	I,172	83,6	-	-3I,4	57

х - обозначения см. на рис.

дальнейшем были предприняты расчеты вышеупомянутых структур - предполагаемых седловых точек ППЭ, выбранных по аналогии с расчетами CH_5^+ и CH_5^- 85-89. В табл. 6 приведены результаты этих расчетов, полученные различными методами. Детальные неэмпирические расчеты показывают, что все симметричные структуры СН5 находятся по энергии намного выше реагентов, причем во всех случаях предпочтительный на 20 ккал/моль является структура Дзь. т.е. наиболее вероятным процессом является вальденовское обращение, что противоречит вышеуказанному эксперименту. Этот вывод подтвержден также анализом нормальных колебаний оптимизированной структуры Дзь, рассчитанной в рамках метода НХФ 61, из которого следует, что все силовне постоянные, за исключением тех, которые соответствуют колебаниям, содействующим по инверсии, положительны и частоти мними, как этого следовало ожидать, если би ПС симметрии рз было локальным максимумом.

Что касается двух остальных структур $C_{4\,V}$ и C_{8}), то в рамках метода НХФ 6I энергия этих конформеров примерно одинакова C_{4} стабильнее на ~ 3 ккал/моль в противоположность результатам расчета по методу ОХФ 60 , где наблюдается большая стабильность структуры C_{8} (табл. 6).

Из данных табл. 6 видна также относительная индифферентность геометрии седловых точек к выбранному базису. В то же время, как и в случае реакции (6), высота барьера чувствительна как к базису, так и к способу учета электронной корреляции. Интересно отметить, что методы $0\mathsf{X}\Phi$ -КВ 60 и $\mathsf{H}\mathsf{X}\Phi$ -КВ дают близкие значения барьеров инверсии, в то же время, без учета КВ эта разница составляет 9 ккал/моль, что авторами 62 связывается с важностью учета эффектов спиновой поляризации при расчетах подобных структур. Включение 2p - и 3d - поляризационных функций на атомах 4 и 6 в волновую функцию 6 почти не меняет энергию структур симметрии 6 и 6 и 6 ккал/моль:

ЬЕ $(C_{4V})| \approx L$ Е $(C_s)| > L$ Е $(D_{3h})| \approx L$ Е $(CH_4)|$ т.е. включение указанных функций стабилизирует, в основном,

системы с низкой симметрией.

В противоположность результатам неэмпирических расчетов 25,60-62, по данным метода ППДП/2 с параметризацией Виберга 57, рассматриваемые структуры являются локальными минимумами. Из расчетов, однако, следует правильная относительная стабильность конформера D_{3h} .

 $E(D_{3h}) < E(C_{4V}) < E(C_8)$

Авторами работи 57 рассматривался также процесс сохранения конфигурации путем псевдовращения по Берри 90 , как это имеет место в пятикоординационных тригонально-бипирамидальных комплексах (некоторые оценки легкости псевдовращения см. в 91,92). В частности, сделан вивод о возможности инверсии конфигурации путем двух псевдовращений одного типа. Однако, согласно 93 , структура $^{C}_{4V}$ может являться ПС лишь процесса псевдовращения двух структур $^{D}_{5h}$ (меньших по энергии), которые, в свою очередь, являются ПС процесса инверсии. И, таким образом, существует путь с наименьшей энергией, соответствующий вальденовской инверсии. Отметим также, что в упомянутой работе 57 минимум энергии соответствует не симметричной структуре $^{D}_{5h}$, а структуре $^{C}_{3V}$ с θ = II5,5 9 (см. рис.,6)

Анализ собственных значений и собственных векторов матриц силовых постоянных в рамках метода МЧПДП/З с оптимизацией всех внутренних переменных 56 показывает, что структура $\mathbf{D_{3h}}$ с энергией на 0,6 ккал/моль выше энергии реагентов, является локальным минимумом в процессе псевдовращения $\mathbf{D_{3h}} \longrightarrow \mathbf{C_{AV}} \longrightarrow \mathbf{D_{3h}}$.

Таким образом, все расчети **ab initio** (табл. 6) указивают на благоприятность механизма инверсии. Экспериментально наблюдаемое сохранение конфигурации углеродного центра обично связивается с доминированием динамических факторов в ходе реакции ⁶³,64. В траекторных расчетах на полуэмпирических ППЭ барьер оценивается в ~40 ккал/моль ⁶³, а не неэмпирической – 50 ккал/моль ⁶⁴.

В расчетах констант скоростей реакции обмена была использована структура **D3h** 69. Адиабатический порог реакции оцененный для поверхности, рассчитанный методом **POL-C1** (SOGVB)

(34,5 ккал/моль).

В. Замещение функциональных групп.

Замещение группы X может протекать, в основном, по двум механизмам: реакцией прямого отрыва

$$RX + T \longrightarrow R + XT$$
 (8)

и реакцией вытеснения

$$RX + T \longrightarrow RT + X \tag{9}$$

Различные каналы дезаминирования и декарбоксилирования в системах T + $(CH_3NH_2, CH_3COOH, NH_2CH_2COOH, NH_3CH_2COO^-)$ рассмотрены в работах 76,94 . По данным этих работ, реакция витеснения (9) может реализоваться в результате вальденовского обращения углеродного центра. Метод МЧПДП/3, как и неэмпирические подходы НХФ, указывают на наличие высоких барьеров активации, причем, переходные состояния имеют структуру искаженной тригональной бипирамиды инвертирующего центра. Эти структуры по данным неэмпирических расчетов 74,76 сильно поляризованы, вопреки данным метода МЧПДП/З. Сопоставление Е в ряду модельных систем, по данным последнего метода указывает на большую вероятность вытеснения карбоксильной группы (Е, = 19 ккал/моль) по сравнению с вытеснением группи – WH_2 (E₂ = 30 ккал/моль). Привлекает внимание то, что при переходе от простых модельных систем типа Т + СН3 мН2. Т + СН3 СООН к глицину полученные значения Е изменяются незначительно 76, т.е. включение дополнительного "тяжелого" заместителя у углеродного центра не приводит к

заметному увеличению барьера инверсии.

По данним ⁷⁶, инверсия карбоксильной группи в системе Т + СН_ЗСООН происходит через ПС структуры искаженного тетраэдра и требует преодоления высокого активационного барьера (уже в рамках метода МЧПДП/З его величина оценивается в 25 ккал/моль). Исходя из этого, авторы ^{74,76} пришли к выводу о невозможности протекания этих процессов при теплових атомах водорода, в то время как "горячие" атомы Т могут осуществить вальденовское обращение атакуемого центра.

В работе 74 показано также, что энергетический профиль процесса приближения атома Т к гетероатому - предполагаемый механизм реакции (4) - неправильно передается в рамках подуэмпирического метода МЧПДП/З: предсказывается. в частности, возможность существования стабильной структуры СН_ЗNН_{З3} что противоречит расчетам ав initio 94 и эксперименту 80. Авторы 94 в рамках метода НХФ в расширенном базисе ФСТ-4-ЗІ ГФ показали, что на ППЭ реакции прямого отрыва аминогруппы в системе Т + СН3МН2 существует единственная седловая точка с энергией на 57,7 ккал/моль выше суммарной энергии реагентов. Найденный барьер локализован в выходном канале реакции $R_{CN} = R_{CN}^{nc} - R_{CN}^{o} = 0,24$ Å, $R_{TN} = R_{TN}^{nc} - R_{TN}^{o} = 0,18$ Å. Экзотермичность реакции составляет 27,8 ккал/моль, что близко к эксперименту (24,4 ккал/моль 80). Анализ заселенностей АО по координате реакции показал 94, что в ПС спиновые заселенности $\rho_{\text{CH}_3} \approx \rho_{\text{T}} \approx 0.5$, а максимальное абсолютное значение имеет ρ_{N} . При этом, однако, перенос заряда от атома Т к субстрату не наблюдается. Возможно, что равномерное распределение спиновой плотности в ПС между реагентами в подобных реакциях является правилом, поскольку такая картина наблюдалась и в расчетах НХФ-ЧПДП системы Н + СН (в окрестности ПС, рассчитанного неэмпирически методом ОХФ- 60). Таким образом, по данным неэмпирического расчета 94 процесс прямого отрива аминогруппы с большой вероятностью может протекать по механизму сохранения неплоской конфигурации - МН2.

Процесс радикального декарооксилирования рассмотрен в работах 95,76. Непосредственный отрыв карооксильной группы при атаке моноводорода на различные кислородные атомы, также как и в случае реакции газофазного дезаминирования, трефует преодоления высоких барьеров активации 76. В работе методом КВ показано, что в полносимметричном состоянии 2A радикала СН₃СООН потенциальная яма, отвечающая за растяжение связи С — С неглубока; исходя из этого сделан вывод о легкости разложения указанного радикала путем декарбоксилирования. Такое явление могло бы встречаться и в системе Т + СН₃СООН, однако, с меньшей вероятностью; лимити—

рующей стадией подобного пути декарбоксилирования служил бы H-отрыв карбоксильной группы 76, так как последний требует преодоления барьера высотой 28 ккал/моль (см. табл. 3).

На модельных молекулярных прототипах 74,94 трудно объяснить механизм земещения бункциональных групп в амино-кислотах и белках, найденный экспериментально при взаимо-действии с тепловыми атомами трития 1,79. Расхождение связано с наличием дополнительных бакторов сольватации, появляющихся в конденсированной базе 76. В результате анализа энергетических характеристик ППЭ реакции реально существующего в растворе цвиттер-ионного глицина предложены следующие механизмы замещения бункциональных групп: дезаминирование с большой вероятностью происходит при первоначальном присоединении атома Т по заряженной группе СОО и разрыве связи С(sp⁵) - МН

NH3-CH2-COO + T--- NH3...CH2COO...T-- NH3+CH2COOT

при декарбоксилировании сначала происходит аксиальный отрыв атома ${\rm H}$ заряженной аминогруппы с образованием радикала ${\rm NH_2CH_2COO}$, который, в свою очередь, спонтанно распадается на ${\rm CO_2}$ и радикал ${\rm NH_2CH_2}$:

NH3-CH2COO + T--- T...H... H2CH2COO--- TH+NH2CH2+CO2

Взаимодействие атома H с молекулами CO, \mathbf{N}_2 и NO с учетом KB рассмотрено авторами 96. Барьер обнаружен в районе $\mathbf{R}_{HC}=\mathbf{I}$,59 Å для системы HCO, и $\mathbf{R}_{HN}=\mathbf{I}$,45 Å - для $\mathbf{H}\mathbf{N}_2$. в адиабатическом приближении предпочтительным является подход к положительно заряженной части указанных молекул. Так, образование HCO более олагоприятно, чем HOC, поскольку минимум на потенциальной кривой HCO находится ниже суммарной энергии реагентов. Наибольшая энергетическая стабильность по отношению к реагентам обнаружена также и для системы $\mathbf{H}\mathbf{N}_2$. Применение корреляционной диаграмым Уолша для рассматриваемых изолированных (HOC, HCO) систем дает величину $\mathbf{I}\mathbf{20}^{\circ}$ для $\mathbf{\theta}$, расчеты же предсказывают $\mathbf{\theta}=\mathbf{I}\mathbf{I}\mathbf{7}^{\circ}$ для системы HOC, $\mathbf{I}\mathbf{30}^{\circ}$ для $\mathbf{H}\mathbf{N}$.

В рамках метода ЧЦП-нам-нз для основного состояния си-

стемы H_2 CO + H обнаружен 97 неглубокий ми**н**имум при $R_{HO} = I$,2 Å, наличие которого в свете вышеизложенного требует, по-видимому, дополнительного подтверждения неэмпирическими расчетами.

Корреляционные эффекты играют определяющую роль в реакциях моноводорода с галогенами 98 . В однодетерминантном приближении для системы $\mathrm{H}+\mathrm{F}_2$ существенно переоценивается высота барьера $-\mathrm{I2},2$ ккал/моль (эксперимент $-\mathrm{I},2$ ккал/моль 99) и экзотермичность реакции $-\mathrm{I32},4$ ккал/моль (эксперимент $-\mathrm{88}$ ккал/моль), в то время как учет 555 конфигураций 24 , в методе КВ приводит к величинам I ккал/моль и $\mathrm{I02},5$ ккал/моль, соответственно, для E_a и AQ , близким к эксперименту. Седловая точка имеет линейную структуру с $\mathrm{R}_{\mathrm{HF}}=2,05$ Å и $\mathrm{R}_{\mathrm{FF}}=\mathrm{I},57$ Å, следовательно, связь F-F удлинена всего на $\mathrm{0},03$ Å по сравнению с равновесным. Линейность ПС согласуется с моделью ЛЭПС и с экспериментом $\mathrm{99}$, в соответствии с которыми координата реакции $\mathrm{H}+\mathrm{CL}_2$ линейна ($\mathrm{H}...\mathrm{CL}...\mathrm{CL}$), $\mathrm{H}+\mathrm{Br}_2$ — слегка, а $\mathrm{H}+\mathrm{I}_2$ — существенно отклонена от линейности.

Д. Присоединение к ненасыщенной связи.

Простейшими примерами данного класса являются реакции

$$T + CH2=CH2 \longrightarrow CH2T - CH2$$

$$T + CH=CH \longrightarrow CHT=CH$$
(10)

Эти реакции хорошо изучень как экспериментально 100-102, так и теоретически 103-108. Установлено, что более реакционоспособной к радикальному присоединению является олефиновая связь. Для соответствующих констант скоростей найдено 100, 101 к $_1 \approx 10^{11}$, а $\kappa_2 \approx 10^{10}$ см $_3 = 10^{10}$. Если при комнатной температуре отношение $\kappa_1/\kappa_2 = 8$, 6, то при низких температурах (77^{0} K) оно становится равным $6:10^{3}$ 102. Известно также 109, что анионное присоединение предпочтительно для тройной связи, а катионное и радикальное — для олебиновой связи.

Неэмпирические расчеты для реакции (I0) и (II) в различних базисах проведенн в 104-108. В базисе 4-SIT9 барьер реакции (I0) оценен равним 2,2 ккал/моль 107, что хорошо

согласуется с экспериментом в различных интервалах температур: $198-320^{\circ}$ К ($E_a=2$, I ккал/моль IIO), $303-478^{\circ}$ К ($E_a=1$, 5 ккал/моль III). Аналогичные расчеты IO4 предсказывают величину $E_a=6$, 2 ккал/моль для реакции (II). В обоих случаях найденные седловые точки локализованы во входном канале реакции (E_{c} в первом случае равно 2,015 Å, а во втором – E_{c} I,930 Å). Подобная локализация ПС наблюдается также и в реакциях присоединения других радикалов к ненасыщенной связи, в частности, метильного E_{c} Б, E_{c} Радикалов к этилену, а также фенильного радикала к бензолу E_{c}

Большая реакционная способность олефиновой связи сохраняется также и в системе T + CH2=CH-C=CH 107. В формализме НХФ для высоты барьера присоединения моноводорода к различным углеродным центрам винилацетилена 107 получены следующие значения: I,4; 4,9; 7,3; 3,9 ккал/моль, соответственно, для атомов I - 4 (нумерация ведется от олефинового конца). С целью объяснения природы этого явления проведено разбиение энергии взаимодействия напразличные составляющие и показано, 107, что как и в случае реакции этилена, так и винилацетилена, решающую роль в выборе и правления реакции играют члены высших порядков межмолекулярного взаимодействия т. н. суперпозиционные члены (см. следующую главу). При этом существенную роль в дестабилизации играют обменные составляющие, а взаимодействие с переносом заряда в данном случае не является доминирующим фактором, как этого следовало ожидать из простого сопоставления потенциалов ионизации этилена и ацетилена (IO.5 и II.4 »В. соответственно) В пользу этого вывода свидетельствует также недавно проведенное теоретическое рассмотрение реакционной способности алкенов и алкинов в реакциях анионного присоединения 115. Котя энергия НВМО ацетилена больше, чем у этилена, деформация молекулы, имеющая место при взаимодействии с Н., резко уменьшает ее, облегчая взаимодействие с переносом заряда и ведет к большей реакционности алкинов. Более полное исследование системы Н + СоН можно найти в

Основная разница между реакциями присоединения Н и Н-

к этилену заключается в том, что для катионного присоединения образование мостикового и 6- интермедиата равновероятно, с приблизительно одинаковой стабильностью 118,119 , в то время как для радикального присоединения путь с симметрией $^{C}_{2V}$ менее предпочтителен 120,121 .

Некоторые вопросы стереоселективности присоединения моноводорода (также как и H^+ и H^-) к асимметрично замещенным ненасыщенным молекулам рассмотрены в $^{\mathrm{L22}}$. Выводы сделаны на основании неэмпирического расчета модельных ПС в зависимости от угла вращения группы CH_2 пропена.

ІУ. ПРИРОДА ВЗАИМОДЕЙСТВИЯ МОНОВОДОРОДА И СУБСТРАТА С ЗАПОЛНЕННОЙ ЭЛЕКТРОННОЙ ОБОЛОЧКОЙ. РАЗЛОЖЕНИЕ ЭНЕРГИИ ВЗАИМОДЕЙСТВИЯ НА СОСТАВНЫЕ ЧАСТИ.

Качественные аспекты исследования механизмов химических, в частности, радикальных реакций связаны с выяснением природы межмолекулярных сил, действующих начиная от области малого электронного перекрывания до окрестности переходных состояний. Природа этих сил явилась объектом многочисленных исследований методами теории возмущений и конфигурационного взаимодействия (см., например. 123-127). Препложены различные способы разбиения энергии межмолекулярного взаимодействия на физически интерпретируемые компоненты. Подходящими модельными объектами для химических процессов зачастую служили простые реакции моноводорода 106,107,128,131,133,134, которые, являясь радикальными по своей природе, в меньшей степени, чем ионные, подвержены влиянию окружающей среды и, таким образом, в большей степени контролируются силами, действующими между изслирован-ными реагентами. В ряде работ 106,107,128 была применена схема разбиения энергии взаимодействия, предложенная Морокумой и Китаурой 129,130, где межмолекулярные взаимодействия рассматриваются как вариационная проблема методами КВ. на основании имеющихся речений уравнения Шредингера для изолированных подсистем. В частности, значения энергий и инамвидуальные вклады в полную энергию взаимодействия определяются как разности

$$\Delta E_i = E_i - (E_A^O + E_B^O), \qquad E_i = \int \psi_i^* H \psi_i d$$

где E_A^O и E_B^O – энергии Ψ_1 – пробные нормированные волновые функции изолированных молекул, полученные различными способами: а. из простого произведения волновых функций ССП изолированных подсистем ψ_A^o и ψ_B^o ; б. из антисимметризованного произведения этих функций; в. из простого произведения двух волновых функций, оптимизированных индивидуально в электростатическом поле второй подсистемы; из обычной антисимметризованной и оптимизированной волновой функции ССП всего комплекса. С помощью найденного таким образом набора ΔE_1 описиваются 125,129 различные вклады в полную энергию взаимодействия: Едс, Едом, Епол, Енз, соответствующие электростатической, обменной, поляризационной энергиям и энергии переноса заряда. В дальнейшем было предложено 130 сочетание этого подхода с учетом КВ. Собственные значения энергии в этом случае вычисляются диагонализацией матриц конфигурационного взаимодействия. Разбиение энергии осуществляется в результате систематического пренебрежения некоторыми недиагональными элементами этой матрицы, а также операторов электронного обмена. В результате предлагается дальнейшее разложение энергии переноса заряда на "истинную" энергию $E_{\Pi 3}$, обменно-поляризационную $E_{\text{обм.-пол.}}$, а также на дополнительный член, определяемый различными типами матричных элементов - Есмен, или, как его иногда называют, суперлозиционный член.

Энергетический барьер реакции отрыва (6) и замещения (7) в системе Т + СН₄, а также присоединения моноводорода к С₂Н₄ и С₂Н₅ авторами ¹²⁸ представлен в виде суммы относительной энергии изолированных подсистем с геометрией ПС (внутримолекулярной деформационной энергии) и энергии метмолекулярного взаимодействия, разложенной вышеуказанным способом ¹²⁹, ¹³⁰. В увеличении стабильности интермедиата радикального присоединения молекулярная деформация играет более важную роль, чем при катионном (протоином) присоединении, также рассмотренном в ¹²⁸. Из компонент межмолекулярного взаимодействия наиболее важно взаимодействие с переносом заряда, в то же время, для катионного присоединения

наряду с $E_{\text{из.}}$, существенную роль играет поляризационный член. Примечательно, что Е для катионного интермедиата вносит дестабилизирующий вклад в полную энергию. Это, фактически, происходит из-за отсутствия подлежащего обмену электрона ($E_{\text{обм}}$ =0), что на конечной стадии реакции обусловливает возникновение дестабилизирующего \mathbf{E}_{ac} за счет короткодействующего взаимодействия протона с ядрами этилена.

Авторами ¹²⁸ исследованы также реакции отрыва и замещения (6), (7) для ПС симметрии C_{SV} , заимствованного из 6I , и структур \mathbf{D}_{3h} и \mathbf{C}_{8} . Установлено, что аксиальный отрыв более благоприятен по данным межмолекулярных составляющих и по Епер. Во всех принятых моделях АЕ образуется исключительно за счет деформационной энергии. Дестабилизация за счет последнего частично компенсируется электростатическим и поляризационным взаимодействием, а также переносом заряда. В моделях земещения доминирующим является обменное отталкивание в отличие от реакции отрыва. Таким образом, ПС реакции (6) благоприятно как стерически (за счет $E_{\text{обм}}$), так и по электронному переносу (за счет $\mathbb{E}_{\Pi,2}$).

Природа обменного взаимодействия в реакции Т + СН4 $(_{\rm MOДель}\; {\bf p_{3h}})$ более детально изучена в $^{\rm ISI}$. Для этого обменная плотность, $ho_{f k}$ представлена в виде двух составляющих - члена, отвечающего за отталкивание за счет межмолекулярного перекрывания МО взаимодействующих систем - "отталкива-

тельное перекрывание" ок

жат системе A, а ψ_k -системе B. Суть явления заключается в том, что плотность перекрывающихся орбиталей между этими системами имеет порядок $(\Phi_i \Psi_k S_{ki} + \Psi_k \Phi_i S_{ik})$ как для электронов с «-, так и для электронов с В-спинами. Интегриро-

вание по всему пространству приводит к величине $4s_{**}^{\;2}$. Это означает, что взаимодействие двух систем с двукратно занятими МО ведет к уменьшению электронной плотности в межмолекулярной области. Дополнительная электронная плотность накапливается на МО Φ_i и Ψ_k , принимая для систем A и В значения $2s_{ik}\Phi_i^2$ и $2s_{ik}\Psi_k^2$. Таким образом, подобное перекрывание должно препятствовать реакции. Именно это явление и названо в 131 "отталкивательным перекрыванием" и предложено определять по формуле (IO). В уравнении (II)представлен второй член обменного взаимодействия - смешивание орбиталей Φ_i и $\Phi_{i'}$ системы A (или $\Psi_{k'}$ и $\Psi_{k'}$ системы B) за счет перекривания с МО Ψ_k (или Φ_i). Этот член воспроизводит перераспределение электронной плотности внутри подсистем - ее аккумулирование в области реакционных центров. Таким образом, возникающие силы содействуют реакции. На примере реакции обмена моноводорода с метаном (ранняя стадия модели вальденовской инверсии - C_{Зу}) показано ¹³¹, что регибридизация реакционного центра обусловлена кооперацией этих двух эффектов. Заселенность перекрывания между атомом метана и приближающимся атомом отрицательна для электронов с ≪-спином и положительна для электронов с β-спином. Так как 18 АО водорода эффективно перекрывается с занятыми МО метана, то возникающее перекрывание является сильно отталкивательным. Р приводит к появлению сил, содействующих инверсии углеродного центра, в то время как смешивание орбиталей благоприятствует сохранению конфигурации реакционного центра.

По данным 106,107 путь реакции в системах $^{\rm T}$ + $^{\rm C}_2{\rm H}_2$ и $^{\rm T}$ + $^{\rm C}_2{\rm H}_4$ также преимущественно определяется обменным взаимодействием. В то же время, направление присоединения к ненасыщенной связи определяется суперпозиционным членом. Эти выводы были сделаны при сопоставлении различных членов $^{\rm AE}$ в реакциях моноводорода с этиленом, ацетиленом и винилацетиленом.

В работе 128 обсуждается реакция несимметрично замещенного этилена ($^{\rm CH}_2$ =CHF), для которого известно, что атака радикала происходит преимущественно по незамещенному концу олефиновой связи 132 . Хотя по $^{\rm E}_{\rm 3C}$ и $^{\rm E}_{\rm 113}$ более благо—

приятен интермедиат $\mathrm{CH_3CH_2}$ (по сравнению с $\mathrm{CH_3CH_2}$), внигрыш в энергии компенсируется деформационным взаимодействием, и в результате величины Δ E принимают близкие значения.

Среди многочисленных работ по применению теории возмущений к проблеме межмолекулярного взаимодействия (см., например, 125,134-140) можно выделить работы 135-137, где были рассмотрени системи, включающие открытие оболочки. Ближе к проблемам, анализируемым в данном обзоре относятся расчеты Канети 136 , рассматривающего, в частности, систему $^{\mathrm{CH}}{\mathrm{S}}$ + ${\rm H_2}$ по модели ${\rm C_{Sy}}$. Если применение теории возмущений первого порядка приводит к классическому кулоновскому взаимодействию, то во втором порядке возникает стабилизация 138,139 за счет КВ локально возбужденных AB^X и A^XB , двукратно возбужденных $A^X B^X$ состояний и состояний с переносом заряда А-В+ и А+В- смешанных с основным состоянием АВ. С учетом лишь одноэлектронных возбуждений, применяя формулы, полученные для систем с замкнутой оболочкой 139 и преобразуя их с учетом наличия неспаренного электрона, автором работы 136 предсказано, в частности, наличие слабого дисперсионного притяжения на расстоянии 3,5 - 4,0 Å. При этом энергетический минимум в интервале 2 - 6 Å обнаружен не был. Заметим, что расчеты ССП в минимальном базисе при R = 3,2 Å 141 предсказывают наличие неглубокого минимума потенциальной энергии.

Анализ составляющих градиента потенциальной энергии вдоль координати реакции инверсии в системе Т + СН₄ проведен Фукуи с сотр. ¹⁴⁰. Из анализа коэфмициентов соответствующих конфигураций сделан вывод о том, что на начальной стадии реакции вклад конфигураций, соответствующих электронным переносам (делокализационный член) и электронным возбуждениям (поляризационный член) мал. По ходу реакции вклад их возрастает. Из анализа градиента по координате реакции, найденной предварительными расчетами НХФ-ФСТ-4-ВІ ГФ, получено, что обменный член, в основном, увеличивает градиент, а член смешивания конфигураций электронных переносов с основным состоянием уменьшает его. Смешивание возбужденных конфигураций с основным состоянием действует как отталкивающий. Эффект отдельных вкладов делокализации и поляризации

мал.

Разбиением электронной заселенности на составляющие, авторами 140 было показано, что при $R_{\rm TH} = 1,6$ Å - промежуточная стадия реакции (7) - обменный член приводит к антисвязывающему заселению в межмолекулярной области, указывающему на отталкивание между орбиталями, а члени, отвечающие за смешивание конфитураций, создают связывающие компоненты. Это согласуется с результатами вышеуказанной работы 137 о том, что вклад переноса β-электрона приобретает доминирующую роль в формировании новой связи, так как вклад 🗸 -электронного переноса компенсируется обменным отталкиванием. Вклад сечений поляризационных конфигураций с основным состоянием (для модели вальденовской инверсии) является причиной изменения гибридизации углеродного атома и содействует обмену. Обменное взаимодействие имеет межмолекулярную природу, а поляризационное - внутримолекулярную, что и вызывает инверсию. Смешивание конбитураций переноса от метана к тритию с основным состоянием образует связывающую компоненту между тритием и соседним атомом водорода.

У . ПРИМЕНЕНИЕ ИНДЕКСОВ РЕАКЦИОННОЙ СПОСОБНОСТИ

Приведенные данные указывают, что при упрощенном квантовохимическом анализе реакционной способности реагирующих молекул полезно, прежде всего, анализировать характер граничных 10, оценку изменений которых в ходе реакции можно получить из данных по \mathbb{I}_{13} . Простым производным от него, получившим широкое распространение при изучении реакции радикального замещения, является индекс делокализуемости, введенный Фукуи и сотр. \mathbb{I}^{42-144} и его упрощенный вариант — индекс граничной плотности электронов $\mathbf{f}(\mathbf{R}) = (\mathbf{c_r}^{\mathrm{B3MO}})^2 + (\mathbf{c_r}^{\mathrm{HCMO}})^2$, где г— рассматриваемый атом водорода; область его применения ограничивается рассмотрением относительной реакционной способности различных позиций внутри одной молекулы \mathbb{I}^{44} . Эти индексы, рассчитанные простыми методами 10 — лкао \mathbb{I}^{42} , удовлетворительно коррелируют с энергиями активации реакций \mathbb{I}^{44} — отрыва углеводородов атомами галогенов и ра—

дикалами СН_З и СГ_З. Авторами ¹⁴⁵ проведени расчеты с использованием характеристик волновых функций, рассчитанных методом МЧЦДП/З и получено хорошее согласие с величинами для алканов. При наличии полярного заместителя, как и следовало ожидать, наблюдалось несоответствие расчетных данных с экспериментом.

$$\mathbf{f_r}^{C} = \sum_{i} (C_{ri}^{B3MO})^2 - (C_{ri}^{HCMO})^2$$

где суммирование проводится по всем валентным орбиталям соответствующих атомов. Последняя корреляция указывает 147 на возможность получения некоторой опосредованной информации по стабильности результирующих радикалов 14 на расчета 14 молекул.

расчета $\mathbf{f_r}^{C}$ молекул.

Некоторые качественные представления по реакциям моноводорода развиты Герндоном ¹⁴⁸, который предложил в рамках метода БМО в качестве ИРС выбрать величины коэффициентов несвязывающих МО - \mathbf{r} , образующихся радикалов. В качестве параметров расчета в данном случае выступают величины кулоновских и обменных интегралов, обменные интегралы связей $C(\mathbf{sp}^3) - C(\mathbf{sp}^3)$ и $C(\mathbf{sp}^3) - H(\mathbf{s})$ считаются равными между собой. 6 орбитальная система представляется в виде графа, вершины которого соответствуют орбиталям, а линейные участки — орбитальным взаимодействиям. Полученные величины \mathbf{r} коррелируют с энергиями активации реакций \mathbf{H} -отрыва углеводородов. Аномалия наблюдается в случае реакций \mathbf{H} -отрыва атомами хлора.

Индексный подход был применен также и в исследовании механизма образования полисопряженных участков в реакциях радикальной полимеризации ¹⁵⁴. В случае включения неполярных заместителей к ениновой системе, в качестве ИРС предложено использовать спиновые плотности модельных активных центров, образующихся при присоединении моноводорода к терминальному углеродному атому олефиновой связи мономера. Процесс образования полисопряженных участков при включении полярных заместителей контролируется электростатическими взаимодействиями. Линейная корреляция со значениями дипольных моментов указанных радикальо существует во всех случаях; исходя из этого авторы ¹⁵⁴ предполагают использовать их в качестве ИРС в реакциях радикальной полимеризации сопряженных систем полобного типа.

В качестве ИРС реакций отрыва водородного атома авторы использовали рассчитанные методом ЧПДП-НУФ некоторые традиционные характеристики реагирующих систем: энергии диссоциации разрыхляющихся R-H и образующихся X-H связей, резонансная стабилизация образующихся радикалов и влияние заместителя на поляризацию ПС. Как и следовало ожидать, аномалия наблюдается для молекул, содержащих гетероатом, что авторы связывают с поляризацией ПС (см. также 76).

Так как дисперсионные силы, возникающие при взаимодействии радикала с субстратом, благоприятствуют протеканию реакции, то следует ожидать наличия некоторой корреляции между поляризуемостью субстрата α_{AB} и энергией активации Н-отрыва 156. Примечательно, что соотношение C/α_{AB} , где С-константа, корошо выполняется не только в ряду реакций алканов, но и в реакциях Н-отрыва полярных молекул — галогенводородов.

Вышеуказанные индексы были основаны на приближении изолированной молекулы, и, поэтому, область их применения ограничивалась реакциями углеводородов с равномерным распределением заряда, для которых неявно предполагалась неизменность геометрии ПС в реакционных сериях или слабость взаимодействия реагентов в ПС. Если эти условия достаточно хорошо выполняются для радикальных реакций алканов, то при наличии полярных заместителей их выполнение не гарантируется (см., например, 149). В ряде работ 79,150-152 были использованы динамические ИРС, полученные из расчетов ограниченного числа структур, выбранных либо на основе априорных соображений, либо по результатам расчетов ППЭ модельных реакций.

Координация атакующего моноводорода по различным функциональным группам полярных молекул, таких как цвиттер-ионные аминокислоты, приводит к разрыхлению одних и упрочению других связей, что является показателем вероятных путей замещения этих групп. В связи с этим, авторы 79 в рамках метода ППДП/2 выбрали следующие динамические ИРС

$$\Delta W_{AB} = \frac{W_{AB} - W_{AB}}{W_{AB}} \cdot 100\% ; \quad \Delta E_{AB} = \frac{E_{AB} - E_{AB}}{E_{AB}} . \quad 100\%$$

где \mathbf{w}_{AR} и \mathbf{E}_{AR} - индекси Виберга и двухцентровые компоненты полной энергии изолированных аминокислот, являющиеся мерой прочности связей А-В, а W_{AB} и \mathbb{E}_{AB} - их значения при координации. Анализ электронных и энергетических характеристик в сочетании с рассчитанными ИРС (величины Д WAR и Д Едр, в основном, коррелируют между собой) дали возможность авторам 79 обсудить различные механизмы отрыва функциональных групп цвиттер-ионных аминокислот атомарным тритием. С использованием указанных ИРС исследована 76,152 также зависимость реакционной способности функциональных групп аминокислот от формы нахождения в растворах (от ионизации системы при изменении рН среды) на примере реакций полифункциональной модельной системы а, у -диаминомасляной кислоты (х. Х - ДАМК) с атомарным тритием. Максимальный эффект дезаминирования предсказывается для цвиттер-ионной формы а, К - ПАЛК, что согласуется с экспериментом (при рН = $8 = 10)^{152}$

В стереоселективном присоединении моноводорода к различным углеродным атомам некоторых замещенных диенов в качестве динамических мгс применены заселенности перекрывания координирующихся связей $\rm H$... $\rm C$ при $\rm R$ = 3,0 $\rm A$ $\rm ISS$.

Таким образом, для изучения реакций моноводорода наиболее перспективными индексами реакционной способности являются динамические ИРС, непосредственно учитывающие взаимодействие реагентов в предреакционном комплексе. Область их применения не ограничивается реакциями углеводородов, как это имеет место для статических ИРС, и их можно рекомендовать при изучении реакций практически важных многоатомных систем.

В зависимости от конкретной поставленной задачи возникает необходимость сочетания динамических ИРС с оценкой характеристик волновых функций изолированных реагентов, рассчитанных в одном и том же приближении. Усовершенствование этих индексов, в частности, связано с более глубоким изучением ППЭ модельных систем и, следовательно, пониманием механизмов протекающих процессов в модельных прототипах.

XXX

Рассмотренный нами материал показывает. что для простейших реакций моноводорода, в принципе, возможно жучение общего вида ППЭ и количественная оценка кинетических и термодинамических характеристик в рамках строгих методов ab initio . Изучение же более сложных реакций, тем более. проходящих в конденсированной фазе, требует проведения модельных расчетов или использования более поступных полуэмпирических методов. Применение последних, однако, требует определенной осторожности, особенно, при рассмотрении непосредственного взаимодействия в области малого межмолекулярного перекрывания моноводорода с гетероатомом с неподеленными электронными парами. При этом возможно появление ложных стационарных точек на ППЭ. Наличие такого явления. в частности, связано с пренебрежением рядом интегралов в методах НІП 157, а также некорректной аппроксимацией обменных взаимодействий потенциалом отталкивания остовов в методах типа МЧПЛЛ/З (см., например. 31,40)

Дальнейшие успехи в использовании подобных методов, очевидно, связани с устранением этих недостатков; в частности, корректировкой остовных взаимодействий. По-видимому, введение эмпирических поправок в потенциал взаимодействия остовов является одним из способов такой корректировки, проведенной авторами 158 в схеме расчета методом МДДП. На практике можно ограничиться контрольными неэмпирическими расчетами найденных экстремумов или пересчетом минимальных энергетических путей. В расчетах ab initio энергетических характеристик реакций моноводорода необходим корректный учет влияния базиса в частности, ошибок суперпозиции 157,159 и электронной корреляции, в то время как геометрия ПС достаточно хорошо передается в минимальном слэйтеровском базисе.

В ближайшее время можно, по-видимому, рассчитывать на существенный прогресс в изучении механизмов радикальных реакций, в частности, реакций атомарного водорода, что, в первую очередь, связано с разработкой и применением новых, эффективных методов аналитического расчета производных энергии — одной из главных преград на пути исследования многомерных ППЭ. Большие успехи в этой области достигнуты за последние несколько лет см., например, обзор 60, а также 48,161 — разработаны доступные методы расчета не только для волновых функций ССП 47,162 , но и для волновых функций многоконфигурационного ССП

Широкое внедрение многоконфигурационного метода ССП в большой степени связанного с внчислительными трудностями, может, очевидно, в обозримом будущем привести к разработке универсальных пакетов программ, применимых в повседневной практике экспериментаторов, не требующих от пользователя глубокого понимания достоинств и недостатков различных расчетных схем.

ЛИТЕРАТУРА

- I. Э.С. Филатов, Е.Ф. Симонов, М.А. Орлова. Успехи химии, 50, 2167(1981).
- 2. А.В. Шишков, Л.А. Нейман, В.С. Смоляков. Успехи жимии, 53, II25(1984).
- 3. В. Гейтлер. Элементарная квантовая механика. М.: ИЛ, 1948, с.128.
- 4. С. Глестон, К. Лейдлер, Г. Эйринг. Теория абсолютных скоростей реакций. М.: ИЛ, 1949, с.139.
- 5. Г.М. Жидомиров, П.В. Счастнев, Н.Д. Чувылкин. Квантовохимические расчеты магнитно-резонансных параметров. Новосибирок, Наука, 1976.
- 6. C.C. Roothan. Rev. Mod. Phys., 23,69(1951);32,179(1960).
- 7. J.A. Pople, R.H. Nesbet. J.Chem.Phys., 22, 571(1954).
- 8. M.J.S. Dewar, J.A. Hashmall, G.J. Venier. J.Amer. Chem.Soc., 90, 1953(1968).
- 9. R. Caballol, R. Callifa, J.H. Riera, R. Carbo. Int.J. Quant.Chem., 8, 373(1974).
- IO. P. Carsky, R. Zahradnik. Theor. Chim. Acta, 26, 171(1972).
- II. R.C. Bingham, M.J.S. Dewar, D.H. Lo. J.Amer.Chem.Soc., 97, 1294(1975),
- I2. W.J. Hehre, R.F. Streat, J.A. Pople. J.Chem.Phys., 51, 2657(1969).
- I3. H.F. Schaefer. The electronic structure of atoms and molecules. Admisson Wesley, Reading Mass, 1972.
- I4. S.J. Husinaga. Chem. Phys., 42, 1293(1965).
- I5. Methods of Electron Structure Theory. Ed. H.F. Schaefer, III, N.Y.-L.; Plenum Press, 1977 (Modern Theoretical Chemistry, v.III).
- й.Г. Кэплан. Введение в теорию межмолекулярных взаимодействий. М.: Наука, 1982.
- 17. P. Flude, Progr. Theor. Phys. Suppl., 80, 47(1984).
- 18. П.Н. Муравьева, В.М. Барановский. Ж.структ.хим., 20, 109(1979).
- I9. J.L. Whitten, M.J. Hackmayer. J. Chem. Phys., 51, 5584(1969).
- 20. M. Hackmayer, J.L. Whitten. ibid, 54, 3739(1971).

- 2I. E.P. Wigner. Trans.Far.Soc., 34, 678(1938).
- 22. В.А. Гаевский, И.Г. Каплан. Теор.эксп.хим., 14, 723(1978).
- 23. М.М. Местечкин, Метод матрицы плотности в тоории молекул. Киев: Наукова думка, 1977.
- 24. P.E.M. Siegbahn. Chem. Phys., 25, 197(1977).
- 25. W. Meyer. Int.J. Quant. Chem., 5, 341(1971).
- 26. W. Meyer. J.Chem.Phys., 58, IOI7(1973).
- 27. P. Botshwina, W. Meyer. Chem. Phys., 20, 43(1977).
- 28. W. Kutzelnigg. Topics in Current Chemistry, 4I, 3I(1973).
- 29. B.J. Moss, F.W. Bodrowicz, III W.A. Goddard. J.Chem. Phys., 63, 4637(1975).
- 30. S.P. Walch. ibid, 72, 4932(1980).
- 31. J. Lipinski, H. Chojnacki. Int. J. Quant. Chem., 19, 891 (1981).
- 32. Н.М. Клименко, А.С. Зюбин, О.П. Чаркин. І.структ.хим., 20, 894(1979).
- 33. J.L. Pople, D. Beveridge. Approximate Molecular Orbital Theory, Mc Graw-Hill, N.Y., 1970.
- 34. Полуэмпирические методы расчета электронной структуры.М: Мир, 1980, т.1,2.
- 35. R.C. Bingham, M.J.S. Dewar, D.H. Lo. J.Amer.Chem.Soc., 97, 1285(1975).
- 36. M.J.S. Dewar. J.Mol.Struct., 40, 41(1983).
- 37. M.J.S. Dewar. Faraday Dissc.Chem.Soc., 62, 197(1977).
- 38. M.J.S. Dewar, W. Thiel. J.Amer.Chem.Soc., 99, 4899(1977).
- 39. R. Fletcher. Optimisation. Acad. Press, N.Y., 1969.
- 40. Г.М. Жидомиров, А.А. Багатурьянц, И.А. Абромин. Прикладная квантовая химия.М.: Химия, 1979.
- 41. J.-W. McIver, Jr., A.Komornicki. J.Amer.Chem.Soc., 94, 2625(1972).
- 42. A. Komornicki, J.-W, McIver, Jr., J.Amer.Chem.Soc., 96, 5798(1974).
- 43. K. Jug. Theor. Chim. Acta, 54, 263(1980).
- 44. T.A. Halgren, J.W. Pepperberg, W.N. Lipscomb. J.Amer. Chem.Soc., 97, 1248(1975).
- 45. S. Ehrenson. ibid, 98, 608(1978).
- 46. L.W. Mc Kelvey, J.F. Hamilton. J.Chem.Phys., <u>80</u>, 579 (1984).

- 47. P. Jergenson, J. Simons. 1bid, 79, 334(1983).
- 48. R.N. Camp, H.F. King, J. Mo Iver. ibid, 79, 1088(1983).
- 49. P. Bishep, G. Friedrich. J. Comp. Chem., 3, 486(1982).
- 50. P. Bishop. J.Amer.ohem.Soc., 98, 6844(1976).
- 51. M.J.S. Dewar, S. Olivella. ibid, 100. 5290(1978).
- 52. M.Y. Kurile, R.B. Timmens. J.Chem. Phys., 50.5076(1969).
- 53. В.Н. Кондратьев. Константы скоростей газофазных реакций. Справочник, М.: Наука, 1970.
- 54. R.W. Walker. J.Chem.Sec., A, 2391(1968).
- 55. C.C. Chou, P.S. Rowland. J.Chem. Phys., 50, 5133(1969).
- 56. Р.С. Асатрян, И.А. Абронин. Ж.Физ.хим., <u>56</u>, 653(1982).
- 57. R.E. Weston, S. Ehrenson. Chem. Phys. Lett., 2,351(1971).
- 58. J.C. Polanyi. J.Chem. Phys., 23, 1505(1955).
- 59. Т. а. Московская, П.В. Счастнев. Теор. эксп. хим., 13. 665(1977).
- 60. K. Merekuma, R.E. Davis. J.Amer.Chem.Sec., 94, 1060 (1972).
- 61. S. Ehrenson, M.D. Newton. Chem. Phys. Lett., 13.24(1972)
- 62. K. Niblamus, B.O. Reos, P.E. Sighbahn. Chem. Phys., 26. 59(1977).
- 63. T. Valencich, D.L. Bunker. J.Chem. Phys., 61, 21(1974)
- 64. L.M. Raff. ibid, 60, 2220(1974).
- 65. B. Huren, J.P. Malrieu, P.Rancurel. ibid. 58.5745(1973).
- 66. W. Sana, G. Leroy, J.L. Villareces. Theer.Chim.Acta, 65, 1091(1984).
- 67. G.C. Shatz, S.P. Waich, A.P. Wagner. J.Chem.Phys., 73, 4536(1980).
- 68. P. Carsky, R. Zahradnik. Mol. Struct., 54, 247(1979).
- 69. P. Čarsky, I. Hubac, V. Stoemmler. Theor. Chim. Acta, 60, 445(1982).
- 70. G.C. Schatz, A.F. Wagner, T.H. Dunning, Jr., J.Phys. Chem., 88, 221(1984).
- 7I. P. Carsky. Coll.Czech.Chem.Commun., 44, 3452(1972).
- 72. W. Jacubetz. J.Amer.Chem.Soc., 101, 298(1972).
- 73. E.P. Wigner. Phys. Chem., BI9, 203(1933).
- 74. Р.С. Асатрян, И.А. Абронин, А.Н. Несмеянов. Изд.АН СССР, сер.хим., 1958(1982).

- 75. Р.С. Асатрян, Дисс. на соиск.уч.ст.канд.хим.н.МГУ, 1982.
- 76. Р.С. Асатрян. В сб. IX Всесоюзн. совещ. по квант. х. Иваново, ч.2, I2I (1985).
- 77. G.S. Hammond. J. Amer. Chem. Soc., 77, 334(1955)
- 78. S.Bantle, R.Ahlrichs. Chem. Phys. Lett., 53, 148(1978).
- 79. Р.С.Асатрян, К.Э.Герман, Э.С.Филатов, А.Н.Несмеянов, Радиохимия, 24, 567 (1982).
- 80. R.Blooming. Ber.Buns.Phys.Chem., 77, 2533(1975).
- 81. К.Т.Оганесян, Дисс. на соиск.уч.ст.канд.хим.н. ЕТУ, 1967
- 82. M.S.Gordon, D.R.Gane, J.A.Boatz. J.Amer.Chem.Soc., 105, 5771(1983)
- 83. G.F. Palino, F.S/Rowland. J.Chem. Phys., 75, 1299(1971)
- 84. C.A. Bunton. Nucleophilic Substitution at a Saturated Carbon Atom. Elsevier, 1963.
- 85. A.Camba, G.Morosi, M.Simonetta. Chem.Phys.Lett., 2, 20(1969).
- 86. H.Kellmar, H.O.Smith. ibid, 5, 7(1970).
- 87. S.Ehrenson. ibid, 3, 585(1969).
- 88. N.L.Allinger, J.C.Tai, F.T.Wu, J.Amer.Chem.Soc., 92. 1819(1969)
- 89. T. Yonezawa, H. Nakatsuji, H. Kato. ibid, 90, 1239(1968)
- 90. R.S.Berry, J.Chem.Phys., 32, 933(1960).
- 9I. P.Russeger, J.Brickman. J.ChemPhys.Lett., 30, 276(1975)
- 92. В.Г.Дашевский, Р.С.Асатрян, А.П.Баранов. Ж.Структ.хим., 19. 465(1978).
- 93. R.E.Stanton, J.-W.Mc Iver, Jr; J.Amer.Chem.Soc., <u>97</u>, 3632(1975)
- 94. Р.С. Асатрян. Ж. структ. хим., 23, 150(1982).
- 95. S.D.Peyerimhoff, P.S.Skell, D.D.May, R.J.Buenker, J.Amer Chem.Soc., <u>104</u>, 4515(1982)
- 96. S.D.Peyerimhoff, R.J.Buenker. Ber.Buns.Phys.Chem., 78, 120(1974)
- 97. K.Mizutani, T.Izumi, S.Matzumoto. Bull.Chem.Soc.Jpn., 50, 2113(1977).
- 98. S.V.O'Neil, P.K.Pearson, H.F.Schaefer, C.F.Bender. J.Chem.Phys., 58, II26(1973).

- 99. J.D. Mc Donald, P.R. LeBreton, Y.T. Lee, D.R. Herschbach, ibid, 56, 769(1972).
- 100. P.I. Abell, In.: Comprehensive Chemical Kinetics. Vol. 18. C.H. Bamford. C.F.H. Tipper, Eds., 1976. ch.3.
- IOI. W.E. Jones, S.D. Macknight, L. Tend. Chem.Rev., 73. 407(1973).
- IO2. J.E. Bennet, B. Mile. J.Chem.Soc.Far.Trans.I, 69, I398(I973).
- 103. V. Bonačic-Koutecky, L. Salem. J.Amer.Chem.Soc., 99, 842(1977).
- 104. S. Nagase, C.W. Kern. ibid, 101, 2544(1979).
- 105. H.B. Schlegel. J. Phys. Chem., 86, 4878(1982).
- 106. S. Kato, K. Morokuma. J. Chem. Phys., 72, 205(1980).
- 107. S. Nagase, C.W. Kern. J.Amer.Chem.Soc., 102, 4513(1980).
- 108. S. Nagase, T. Fueno, K. Morokuma. ibid, 101, 5849(1979).
- IO9. T.F. Rutledge. Acetylens and Allens. Reinhold, N.Y., IO4(1969).
- IIO. J.H. Lee, J.V. Michel, W.A. Payne, L.J. Stiel. J.Chem. Phys., 68, 1817(1978).
- III. K.D. Penzhorn, B. Darwent deb. ibid, 55, I508(1971).
- II2. M.V. Basilevsky, V.A. Tikhomirov, J.E. Chlenov. Theor. Chim.Acta, 23, 75(I97I).
- II3. D.T.C. Lark, J.W. Scanlan, J.C. Walton. Chem. Phys. Lett., 55, IO2(1978).
- II4. E. Gey, W. Kühnel. Coll. Czech. Chem. Commun., 44, 3649 (1979).
- II5. R. Arnaud, I. Douady, R. Subra. Nouv. J. De Chimie, 5, 181(1981).
- II6. R.W. Strozier, P. Caramella, K.H. Houk. J. Amer. Chem. Soc., 101, 1340(1979).
- II7. C.E. Dykstra, A.J. Arduengo, T. Fukumaga. ibid, <u>101</u>, 6007(1979).
- II8. P. Zuravski, R. Ahlrichs, W. Kutzelnigg. Chem. Phys. Lett., 2I, 309(1973).
- II9. P.C. Hariharan, W.A. Lathan, J.A. Pople. ibid, <u>I4</u>, 385 (1972).
- I20. S. Nagase, K. Takatsuku, T. Fueno. J. Amer. Chem. Soc.,

- 98, 3838(1976).
- 12I. S. Nagase, T. Fuene. Bull. Ghem. Sec. Jpn., 49, 2920 (1976).
- I22. P. Caramella, W.G. Rendan, M.N. Paddon-Row, K.N. Nouk. J.Amer.Chem.Sec., 103. 2438(1981).
- 123. Дж. Гирифельдер, Ч. Кертис, Р. Берд. Молекулярная теория газов и жидкостай. М.: ИЛ, 1961.
- 124. J.N. Murrel, M. Randić, D.R. Williams. Proc.Roy.Sec.
 (London), A284. 566(1965).
- 125. П. Шустер. Тонкая структура водородной связи. В сб.: Межмолекулярные взаимодействия. М.: Мир, 1981.
- I26. P. Hebza, R. Zahradnik. Cell.Czech.Chem.Cemmun., 39, 2857(1974).
- I27. H. Magrenau, N.R. Kestner. Theory of Intermolecular Forces, 2nd Ed., Perg. Press, Oxford, 1969, p.15.
- 128. S. Nagase, K. Morokuma. J. Amer. Chem. Soc., <u>100</u>, 1666 (1978).
- 129. K. Morokuma. J.Chem.Phys., 52, 1301(1971).
- 130. K. Kitaura, K. Morokuma. Int. J. Quant. Chem., <u>10</u>, 325 (1976).
- 131. H. Fujimoto, Y. Osamura, T. Minato. J. Amer. Chem. Soc., 100. 2954(1978).
- 132. J.H. Tedder, J.C. Walton. Acc. Chem. Res., 9, 183(1976).
- 133. F. Delbecq, D. Ilavsky, N.T. Anh, J.M. Lefour. J. Amer. Chem. Soc., 107, 1623(1985).
- 134. P. Hobza, R. Zahradník. Weak Intermolecular Interactions in Chemistry and Biology. Amsterdam, Elsevier, 1980.
- 135. T. Minato, S. Yamabe, H. Fujimoto, K. Fukui. Bull. Chem.Soc.Jpn., <u>51</u>, 682(1978).
- 136. J. Kaneti. Изв.хим. Болг.АН, 12, 416(1979).
- 137. H. Fujimoto, S. Yamabe, T. Minato, K. Fukui. J. Amer. Chem.Soc., 94, 9205(1972).
- 138. H. Fujita, A. Imamura. Bull.Chem.Soc.Jpn., 45, 668 (1972).
- 139. T. Fueno, S. Nagase, K. Tatsumi, K. Yamaguchi. Theor. Chim.Acta, <u>26</u>, 43(1972).
- 140. K. Fukui, S. Kato, H. Fujimoto. J. Amer. Chem. Soc.,

- 97, I(1975).
- I4I. W.A. Lathan, W.J. Hehre, L.A. Curtiss, J.A. Pople.
 J.Amer.Chem.Soc., 93, 6377(I97I).
- I42. K. Fukui. Theory of Orientation and Stereoselection. Springer-Verlag, Berlin, Heidelberg, N.Y., 1975.
- 143. K. Fukui. Fortschr. Chem. Forsch., 15, I(1970).
- 144. К. Фукуи. В кн.: Современная квантовая химия. М.: Мир, 58(1968).
- I45. H. Bartels, W. Eichel, K. Riemenschnider, P. Boldt. J.Amer.Chem.Soc., <u>IOO</u>. 7740(I978).
- 146. Э.С. Филатов, Е.Ф. Симонов, В.Д. Бательман. Химия выс. энергий, 15, 73(1981).
- 147. Р.С. Асатрян, И.А. Абронин. Вестник МГУ, Химия, <u>21</u>, 584(1980).
- 148. W.C. Herndon. Tetrahedron Lett., 3801(1979).
- 149; А.С. Днепропетровский. В сб.: Механизмы гетеромитических реакций. М.: Наука, 1976, с.121.
- 150. A. Imamura, K. Hirao. Bull.Chem.Soc.Jpn., <u>52</u>, 287 1979).
- 151. H. Shinohara, A. Imamura, T. Masuda, M. Kondo. ibid, 52, 2801(1979).
- 152. Б.Ф. Симонов, Р.С. Асатрян, Э.С. Филатов, Тезисы I Всес.совац. "Биологически активные соединения, меченые радиоактивными изотопами", Звенигород, 9(1985); М.А. Бабани, Р.С. Асатрян. Материалы III Респ. молод. конф. по физико-хим. биологии, Агверан, 13(1985).
- 153. S. Sharafi-ozeri, L. Muszkat, K.A. Muszkat. Z. Natur-forsch., 31, 781(1976).
- 154. Р.С. Асатрян, С.Т. Григорян, А.М. Арзуманян, А.А. Матнишян. Высокомолек.соед., <u>A27</u>, 2520(1985).
- I55. K. Ohkubo, Y. Nakashina, K. Masumoto, D. Gal. Oxid. Commun., I, 197(1980).
- 156. R.H. Krech, D.L. Mc Fadden. J.Amer.Chem.Soc., 99. 8402(1977).
- 157. W.A. Sckalski, P.C. Hariharan, H.E. Popkie, J. Kauffman. Int.J.Quant.Chem., 18, 189(1980).
- 158. К.Я. Буратена, А.Н. Исеев. В со.: ТК всесова. совещ. по квантовой химии, Изаново, 1985, с.89.

- 159. J.M. Leciercg, M. Allavena, Y.J. Bouteiller. Chem. Phys., 78, 4606 (1983).
- 160. K. Morokuma, S. Kato, K. Kitaura, S. Obara, K. Ohata, H. Hanamura. In.: New Horizons of Quant. Chem., Eds. P.-O. Löwdin, B. Pullman, 1983, D. Reidel Publ. Comp., p. 221.
- 161. D. Pulay. J. Chem. Phys., 78, 5043 (1983).
- 162. J.A. Pople, R. Kirshnan, H.B. Schlegel. Int. J. Quant. Chem. Symp., 13, 223 (1979).

УДК 541.64;547.82

О РЕАКЦИОННОЛ СПОСОБНОСТИ СОПРЯЗЕННЫХ МОНОМЕРОВ В ПРОЦЕССЕ ОБРАЗОВАНИЯ ЭЛЕКТРОПРОВОДЯЩИХ КОМПЛЕКСОВ С ЛОДОМ

Р.С. Асатрян, Н.Ш. Маилян, С.И. Цыгулева Институт органической химии АН Арм. ССР, Ереван Поступило 28 июля 1987 г.

В рамках спаренной хартри-боковской теории возмущений в приближении ППП рассчитанн \mathfrak{H} -поляризуемости ряда метилироизводних пиридина. Получена их линейная корреляция с виходами полимерных комплексов /ПК/, образованных при термическом взаимодействии мономеров с молекулярным йодом. Обнаружено качественное согласие между электропроводностью ПС и спиновыми плотностями на донорных центрах катион-радикальных форм мономеров, рассчитанными методом 10 ЛКАО ССН в приблитении ППДП/2-НКО.

При термическом взаимодействии молекулярного йода с ароматическими и гетероароматическими соединениями образувтся полимерные комплекси /ПП/, обладающие полупроводниковыми свойствами 1,2, мод, при этом, явияется не только легирующий агентом, но и катализатором процесса полимеризации. Поэтому, определенный интерес представляет теоретическое исследование реакционной способности мономеров при взаимодействии с йодом.

Окспериментальным критерием реакционной способности мономеров служили виходы ПК при оптимальных соотношениях реагентов, температуре и продолжительности реакции 1,2.

Поскольку при низких температурах взаимодействие йода с полобиним соединениями приводит к образованию устойчивых комплексов с переносом заряда /КПС/ , то мы, прежде всего, предпринали политку объяснить терпический эксперимент легостью образования КПС и некоторыми их свойствами. Полуживием ческими методами СС ДКАО ССП были рассчитани потенциалы ионизации, дипольные моменты, электронные плотности на 6-донорных и спиновые плотности на радикальных центрах молекулярных и ионизованных форм ряда метилпроизводных пиридина. Приведенный ряд параметров хотя и объясняет совокупность экспериментальных данных по образованию и свойствам низкотемпературного КПЗ, оказался неприменим к закономерностям высокотемпературного комплексобразования.

С другой стороны, известно 4, что индукционные силы вносят значительный вклад в полную энергию взаимодействия длинных сопряженных молекулярных структур, хотя их вклад в случае нейтральных систем обично мал. Исходя из этого, если предположить, что при термическом взаимодействии сопряженных систем с йодом на лимитирующей стадии реакции существенную роль играет способность системы индуцировать дипольный момент, то характеристикой, описивающей отклик системы на внешнее возмущение будет служить электрическая поляризуемость мономера / см.

Расчеты \mathcal{A}_{M} проводились в связанном приближении хартри-фоковской теории возмущений $^{\mathrm{S}}$ в \mathcal{K} -электронном приближении ППП со значениями параметров гетероатомов, приведенными ранее 6 . Значения геометрических параметров: $^{\mathrm{R}}_{\mathrm{C-C}}=^{\mathrm{R}}_{\mathrm{C-N}}=^{\mathrm{I}}$,39 Å, $^{\mathrm{R}}_{\mathrm{C-H}}=^{\mathrm{I}}$,08 Å, $^{\mathrm{R}}_{\mathrm{C-CH}}=^{\mathrm{I}}$,52 Å, все валентные угли приняты равными $^{\mathrm{I}}$ 200.

Расчеты показали, что по среднестатическим данным об $\propto_{\rm M}^{\rm T}$ мономеры располагаются в ряд, согласующийся с экспериментальными выходами $\rm HK$ /см. рисунок/.

Из данных табл. І следует, что вышеуказанные параметры коррелируют и в ряду полиароматических соединений, что свидетельствует об общности факторов, доминирующих в процессе термической полимеризации сопряженных мономеров в присутствии йода.

Таким образом, на лимитирующей стадии реакции полимеризации или на стадии стабилизации IK /возможно, ионами типа I-/ решающую роль играет поляризуемость мономера. Летальное объяснение этого явления требует количественной оценки различных составляющих энергии межмолекулярного взаимодействия ⁴, а выяснение механизма элементарного акта – расчетов динамических индексов реакционной способности /см., например, ⁵/ с явным учетом взаимодействия реагентов,

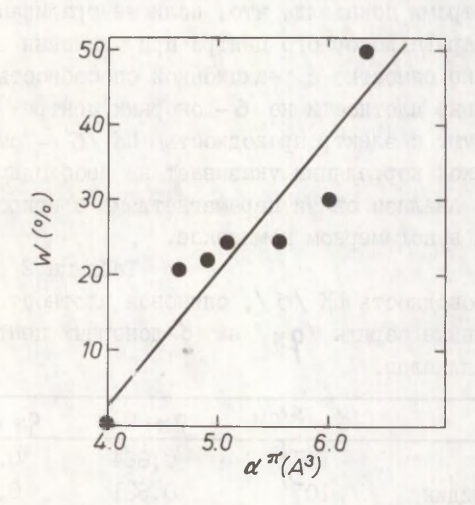


Рис. Экспериментальные выходы ПК и π -поляризуемость n-метилироизводных пиридина.

Таблица I Выходы ПК /W / и средняя поляризуемость /ос $_{\rm M}$ / для ряда ароматических систем

Мономер	w, % ^I	∝ _M , A³
Бензол	< I	9,73
Пайталин	70	I8,64
Антрацен	73	23,46
⊉енантрен	84	32,36

Жначения общей поляризуемости, полученные модифицированным метолом АСГ 7

В предположении, что при полимеризации возможен перенос электрона от ВЗМО донора /мономера/ на НСМО акцептора /молекула I_2 / нами были рассчитаны также ионизованные системы. Расчеты катион-радикалов метилпроизводных пиридина методом ППДП/2-НХФ ⁹ с такими же как для молекул геометрическими параметрами показали, что, если нейтрализация отрицательного заряда донорного центра при удалении электрона происходит не симбатно с реакционной способностью мономера, то спиновые плотности на б-донорных центрах качественно коррелируют с электропроводностью ПК /б/- см. табл. 2. Наличие такой корреляции указывает на необходимость более детального анализа связи парамагнетизма с природой носителей заряда в полимерном комплексе.

Таблица 2 Электропроводность ПК /б/, спиновая плотность / ρ_N / и эффективные заряды / ρ_N / на б-донорных центрах катион-радикалов.

Мономер	6, \$ /cm	9 N., e	q _N , e
Пиридин	10-4	0;664	0,061
2,5-диметилпиридин	10-7	0,631	0,015
2,6-диметилпиридин	3-01	0,623	-0,022
2,3-диметилпиридин	10-9	0,621	0,017
2,4-диметилпиридин		0,620	0,007
2,4,6-триметилпиридин	10-10	0,602	-0,040

JIMTEPATYPA

- А.А. Метникин, А.Н. Арзуманин, Л.С. Григорян, В.Н. Кикогосов, М.Л. Арутюнян, С.Г. Григор н, Р.С. Асатряк, Т.М. Айвазин, А.Л. Манукин, Р.О. Матевосин, Арм. хим. м., 28, 590/1985/
- 2. А.А. Матнишян, И.А. Арутюнян, А.П. Арзуманян, Тезиси докл. школы-семинара "гизика и кимия интеркалированных и других квазиодномерных систем", Харьков, 31/1086/
- 2. А.П. Садименко, А.А. Гарновский, В.Н. Педикер, О.А. Осппов, Химия гетероцичал.соед., <u>10</u>, 1299/1982/

- 4. И.Г. Каплан. "Введение в теорию межмолекулярного взаимодействия". М., Наука, 1982.
- 5. В.Э. Уманский, А.В. Лузанов, И.В. Кривошей. Ж. структ. хим., 15, 1024 (1974).
- F. Billingsley, J. Bloor, Theor. Chim. Acta, <u>11</u>, 325 (1968).
- J.D. Mc Kinney, K.E. Gottschalk, L. Pederson, J. Mol. Struct., THEOCHEM, 105, 427 (1983).
- 8. Р.С. Асатрян, К.Э. Герман, Э.С. Филатов, А.Н. Несмеянов. Радиохимия, <u>24</u>, 567 (1982).
- J.A. Pople, D. Beveridge, "Approximate Molecular Orbital Theory", N.Y., Mc Graw-Hill, 1970.

Реакц. способн. орган. соедин., том 25, вып. I(89), 1988.

> УДК 547.265541.121/123 541.12.038.2+543.42.56

химические сдвиги 1 н, 79 вг, 17 о, 13 с и 14 м в водных Растворах ($_{\rm H-C_4H_9}$) $_{\rm 4}$ мвг

И.А. Коппель, В.А. Эйбер, D.Б. Коппель Лаборатория химической кинетики и катализа и кафедра аналитической химии Тартуского госуниверситета, г. Тарту, ЭССР

Т.И. Пехк Институт химической и биологической физики АН ЭССР, г. Таллин. ЭССР

Поступило 12 января 1988 г.

Методом ЯМР изучено поведение водных растворов ($H-C_4H_9$) $_4$ NBr (Bu_4 NBr). Исследовали спектры ядер 1H , 12 С, 12 Вг, 14 N и 17 О. Вопреки распространенным взглядам, что Bu_4 NBr упрочняет структуру воды, найдено, что увеличение концентрации этого электролита приводит к сдвигу резонансного сигнала 1H воды в сторону более сильного поля, что характерно разрушению структуры воды. В свою очередь, при увеличении концентрации Bu_4 NBr в воде наблюдается сдвиг резонанса 17 О в сторону слабого поля, что, нарборот, согласуется с гипотезой о структуроупрочняющей роли этого электролита. Химимеские сдвиги ядер 13 С и 14 N указывати та то, что паршиальные сдвиги Bu_4 NBr.

Проведено сравнение величин химических сдвигов $^{79}{\rm Br}$ в водных растворах ${\rm Bu_4NBr}$ и ${\rm NH_4Br}$. При этом, в частности, установлено, что в случае ви₄ NBг наблюдаются весьма существенные химические сдвиги (более 200 м.д.) в сторону слабого поля по сравнению с NH₄Bг. При этом, в случае Ви₄NBг на-блюдается и весьма значительное расширение линии ⁷⁹Bг (до 40 кГц) по мере возрастания концентрации этого электролита. Установлено, что лишь на основе изменения химических сдвигов нельзя сделать одно-значных прямых выводов о том, как отдельные ионы электролитов взаимодействуют с молекулами воды. Высказано предположение, что химические сдвиги изученных ядер в водном растворе Ви₄NBг могут быть связанными с образованием ионных пар.

В литературе (см. 1--3) для обзора) широкое распространение получили взгляды, согласно которым добавки электролитов различной химической природы и концентрации оказывают существенное влияние на структуру воды. Считают, например, что добавление большинства I:I электролитов к воде приводит к разрушению структуры воды, а добавление некоторых алкиламмоний галогенидов, наоборот, упрочняет структуру воды. При определении брутто-полярности водных растворов различных электролитов найдено, что Вид NBr уменьшает электрофильную сольватирующую способность воды, что приводит к спалу брутто-полярности воды Ет, вплоть до соответствующей величины для ДМСО. В то же время I:I электролиты типа LiCl, KBr, NaCl и NaClo, увеличивают электрофильную сольватирующую способность и брутто-полярность воды. При измерении скорости гилролиза замещенных бензоатов также найдено, что Вид NBr уменьшает электрофильность среды, а NaCl и NaClO, , наоборот, увеличивают ее электрофильность. Структурирующее действоды найдено при измерении плотности и вяз-Bue Bu, NBr кости, при кондуктометрическом измерении, при измерении энтальпии водных растворов 10 , 11 , при растворении $^{Bu}_{4}$ NB г в спирте 12 , 13 и при измерении времени релаксации 17 0 14 , 15

Экспериментальная часть

Спектры $^{\rm I}$ Н сняты на спектрометре $^{\rm TESLA}$ RS487B при рабочей частоте 80 МГи (внутренний эталон – $^{\rm TPET.-}$ Вион), спект-

Ры 13 С сняты на спектрометре врикей WH-90 относительно внешнего эталона-ТМС. ЯМР спектры 14 N, 17 O, 79 Br сняты на спектрометре врикей ам-500. При измерении химических сдвигов 14 N и 79 Br использовали 4.9 М ин₄Br раствор в воде как внешний эталон, спектры 17 O сняты относительно внешнего эталона — 12 O. Из-за низкого естественного содержания 17 O и увеличения ширины линии в концентрированном водном растворе 17 O оказался 2М раствор.

Результаты измерений химических сдвигов различных ядер приведены в табл. I—3. Кроме того, в табл. 2 и 3 для ядер $^{14}{\rm N}$, $^{17}{\rm O}$ и $^{79}{\rm Br}$ приведены также ширины соответствующих линий на их полувысоте, $\Delta V_{1/2}$.

Таблина I Химические сдвиги ядер ${}^{\rm I}{\rm H}$ воды в водных растворах ${}^{\rm Bu}{}_4{}^{\rm NBr}$ и ${}^{\rm Bu}{}_4{}^{\rm NOH}$ (внутренний эталон — t — вион) . Приведена молярная концентрация (M) соли

o the Julie	14 NOH	Ви	Bu ₄ NBr	
	△б (м.д.)	М	- Дб (м.д.)	M
mpila.uni	0	0	0	0
	0.01	0.10	0.05	0.46
	0.01	0.14	0.09	0.74
	0.03	0.224	0.08	I.06
	0.06	0.37	0.30	I.58
	0.09	0.56	0.33	1.87
			0.61	2.32
			0.79	2.50
			0.88	2.65
			0.91	2.70

Таблица 2

Химические сдвиги и ширина линии $^{14}{\rm N}$ в водном растворе ${\rm Bu_4NBr}$. Внешним эталоном служил 4.9 М водный раствор ${\rm NH_4Br}$

M	∆б (м.д.)	Ширина линии (в Гц)	
0.42	39.7	70	
0.94	39.8	77	
1.2	40.I	84	
1.5	40.2	100	
2.0	40.4	115	
2.52	40.6	130	
2.9	4I.I	148	

Таблица 3

Химические сдвиги ядер 17 О и 79 Вг и ширина линии сигнала ядер 79 Вг и 17 О в водном растворе $\mathrm{Bu_4NBr}$ и $\mathrm{NH_4Br}$. Для 17 О внешним эталоном была вода, а для 79 Вг 4.9 М водный раствор бромистого аммония

	Bu ₄ NBr			NH ₄ Br			
M	79 _{Вг} Дб(м.д.)	ширина линии, кГц 🛆		ширина линии Гц		⁷⁹ вг До (м.д.)	ширина линии кГц
0	TO LESS	The Land	0	115	0.079	-24.3	0.81
0.16	-I5.6	3.37	0.4	123	0.318	-23.8	0.83
0.45	3	10.6	I.I	168	0.448	-22.4	0.79
0.94	48	25	1.8	218	0.838	-18.5	0.80
1.23	II7	28	2.3	256	I.38	-16.9	0.82
1.58	115	42,5	2.9	287	I.89	-14.6	0.79
2.00	162	44.8	3.5	340	4.00	+0.3	0.84
2.58		44 43,5					

Обсуждение результатов

Из рис. I видно, что добавки ${\rm NaClO}_4$ и ${\rm Bu}_4{\rm NBr}$ приводят к сдвигу резонансного сигнала ${\rm IH}$ воды в сторону более сильного поля, в то время как ${\rm Bu}_4{\rm NOH}$ приводит к сдвигу в сторо-

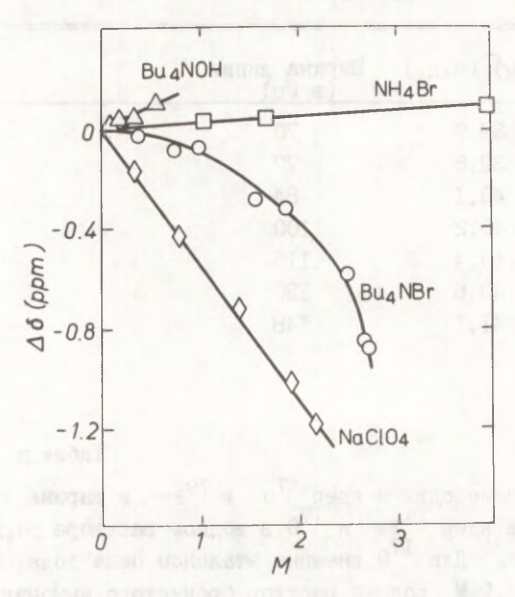


Рис. I. Зависимость химических сдвигов ^IН ОН-группы воды (внутренний эталон- t-Вион) от концентрации добавок различных электролитов в водном растворе.

ну слабого поля. В случае водного раствора NH₄Br концентрационная зависимость химического сдвига ^IН практически отсутствует. I:I электролиты, которые способствуют разрушению структуры воды (например, перхлораты и галагениды), приводят к сдвигу в сторону сильного поля. Это совпадает с представлениями о том, что разрушение структуры воды приводит к сдвигу резонансного сигнала протона в сторону сильного поля. В частности, это согласуется с тем, что при повышении температуры или при разбавлении сигнал протона гидроксильной группы сдвигается в сторону сильного поля ^{I6}——19.

Шулери и Альдер показали уже в 1955 г.²⁰, что малые поливалентные ионы приводят к сдвигам в сторону слабого поля, а большие I:I электролиты, которые способны к разрушению структуры, приводят к сдвигу резонансного сигнала воды к сильным полям. Однако, по нашим данным, Bu, NBr, который считается упрочнителем структуры воды, приводит к сдвигу сигнала 1Н воды в сторону сильного поля. Если сравнивать химические сдвиги $^{\mathrm{I}}\mathrm{H}$ водных растворов $\mathrm{Bu_4NBr}$ и $\mathrm{NH_4Br}$ то можно сделать вывод, что вид N+ иону характерен сдвиг в сторону более сильного поля, чем NH_{A}^{+} . Аналогичные сдвиги в сторону высокого поля были обнаружены и для других растворов R_ANBr¹⁴ и водных растворов спиртов и карбоксильных кислот с возрастающей длиной цепи ¹⁸. Сдвиг к высоким полям обнаружен и в растворах алкилсульфата натрия (R=Et, Bu, Oct)²¹. Сдвиг увеличивается с увеличением числа атомов углерода в алкильной группе.

На рис. 2 изображена концентрационная зависимость химических сдвигов 170 воды от добавок некоторых электролитов. Данные для NaClO, и КВг взяты из работы²². В водном растворе Ви NBr резонанс 170 сдвинется в сторону слабого поля, а величина указанного химического сдвига, как и ширина линии на полувысоте (II5 Гп для чистой воды, 340 Гп в 2 М растворе Ви₄NBr) находятся в линейной зависимости от концентрации Bu, NBr. Химические сдвиги 170 имерт более сложное поведение, чем химические сдвиги ^IH. I:I галогенилы щелочных металлов (напр. KBr) приводят к сдвигу резонансного сигнала 170 воды к слабым полям. Этот эффект противоположен тому, который имеет место при повышении температуры образца , при переходе из жидкой фазы в газовую 23, 24 и при разбавлении Н₂О в органических растворителях 22. Указанные процессы приводят к сдвигу в сторону сильного поля. ${\tt NaClO_4}$ и ${\tt KBr}$ изменяют химические сдвиги ${\tt I70}$ воды в противоположную сторону. Из данных для ${\tt IH}$ и ${\tt I70}$ можно сделать вывод, что следует соблюдать большую осторожность при интерпретации данных о влиянии ионов на структуру воды на основании измерения химических сдвигов ядер воды и добавленных ионов.

В растворах электролитов молекула воды может занимать

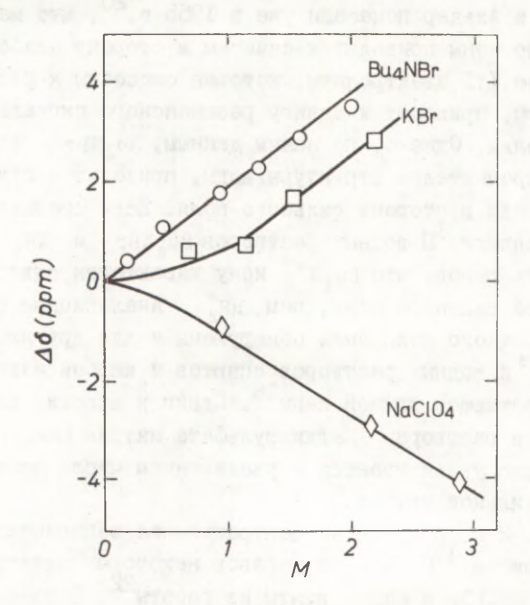


Рис. 2. Зависимость химических сдвигов ¹⁷0 воды (внешний эталон — вода) от концентрации добавок некоторых электролитов в водном растворе.

три различных положения:

- а) вблизи катиона,
- б) вблизи аниона,
- в) в окружении других молекул воды.

Поскольку экспериментально наблюдается только один резонансный сигнал, то наблюдаемый сигнал представляет некоторую суперпозицию из сдвигов для трех различных типов окружений. По мнению Хиндмана 26, можно различать следующие вклады в индуцированные протонные сдвиги:

- Сдвиги в сторону более высокого поля резрушение водородных связей в процессе реориентации молекул воды,
 дополнительное разрушение водородных связей вокруг ионов.
- 2) Сдвиги в сторону более слабого поля ион создает более упорядоченную структуру, чем структура чистой воды,

- монное поле воздействует на электронное распределение вокруг протонов,
- неэлектростатическое взаимодействие между катионом и анионом кислорода воды.

Эти факторы должны обуславливать воздействие ионов при бесконечном разбавлении. При более высоких концентрациях, необходимых для измерения химических сдвигов, взаимное влияние ионов может вызвать дополнительные эффекты²⁵, которые должны учитываться при определении структуры воды.

Для описания химических сдвигов ¹Н и ¹⁷0 воды в водных растворах I:I электролитов, многими авторами ²0, ²², ²⁶—²⁸ определены моляльные химические сдвиги, вызванные отдельными ионами в водных растворах электролитов. Предполагая, что каждый ион вносит отдельный вклад в общий химический сдвиг резонанса данного ядра, можно характеризовать моляльные химические сдвиги при помощи уравнения:

$$d = d^{\dagger}n^{\dagger} + d^{\dagger}n^{\dagger}$$

где d^+ и d^- — относительные моляльные сдвиги, n^+ и n^- — число ионов, образующихся при диссоцивации одной молекулы соли.

Считают, что это уравнение хорошо характеризует моляльные химические сдвиги неорганических электролитов. С увеличением ионного радмуса увеличивается и структурно-разрушающая способность неорганических ионов 26 . В ряду \mathbf{F} , \mathbf{Cl} , \mathbf{Br} , \mathbf{I} и \mathbf{Ll}^+ , \mathbf{Na}^+ , \mathbf{K}^+ , \mathbf{Rb}^+ , \mathbf{Cs}^+ найдены линейные зависимости ионных моляльных химических сдвигов 14 и 17 0 от ионных радмусов анионов и катионов в кристаллах 3 , 8 , 26 . Если вычислить соответствующие моляльные химические сдвиги для $^{8u}_4$ NBr , то выяснится, что почти весь химический сдвиг воды определяется 8 ионом. Моляльные химические сдвиги других алкиламноний бромидов 8 4 NBr(8 =Pr, 8 t, 8 e) тоже незначительные 3

На основании моляльных химических сдвигов $^{17}0^{22}$, 28 можно сделать вывод, что все галогенид-ионы вызывают сдвиг в сторону более слабого поля, который возрастает при переходе от $^{\rm F}$ к $^{\rm I}$ Одновалентные катионы, вызывающие относительно слабые положительные сдвиги, образуют следующий ряд: $^{\rm Li}$ $^{\rm S}$ $^{\rm Na}$ $^{\rm S}$ $^{\rm He}$ $^{\rm A}$ $^{\rm Na}$ $^{\rm S}$ $^{\rm He}$ $^{\rm A}$ $^{\rm Na}$ $^{\rm S}$ $^{\rm T}$ анионы оказывают более

резко выраженное влияние (4 раза для Me_4NBr и I,8 раза для Bu_4NBr по сравнению с положительными R_4N^+ ионами. Многие авторы 3, 22, 28, 29, 30 высказали предположение, что разрушение структуры не вносит решающего вклада в наблюдаемые химические сдвиги, которые, возможно, определяются сольватационными взаимодействиями в системе анион-среда (вода), в частности электрофильной сольватирующей способностью среды.

Для проверки указанной гипотезы можно обратиться к

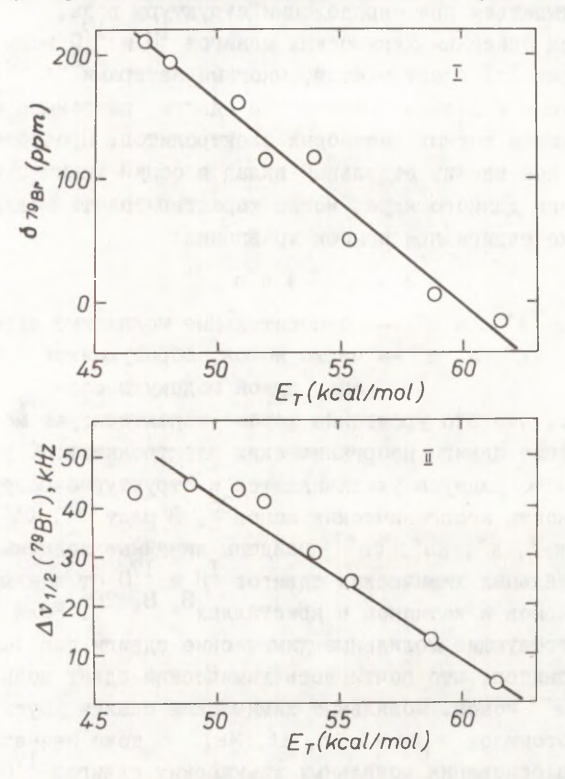


Рис. 3. Сопоставление химических сдвигов ϕ ядер $\phi_{\rm Br}(1)$ и ширины его резонансной линии на полувысоте $\phi_{1/2}(11)$ в водном растворе $\phi_{1/2}(11)$ с характеристиками брутто—полярности растворителя $\phi_{1/2}(11)$

рис. З и 4, откуда видно, что как химические сдвиги резонанса $^{79}{\rm Br}$ и $^{17}{\rm O}$ в водных растворах ${\rm Bu_4NBr}$ так и соответствующие ширины линий $^{79}{\rm Br}$ и $^{17}{\rm O}$ в этой же среде зависят в пределах погрешностей их определения линейно от параметров

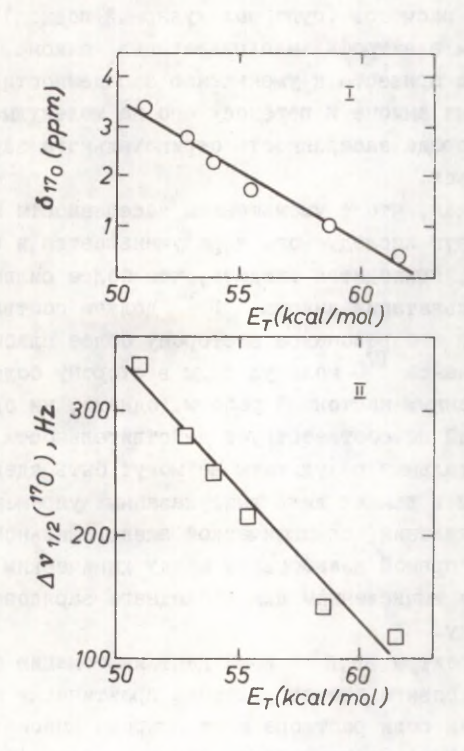


Рис. 4. Сопоставление химических сдвигов δ ядер 17 0 воды(I) и ширины его резонансной линии на полувысоте $\Delta V_{1/2}$ (II) в водном растворе Bu_4 NBr с характеристиками брутто-полярности растворителя E_T .

брутто-полярности E_T указанных солевых растворов⁴. Поскольку величины E_T линейно связаны с соответствующими параметрами электрофильности E этих же сред⁴, то, по крайней мере,

формально это эквивалентно утверждению, что как химические сдвиги ⁷⁹Вг, так и химические сдвиги ¹⁷О уменьшаются (сдвиг в сторону более сильного поля) по мере увеличения электрофильной сольватирующей спрообности воды. Такое поведение не согласуется, однако, с результатами неэмпирических квантовохимических расчетов (супермолекулярный подход) ³¹, ³², согласно которым электрофильная гидратация аниона (хо⁻, F⁻ и др.) должна привести к уменьшению заселенности отрицательного заряда на анионе и переносу его на молекулы воды, где на атоме кислорода заселенность отрицательного заряда должна увеличиваться.

Допуская, что с уменьшением заселенности отрицательного заряда вокруг исследуемого ядра уменьшается и экранирование последнего, приходится ожидать, что более сильной электрофильной сольватации аниона Вг должен соответствовать также сдвиг его резонанса в сторону более слабого поля и сдвиг резонанса 170 молекул воды в сторону более сильного поля. По данным настоящей работы, однако, ни одно из этих двух условий не соответствует действительности и поэтому экспериментальные результаты не могут быть адекватно интерпретированы в рамках лишь вышеуказанных упрощенных модельных представлений, специфической электрофильной сольватации аниона и о прямой взаимосвязи между химическим сдвигом данного ядра и вычисленном для последнего зарядовой плотности по Маляикену.

ЯМР спектры $\mathrm{Bu}_4\mathrm{N}^+$ — иона дают информацию о том, что химические сдвиги атомов углерода практически не зависят от концентрации соли раствора и от природы аниона. Ниже представлены данные по химическим сдвигам ядер $^{13}\mathrm{C}$ иона $\mathrm{Bu}_4\mathrm{N}^+$ (м.д.) в водных растворах $\mathrm{Bu}_4\mathrm{NBr}$ и $\mathrm{Bu}_4\mathrm{NOH}$.

	Bu, N	Br	Bu ₄ NO	H
	0.42 M	2 M	0.56 M	0.37 M
CT	14.30	14.73	14.40	14.30
C2	20.48	20.78	20.51	20.51
3	24.48	24,80	24.55	24.45
C_4	59.45	59.58	59.52	53.45

Для химических сдвигов ядер ¹⁴N характерна также очень

слабая зависимость от концентрации водного раствора электролита. Так, в 2,9 м водном растворе $\text{Ви}_4\text{NBr}$ химический сдвиг ^{14}N превышает только на I,4 м.д. величину соответствующего химического сдвига в 0.42 молярном растворе. При повышении концентрации этого электролита, однако, наблюдалось линейное (двухкратное) увеличение ширины линии (70 $\Gamma_{\text{П}}$ в 0.42 м. растворе и 148 $\Gamma_{\text{П}}$ в 2,9 м. растворе).

Зависимость химических сдвигов 79 вг и ширины линии от концентрации $_{\rm Bu}$ NBr представлена на рис. 5 и б. Причина рас-

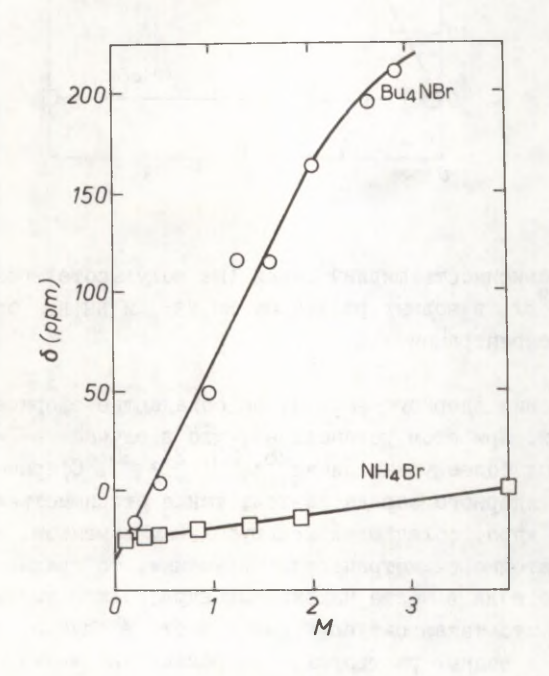


Рис. 5. Зависимость химических сдвигов 79 Вг (внешний эталон 4,9 м водный раствор 14 Вг) от концентрации электролита в водных растворах 19 Ви 4 ИВг и 19 Вг

ширения линии, видимо, связана с тем, что ядра 79 Вг имеют

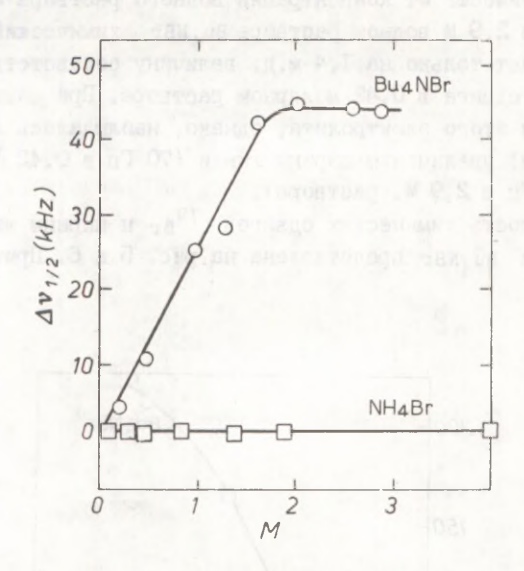


Рис. 6. Зависимость ширины линии (на полувысоте) резонанса $^{79}{\rm Br}$ в водных растворах ${\rm Bu_4NBr}$ и ${\rm NH_4Br}$ от их концентрации.

распределения ядерного заряда, не обладающие сферической симметрией. При этом установлено, что в случае Br^- -ионов наблюдаются более узкие линии $\mathrm{26}^+$, $\mathrm{33}^+$, $\mathrm{35}^+$. Сферическая симметрия ядерного заряда зависит также от симметрии окружения. Если ядро, обладающее квадрупольным моментом, находится в достаточно симметрическом окружении, то градиент электрического поля в месте нахождения ядра должен уменьшаться. Возможно, что такая ситуация имеет место в случае NH_4^+ и Br^- -ионов в водных растворах, где расширение линии не наблюдается.

Зависимости химических сдвигов 79 Вг в растворах $_{4}$ Вг и $_{4}$ NBг трудно свести к структурно-упрочняющему влиянию $_{3}$ Ви иона и специфическому взаимодействию между Вг -ио-

ном и молекулами воды. Можно высказать гипотезу, что значительный химический сдвиг 79 Вг $\mathrm{Bu_4NBr}$ отражает процесс образования "интимной" или контактной ионной пары 36 между $\mathrm{Bu_4N^+}$ и $\mathrm{Br^-}$. В отличие от $\mathrm{Bu_4N^+}$, $\mathrm{NH_4^+}$ ион специфически сольватирован молекулами воды, что препятствует образованию указанных ионных пар. Образование ионных пар сопровождается искажением эффективного сферического распределения заряда иона, что ведет к уменьшению электронного экранирования и к расширению линии.

При низких концентрациях Bu_4 NBr можно предполагать следующее равновесие: Br —ион в гидратной оболочке \Longrightarrow Br —ион в "интимной" ионной паре, не разделенной молекулами воды.

В гидратном окружении резонансная линия относительно узкая (ширина ее 800 Γ п) и находится в более сильном поле. При увеличении концентрации $\text{Вu}_4\text{NBr}$ равновесие сдвинется в сторону образования "интимных" ионных пар. В ионной паре $\text{Bu}_4\text{N}^+\text{Br}^-$ сферическое и симметрическое распределение ядерного заряда нарушается и экранирование уменьшается. Это должно привести к сдвигу ^{14}N и ^{79}Br резонансного сигнала в сторону слабых полей и к значительному расширению линии. Изменения положения резонанса и ширины линии в зависимости от концентрации в случае ^{79}Br и ^{14}N отличаются друг от друга значительно. Действительно, изменения химического сдвига и ширины линии при переходе от бесконечного растворения в 2 М раствор:

Химический	сдвиг (Гц)	Ширина линии	(Γ_{Π})
79 _{Br}	14 _N	79 _{Br}	14 _N
24000	40	44200	63

свидетельствуют о том, что химические сдвиги 79 вг в 600 раз и ширина линии в 700 раз больше, чем для 14 N.

Можно предположить, что в концентрированных растворах $(M \geqslant 2)$ вышеуказанное равновесие полностью сдвинется в сторону образованияя "интимных "ионных пар, что сопровождается практическим постоянством ширины линии. Следует также напомнить, что в концентрированном растворе $(M \geqslant 2)$ E_T -параметры

брутто-полярности воды практически уже нечувствительны к варьированию температурного фактора и вычисленная из них электрофильная сольватирующая способность воды достигает практически своего минимально возможного значения, характерного для чистой расплавленной соли видивг и меняется при дальнеймем повышении концентрации лишь незначительно (см. 4, рис. 3 и 4). При достаточно высокой концентрации видивг химические сдвиги 19 вг в случае видивг и индвг имеют аналогичную концентрационную зависимость, т.е. ширина линии не зависит от концентрации и проявляется лишь небольшой сдвиг сигнала в сторону слабого поля.

Гипотезе образования контактной ионной пары не противоречит и тот факт, что растворение бромидов в органическом растворителе приводит к сдвигу ⁷⁹Вг сигнала в сторону слабых магнитных полей ³⁷. Так, в растворах 0,2 м LiBr, кВr, мавг и ме мвг в воде, где Вг -ионы гидратированы, химические сдвиги ⁷⁹Вг у них равны. Растворение этих бромидов в органическом растворителе приводит, однако, к сдвигу сигнала ⁷⁹Вг в сторону слабых магнитных полей. При этом химические сдвиги зависят как от растворителя, так и от катиона. Такой случай имеет место, например, при исследовании химических сдвигов ядер ⁷⁹Вг в растворах некоторых электролитов в ДМСО, где соответствующие величины химических сдвигов (в м.д.) ⁷⁹Вг убывают в следующем ряду:

LiBr	NaBr	KBr	Me ₄ NBr
170	167	167	104

Аналогичный эффект замечен 35 также для других растворителей (ДМФА, СН $_3$ СN) при измерении химических сдвигов ядер 35 Cl и 127 I.

Литература

- I. J.E. Desnoyers, C. Jolicoeur, Глава I в книге J.O'M. Bockris, B.E. Conway (Ed.), Modern Aspects of Electro chemistry, Plenum, New York, 1969.
- 2. F. Franks (Ed.), Water. A Comprehensive Treatise, Vol.3, Aqueous Solutions of Simple Electrolytes, New York, 1973.

- 3. J.E. Desnoyers, C. Jolicoeur, B KHMTE J.O'M. Bockris (Ed.), Comprehensive Treatise of Electrochemistry, Vol. 5, 1983, pp. 1-109.
- 4. И.А. Коппель, Ю.Б. Коппель. Реакц. способн. орган. соедин., 21, 106 (1984).
- 5. В.М. Нуммерт, Р.В. Пярисмаа, М.В. Пийрсалу. Реакц. способн. орган. соедин., 2I, 9I (1984).
- I.S. Banait, C.S. Bhatti, J. Electrochem. Soc. India, 35, 43 (1986).
- K.R. Chodhury, D.K. Majumdar, Electrochim. Acta, 29, 1371 (1984).
- L.A. Woolf, H. Weingärtner, Faraday Symp. Chem. Soc., <u>17</u>, 41 (1982).
- 9. L.H.I.U. Mettanando, R.J. Speedy, J. Phys. Chem., <u>88</u>, 4163 (1984).
- 10. S. Lindenbaum, J. Phys. Chem., 70, 814 (1966).
- R.H. Wood, J.E. Majrath, J. Chem. Thermodyn., <u>14</u>, 1135 (1982).
- D.S. Gill, M.S. Chauhen, Z. Phys. Chem. (BRD), <u>140</u>, 139 (1984).
- I.S. Banait, K.S. Sidhu, J.S. Walio, Can. J. Chem. <u>62</u>, 303 (1983).
- H.G. Hertz, W. Spelthoff, Z. Elektrochem., <u>63</u>, 1096 (1959).
- 15. B. Halle, H. Wenneström, J. Chem. Phys., 75, 1928 (1981).
- 16. M. Sanders, J.B. Hyne, J. Chem. Phys., 29, 1319 (1958).
- 17. A.D. Cohen, C. Reid, J. Chem. Phys., 25, 790 (1956).
- 18. H.H. Rüterjans, H.A. Scheraga, J. Chem. Phys., <u>45</u>, Nr 9 (1966).
- 19. J.C. Hindman, J. Chem. Phys., 44, 4582 (1966).
- 20. J.N. Shoolery, B.J. Alder, J. Chem. Phys, 23, 805 (1955).
- J. Clifford, A. Pethica, Trans. Far. Soc., <u>66</u>, 1483 (1966).
- 22. Z. Luz, G. Yagil, J. Phys. Chem., 70, 554 (1966).
- 23. O.A. Florin, M. Alei, J. Chem. Phys., 47, 4268 (1967).
- 24. R.E. Wasylishen, S. Moolbrook, J.B. Mcdonald, J. Chem. Phys, 81, 1057 (1984).
- 25. E. Wicke, Angew. Chem. Intern. Ed. Engl., 5, 106 (1966).

- 26. J.C. Hindman, J. Chem. Phys., 36, 1000 (1962).
- B.P. Fabricand, S. Goldberg, J. Chem. Phys., <u>34</u>, 1624 (1961).
- F. Fister, H.G. Herz, Ber. Bunsenges. Phys. Chem., <u>71</u>, 1032 (1967).
- 29. K.A. Hartman, J. Phys. Chem., 70, 270 (1966).
- 30. R.E. Glick, W.E. Stewart, K.C. Tewari, J. Chem. Phys., 45, 4049 (1966).
- 31. И.А. Коппель, У.Х. Мёльдер. Реакц. способн. орган. соелин.. 20, 3(1983).
- 32. И.А.Коппель. Реакц. способн. орган. соедин. ,24, 261(1987).
- 33. J.E. Wertz, J. Chem. Phys., 24, 484 (1956).
- 34. J.E. Wertz, O. Jardetsky, J. Chem. Phys., 25, 357 (1956).
- 35. R.A. Ogg, J.D. Ray, J. Chem. Phys., 26, 1339 (1957).
- 36. L.P. Hammett, Physical Organic Chemistry, McGraw-Hill Book Co., New York, 1970.
- 37. T.R. Stengle, Y.-C.E. Pan, J. Am. Chem. Soc., <u>94</u>, 9037 (1972).

УДК 541.6 - 541.127/.128.1

КИСЛОТНОСТЬ НЕКОТОРЫХ КАРБОНОВЫХ КИСЛОТ В ДМСО

И.А. Коппель, D.В. Коппель, В.О. Пихл Кафедра аналитической химии и лаборатория химической кинетики и катализа Тартуского госуниверситета, 202400 Тарту, ЭССР

Поступило 19 января 1988 г.

В среде диметилсульфоксида потенциометрическим титрованием (титрант — $\mathrm{Bu_4NOH}$) определены величины pK_{a} ряда карбоновых кислот общей формулы XCOOH: X = $\mathrm{H}(\mathrm{pK}_{\mathrm{a}}=10.45)$, Me(12.4), t- $\mathrm{Bu}(12.9)$, $\mathrm{CHF_2}(6.51)$, $\mathrm{CF_3}(3.6)$, $\mathrm{CF_3CF_2}(3.2)$, $\mathrm{CF_3CF_2CF_2}(3.2)$, $\mathrm{CH_2CN}(8.2)$, $\mathrm{CHCl_2}(6.32)$, $\mathrm{HC} = \mathrm{C}(7.0)$, $\mathrm{CH_2=CHCH_2}(11.3)$, $\mathrm{CH_2Ph}(11.6)$, $\mathrm{CH_2OMe}(10.5)$, 1- $\mathrm{AdCH_2}(13.0)$, $\mathrm{CH_2Me_3^+}$ (6.2), (12.2), (12.9), (12.4), $\mathrm{C} = \mathrm{CCO_2^-}(9.4)$, $\mathrm{COOh}(6.32)$, $\mathrm{CO_2^-}(14.97)$, 3- $\mathrm{CF_3C_6H_4}(9.7)$, 3,5- $\mathrm{(CF_3)_2C_6H_3}(8.0)$

Полученные собственные результаты и литературные данные для ДМСО сравниваются с кислотностью соответствующих алифатических карбоновых кислот в газовой фазе и водном растворе. Установлено, что переход указанной реакционной серии из воды в ДМСО увеличивает ее чувствительность к эффектам заместителей около I.7 раз, в то время как переход из ДМСО в газовую фазу характеризуется лишь несколько большим (I.8 раза) увеличением чувствительнос-

ти реакционной серии к влиянию заместителей. Найдено, что в отличие от газовой фазы в среде ДМСО и $\rm H_2O$ кислотность алифатических карбоновых кислот практически не зависит от поляри—зуемости заместителя.

Влияние строения на кислотность различных алифатических и алициклических карбоновых кислот весьма подробно изучено в первую очередь в воде и водно-органических растворителях $^{\rm I}$. Недавно проведены также циклы работ по исследованию кислотности указанных классов соединений в газовой фазе $^{2-10}$. При этом на примере алифатических карбоновых кислот (замещенные уксусные кислоты) показано, что наряду с другими факторами строения, кислотность указанных кислот зависит также от поляризуемости заместителя $^{5-9}$, 11 , 12 , в то время, как кислотность 4-замещенных бицикло [2.2.2] —октан- 1 - и 4-замещенных бицикло [2.2.2] —октан- 1 - и 4-замещенных сериями бензойных кислот и фенолов не зависят от поляризуемости заместителя $^{7-9}$, 12

Хотя первые работы 13—16 по определению рк алифатических карбоновых кислот в ДМСО опубликованы уже около 20 лет тому назад, нельзя сказать, что имеющийся набор данных по величинам рк для этого класса соединений является достаточно систематичным и представительным (см. источник для ссылок и работы) Сказанное относится также к исследованию кислотности алициклических кислот в этом же растворителе, для которого измерены лишь рк серии 2,3— или 4—замещенных—адамантан—І-карбоновых кислот Ассоон. Напомним, что по аналогии с вышецитированными данными для двух рядов алициклических кислот, кислотность указанных производных адамантана в среде ДМСО также не зависит от поляризуемости заместителя в адамантановом ядре 23.

В настоящей работе в среде ДМСО измерены рка кислотной диссоциации главным образом некоторых алифатических кислот, а также алициклических карбоновых кислот, принадлежащих к реакционным сериям 4-замещенных-бицикло [2.2.2] -октен-І- и 4-замещенных-кубан-І-карбоновых кислот.

^{*} Величины рка для производных кислот указанных трех классов приводятся в отдельной публикации.

Экспериментальная часть

Реактивы. <u>ДМСО</u> очищали как описано ранее²³. Очистка <u>бензола</u> и <u>изопропилового спирта</u> также описана.

Раствор титранта $(C_4H_9)_4$ мон в смеси бензола и изо-- C_3H_7 ОН (4 : I), приготовлен по Денешу из $(C_4H_9)_4$ м окиси серебра в изо- C_3H_7 ОН и очищали пропусканием через колонку, заполненную анионитом амберлит IRA-400 ("Серва").

В большинстве случаях в качестве кислот, использованных для определения их pK_{a} применялись продажные, дополнительно очищенные реактивы. Производные бицикло [2.2.2] — октан—I— соон, бицикло [2.2.2] — октен—I—соон и кубан—I—соон получены от проф. Р.У. Тафта (Калифорнийский университет, г. Эрвайн), (СF $_{3}$) 2 СНСООН получен из лаборатории акад. И.Л. Кнунянца (ИНЭОС АН СССР).

При определении pK_a бетаина использовали титрование его гидрохлорида, а в случае $X = C = CCOO^-$ использовали натриевую соль.

Методика потенциометрических измерений. Для определения кислоты использовали потенциометрическую методику титрования кислоты раствором (${}^{\rm C}_4{}^{\rm H}_9$) ион в смеси (${}^{\rm C}_4{}^{\rm H}_9$) описанную детально в наших более ранних публикациях 23, 25.

Калибрование заполненного ртутью стеклянного электрода проводилось, используя в качестве опорных точек pK_a для бензойной кислоты (II.0) , 2,6-(NO₂)₂C₆H₃OH(4.9) и фенола (I7.I).

Наклон калибровочной прямой в координатах $p_aH ::= \log a_H + \log a_H +$

Как правило, в случае подавляющего числа изученных кислот соблюдается необходимая стехиметрия, характерная отщеплению одного или двух ((СООН)₂) протонов от карбоксильной группы кислоты. Иначе ведет себя (СF₃)₂снсоон, который в среде ДМСО, видимо, разлагается (выделяется белый дым). На кривой ее титрования (добавлялся I эквивалент Ви_4 МОН) наблюдаются два скачка электродного потенциала в районе pH = = IO+:I2 и pH = I6+:I9, соответственно, которые, очевидно, нежарактерны отрыву протона карбоксильной группы (CF $_3$) $_2$ СНСООН.

В водном растворе эта кислота, видимо, ведет себя нормально и добавлению одного эквивалента Bu_4 NOH соответствущей рк = 2.I+0.I (в литературе приводится величина 2.35).

Процедура вычисления величин рк подробно описана в работах 23, 25. Для каждой кислоты в среднем проведено 3—5 титрований; из средних величин индивидуальных измерений вычислялись средние арифметические значения рк приведенные в табл. І наряду с имеющимися литературными данными. В эту же таблицу включены и соответствующие характеристики кислотности указанных кислот в воде и газовой фазе 6—10. Для сравнения приведены и некоторые данные для замещенных бензойных кислот.

Обсуждение результатов

Переход какой-нибудь реакционной серии из газовой фазы в растворитель сопровождается неспецифической и (почти всегда) специфической сольватацией исходных реагентов и конечных продуктов на пути реакции за указанные сольватационные взаимодействия могут вызывать существенные изменения в строении и реакционной способности реагентов за 12, 27—30. Исключением не является также реакционная серия кислотной диссоциации алифатических карбоновых кислот, чувствительность которой к эффектам строения при переходе из газовой фазы в воду уменьшается весьма существенно 29, 29, 30. Что касается неспецифической сольватации, то в данном случае переход из газовой фазы в раствор должен привести к относительной стабилизации ионного (анионного) конечного состояния по сравнению с нейтральным диполярным исходным состоянием.

Специфическая нуклеофильная сольватация нейтральной кислоты молекулами воды должна стабилизировать исходное состояние (уменьшение кислотности кислоты), а специфическая электрофильная сольватация аниона — депротонированную фор-

му, что должно привести к увеличению кислотности кислоты. При этом удельный вес и интенсивность электрофильной сольватации аниона, как правило, существенно превышает 29; 27—31 вклад нуклеофильной стабилизации нейтральной формы кислоты.

Брутто-вклады специфической и неспецифической сольватационных взаимодействий оба действуют в одном направлении. Поскольку обычно сольватационная стабилизация ионного конечного состояния намного превосходит сольватационную стабилизацию нейтральной формы кислоты, то в конечном счете это приводит к сокращению ("сжатию") абсолютной газофазной шкалы кислотности кислот, а одновременно и к уменьшению чувствительности реакционной серии к эффектам строения 7—9, 27—31.

Как правило, переход из газовой фазы в диполярный апротонный растворитель ДМСО, который при большей поляризуемости 27 $n_{\rm D}^{25}$ (ДМСО) = I.4773, $n_{\rm D}^{25}({\rm H_2O})$ = I.3325) и меньшей полярности 27 (диэлектрическая проницаемость ξ (H₂O) = 78.2, ξ (ДМСО) = 46.4) растворителя обладает 27 по сравнению с водой большей нуклеофильной (В(H₂O) = 158, В (ДМСО) = 369) и меньшей электрофильной (Е(H₂O) = 2I.8; Е (ДМСО) = 3.2) сольватирующей способностью, приводит по сравнению с водным раствором к относительной дестабилизации конечного и, уступающей по своей интенсивности стабилизации исходного состояния 38 .

В результате этого следует ожидать, что замена воды или какого-нибудь водно-органического растворителя на ДМСО должно привести как к увеличению численных значений рка (уменьшение кислотности кислоты), так и к изменению (увеличению) чувствительности данной реакционной серии к эффектам строения.

Непосредственное сопоставление величин pK_a для реакции кислотной диссоциации алифатических карбоновых кислот (табл. I) для ДМСО и H_2O , с одной стороны (рис. I), и для

^{*} Не исключено, что по аналогии с ситуацией в случае маленьких и жестких анионов ^{I2}, ²⁹, ДМСО способен к электрофильной сольватации положительным концом своего диполя и карбоксилат-ионов.

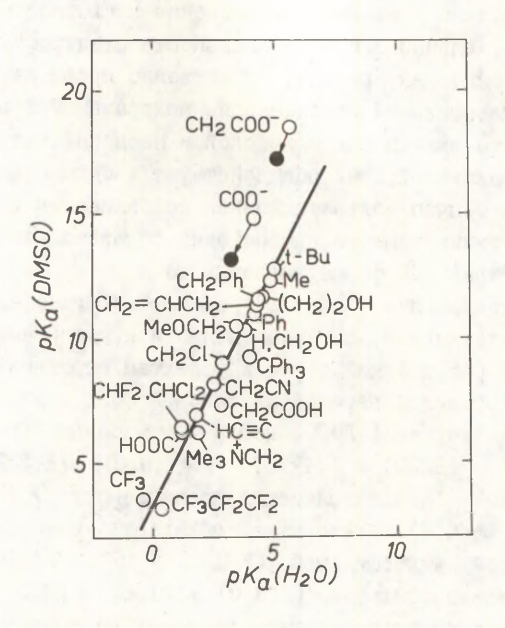


Рис. I. Сопоставление величин рк для кислотной диссоциации алифатических карбоновых кислот XCOOH в ДМСО и H₂O.

- электростатическая поправка не учтена.
- учтена поправка за счет электростатической дестабилизации дианионной формы кислоты или стабилизации цвитерионной формы бетаина.

 ${
m H}_2{
m O}$ и ДМСО и газовой фазы, с другой (рис. 2), полностью подтверждает вышесделанные выводы. Из рис. І видно, что в случае первой пары сред между соответствующими величинами ${
m pK}_a$ для ДМСО и ${
m H}_2{
m O}$ соблюдается удовлетворительная линейная зависимость с наклоном I.66±0.04, на которую, видимо, случайно попадают и точки для некоторых замещенных бензойных кисслот и с которой отклоняются, в первую очередь, лишь точки для ${
m pK}_a$ первой и второй ступеней диссоциации малоновой кисслоты и для ${
m pK}_a$ второй ступени диссоциации щавелевой кисло-

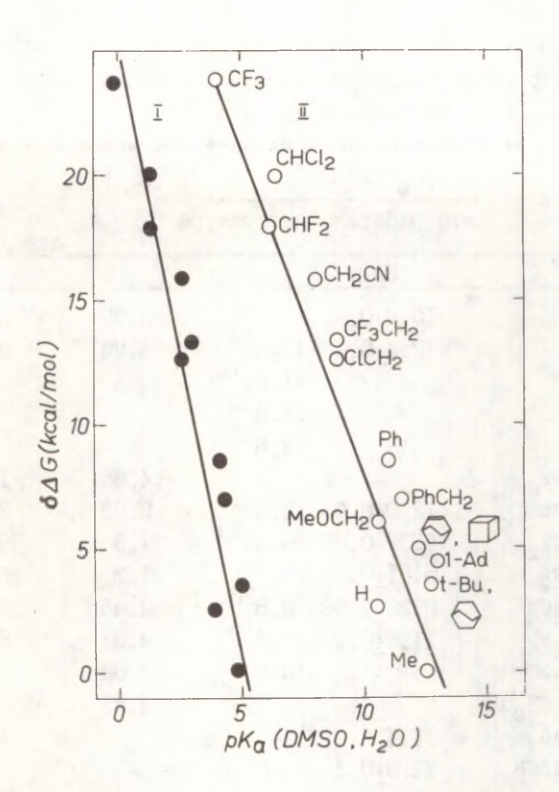


Рис. 2. Сопоставление относительной кислотности некоторых карбоновых кислот в газовой фазе с величинами кислотной диссоциации этих же кислот в $\rm H_2O$ (I) и ДМСО (П).

ты. В случае малоновой кислоты существенную роль может играть образование внутримолекулярной Н-связи 17, 18, 33, которое в случае моноанионной формы стабилизирует растворенную частицу и увеличивает силу кислоты в I ступени диссоцивации и уменьшает ее во 2-ой ступени диссоциации.

Надо учесть, что в случае вторых ступеней диссоциации щавелевой и малоновой кислот силу кислоты $pK_{a(2)}$ уменьшает также электростатическая дестабилизация конечного состояния, которая для водного раствора в случае (COO $^-$) $_2$ составляния,

Таблица I Кислотность некоторых карбоновых кислот XCOOH в ДМСО, воде и газовой фазе $^{+}$

NeNe		pKa (ДМСО)	pKa(H20)	-6∆G(ra-
пп	Х	эта работа	литератур	в.	зовая фаза) кал/моль 610
I	2	3	4	5	6
I.	Н	10,4+0.1	73	3.75	2.7
2.	Мө	12.4+0.I	II.6 ^{I4} II.4 ^{I9} II.4 ^{I3} I2.6 ^{I6}	4.75	0
3,	i-Fr	_	-	4.86	I.8
4.	t-Bu	12.9+0.05	12.3919	5.03	3.5
5.	CHCl2	6.32+0.05	6.3620	I.3	19.9
6.	CHF2	6.51+0.08	100	I.3	16.9
7.	CH_CN	8.20+0.08	8.520	2.46	16.0
8.	CH2Ph	II.6+0.I	II.610	4.3	6.9
9.	снон	1000	TO 260	3.82	-
IO.	CH2CH2OH	-	11.4720	4.51	-
II.	1-Ad	13.1 ²³	POL.	ten	4.4
12.	1-AdCH2	I3.0+0.I	-	-	_
13.	\Leftrightarrow	12.9+0.1	Res cycles	- ard Sandram	3.8
14.	\Diamond	I2.4+0.I	All San In	ranger san	5.0
I5.		12.2±0.1	and the state of t	Trongs	5.0
16.	CH ₂ OMe	10.5+0.1	note anything	3.53	6.0
17.	HC=C	7.0+0.I	-	I.84	marin a ardi
18.	CH2=CH-CH	2 II.30+0.05		4.35	-
19.	CF ₃	3.6±0.I	-	-0.3++0.5	23.8
20-	CF3CF2	3.2+0.I	46	-	-
21.	CF3CF2CF2	3.2+0.I	-	0.16	- 40.00
22.	CF3CH2	-	-	3.04	13.2

Продолжение таблицы І

I	2	3	4	5	6
23.	(CF ₃) ₂ CH	1-1-1-1		2.35 ²⁶	
	3,2			2.I+0.I*	
24.	c≡cço2	9.4+0.2	_	_	teats .
25.	Me 3NCH2	6.2+0.2	-	1.83	-
26.	CH2C1	TOP II THE PARTY	8.916	2.85	12.6
27.	СООН	6.32+0.05	6 210	1.27	-
28.	C00	14.97+0.07	TA OLO	4.3	-
29.	сн2соон		7.220	2.8	-
30.	CH2C00		T8 5520	5.7	-
31.	CMe ₂ Ph	METATE AND	II IIa		-
32.	CMePh ₂	2 No. 2 1/2 /	10.019	EL PART	-
33.	CPh ₃	101 7 12	9 50TA	3.96	
34.	GeMe 3	Die jemanne	TT TSL9	-	-
35.	СН(ОН)СООН		6 gev	_	1949
36.	CH(Br)CH2Br	17 1 1 1 1 mm	7. T3CU	-	-
37.	CH(OH)COO	Part - N	16.7		-
38.	Ph	II.0	II.0I	4.20	6.8
39.	3-CF3C6H4	9.70+0.05	014 190	3.79	8.4
40.	3,5-(CF ₃) ₂ C ₆ H ₃	8.0 +0.I	-	4270	23.3
4I.	$3,5-(NO_2)_2C_6H_2$	Gard	7.4	2.8	
42.	2,4-(NO ₂)2C6H3	-	6.52	I.42	
43.	4-NO2C6H4	A PARTIE	8.9	3.4	
44.	2-NO ₂ C ₆ H ₄		8.18	2.17	
45.	4-NH2C6H4	-	12.7	4.87	

 $^{^+}$ В последней графе приведены относительные свободные энергии $\delta \Delta G$ (стандартное соединение – уксусная кислота), характеризующие кислотность соответствующих кислот в газовой фазе.

ж Эта работа.

ет -I единицы pK_{a} , а в случае $CH_{2}(COO^{-})_{2}$ -0.8 единицы pK_{a} . В случае ДМСО в качестве растворителя эти вклады должны быть ~ 1.7 (т.е. $\mathcal{E}(H_20)/\mathcal{E}$ (ДМСО) = 78/46) раза больше. т.е. соответственно -1.7 и -1.3 единицы рк. Однако даже введение этих воправок в сопоставляемые экспериментальные вначения рК, для этих кислот не устраняет отклонения точки для $pK_{a(2)}$ щавелевой кислоты примерно на 4.2 единицы $pK_{a(2)}$ от прямой линии на рис. І. Учет этой поправки для рк малоновой кислоты также существенно не меняет положение: отклонение точки для рК І-ой ступени диссоциации этой кислоты от прямой в координатах $pK_{a(DMCO)}^{-pK}a(H_{2O})$ с наклоном 1.66 более, чем в 2 раза меньше отклонения соответствующих величин рК дородия диссоциации нооссносоо от этой же прямой. Причины жаких отклонений трудно объяснимы. Можно, например, предположить, что слишком высокая для водного раствора по сравнению с ДМСО кислотность НООССОО и ноосси, соо обусловлена отсутствующей в случае ДМСО дополнительной (по сравнению с одноосновными кислотами) электрофильной стабилизацией пианионов щавелевой и малоновой кислот. Открытым в таком случае останется, однако, вопрос о причинах отклонения в случае сравнения величин $pK_{a(1)}$ точки для малоновой кислоты в сторону меньших кислотностей в воде и больших кислотнотностей в ДМСО.

Поэтому логичнее всего дополнительно к вышеупомянутой причине приходится, следуя Кольтгоффу с сотр. 17, 18 предположить, что внутримолекулярная водородная связь в моноанионе малоновой кислоты ощутимо проявляется лишь в таких неводных средах как ДМСО, месм и метанол, но практически не встречается в случае водной среды. Теперь сразу объясняется как "слишком" низкая кислотность малоновой кислоты в воде и чрезмерно высокая кислотность ее в ДМСО, так и аномально низкая кислотность соответствующего моноаниона в ДМСО и слишком высокая кислотность его в водном растворе.

Что касается сравнения pK_a бетаина в ДМСО и H_2O , то можно отметить, что введение в экспериментально измеренные

Внутримолекулярная Н-связь должна в данном случае увеличивать силу кислоты.

бетаина в этих растворителях соответствующей электростатической поправки 33 за счет экстра-стабилизации цвиттер--ионной депротонированной формы (т.е. самого бетаина) кислоть уменьшает отклонение соответствующей точки от общей прямой на рис. I в координатах рКа(DMCO) - рКа(H₂O)

По сравнению с переходом из воды в диполярный апротонный растворитель ДМСО, переход из воды в водноорганические смеси или протоно-донорные растворители (НСОМН, НО(СН,), ОН и Т.Д. характеризуется относительным постоянством сольватирующих свойств среды 27, что должно привести к близкой с водой чувствительности реакционной серии к влиянию строения кислоты. Действительно, как показывает соответствующая проверка 7, 8, II, 30-33, об этом свидетельствуют достаточно однозначно и величины ρ^* Тафта для различных растворителей, доноров водородной связи.

Как было показано выше, переход из воды в ДМСО увеличивает в 1,66 раза чувствительность реакционной серии кислотной диссоциации алифатических карбоновых кислот к эффектам строения. Статистический анализ показывает (см. также рис. 2). что только несколько больше, в 1.8010.17 раза увеличивается чувствительность этой же серии к влиянию заместителей при переходе из ДМСО в газовую фазу. При этом видно, что это сопровождает ряд инверсий привычного для водной или водноорганической среды и ДМСО порядка кислотности некоторых кислот. Так, из-за существенного вклада поляризационных взаимодействий в брутто-эффект заместителей в газовой фазе⁵, 7—9,11,12 кислоты, содержащие объемистые, высокополяризуемые заместители (пивалиновая кислота (Piv), бицикло [2.2.2] -октан-I--COOH (Oct), бицикло [2.2.2] -октен-I-COOH (Octe), адаманжн-I-COOH(Ad), кубан-I-COOH(Cub) и др. 1. по своей силе превосходят муравьиную и уксусную кислоты Действительно, ранее, 8, II, I2, 32, в рамках подхода,

83 11*

^{*} Для водного раствора указанная поправка составляет 0,88 единицы рка, а для ДМСО I,5 единицы рка.
† При этом, в водном этаноле и ДМСО сила кислоты убывает в порядке: AcOH > Cub > Piv > Oct > Ad , а в газовой фазе 7—10 Cub ≈ Octe > Ad > Piv > Oct > AcOH.

$$A = a_0 + a_1 \sum \delta^{R} + a_2 \sum \Delta R + a_3 \sum \delta_R^0 + a_4 n_1 + a_5 \triangle n_2$$
, (1)

где A — измеряемая величина (газофазная основность, потенциал ионизации, pK_{a} и т.д.), a_{o} , a_{1} , a_{2} , a_{3} , a_{4} и a_{5} — постоянные реакционной серии, $\sum 6^{\infty}$ и $\sum 6^{\infty}_{R}$ — суммы индукционных и резонансных постоянных заместителей, находящихся у реакционного центра, $\triangle R = MR$ — MR (метил) — где MR — вычисленная аддитивная молекулярная рефракция заместителя, служившая приближенной количественной характеристикой поляризуемости последнего; n_{1} и $\triangle n_{2} = n_{2}$ метил — числа атомов водорода, связанных непосредственно или в ∞ —положении к центру реакции.

показано, что в газовой фазе брутто-эффект алкильного заместителя определяется в первую очередь именно его поляризуемостью. Этот вывод был недавно подтвержден также в рамках другого подхода⁵, 9, использующего разделение эффектов строения на полевые, поляризационные и резонансные:

$$\delta \Delta G = a + b \delta_{\mathbf{F}} + c \delta_{\mathbf{A}} + d \delta_{\mathbf{R}} , \qquad (2)$$

где a, b, c и d — постоянные, σ_F , σ_C и σ_R — соответственно полевые, поляризационные и резонансные постоянные заместителей, $\sigma rac{1}{2} = 0$ измеряемая величина (напр., относительная газофазная кислотность или основность).

Соответствующая статистическая проверка показывает (см. также 7, 8, II, I2), что уравнение (I) или его частные варианти применимы также к величинам р^K₈ кислотной диссоциации карбоновых кислот. Следует, однако, признать, что удельный вес поляризационного эффекта заместителя для этой серии в во водной среде намного ниже, чем в случае газовой фазы (см. табл. 2). По данным табл. 2, в случае ДМСО вкладом этого члена вообще можно пренебречь. Видно, что величина а также весьма существенно падает при переходе из газовой фазы в воду или в ДМСО. Тем не менее, индукционный эффект является фактором строения, который в основном определяет изменение

кислотности алифатических кислот со строением в среде ДМСО

и Но0.

Ранее нами показано ^{I2}, ²⁹, что такое падение величин а₁ и а₂ не противоречит модельным представлениям, которые визуализируют индукционный эффект заместителя как взаимодействие типа ион-диполь или диполь-диполь, а поляризационный эффект через взаимодействия типа ион — индуцированный диполь.

В заключение следует сказать несколько слов об оценке величины pK_a пока не наблюдаемой в свободном виде перфторпивалиновой кислоть, (CF3) 3 ссоон. В связи с этой проблемой представляет также интерес следить за некоторыми закономерностями, характерными эффекту накопления атомов фтора или CF_3 — групп в непосредственной близости к центру кислотности в случае нескольких реакционных серий (кислотная диссоциация алифатических карбоновых кислот, CH-кислот и спиртов).

Так, на основе данных по последовательному замещению атомов водорода в уксусной кислоте на ${\rm CF}_3$ - группу и атом фтора (см. табл. 3 и 4) видно, что указанные эффекты строения являются неаддитивными, причем наибольшее изменение величин ${\rm pK}_{\rm a}$ или $\Delta {\rm G}$ обусловлено именно введением первого заместителя вместо атома водорода. Судя по табл. 3—5, эффекты последовательного введения второго или третьего атома ${\rm F}$ или ${\rm CF}_3$ -группы примерно равны и составляют 60—70% от инкремента, характеризующего введение первого заместителя вместо атома водорода.

На основе вышесказанного, можно предсказать для $(CF_3)_3CCOOH$ в водном растворе величину pK_a в пределах от 1.2 до 1.6 (см. табл. 4)⁺.

⁺ Расчет величины pK_a или $\delta \triangle G$ для этой кислоты на основе приведенных в табл. 2 корреляционных уравнений вряд ли имеет смысл из—за большого разброса — констант (CF_3) $_3C$ — группы, предсказанных в литературе 34. Зв либо на основе Γ констант (Γ 0.24 Γ 0.24 Γ 0.25) этого заместителя, либо на основе Γ 0.26 константы (Γ 3) Γ 3. ССН Γ 4 группы.

Таблица 2 Результаты регрессионного анализа величин pK_a для H_2O и ДМСО и газофазной кислотности алифатических карбоновых кислот XCOOH согласно уравнению (I) и его частным вариантам $^+$

III	Среда		ao	a ₁	a ₂	a ₃	a.4	a ₅	R	g	Dmax	n
Ι	22		3	4	5	6_	7	88	9	10	_II_	_I2_
Ι. Γε	азовая фаза	a	0.9 (0.7)	9.26 (0.69)	0.208 (0.04I)	-I0.53 (6.45)	0	0	0.975	1.5	23.8	18
		б	(8.0)	8.56 (0.52)	0.194 (0.045)	-	-0		0.975	1.7	23.8	19
		В	4.5 (0.5)	7.19 (0.50)	-	-	-	-	0.966	1.9	23.8	17
2. ДМСО	ICO	a	I2.20 (0.16)	-2.85 (0.I2)	0	-1.12 (1.06)	0	0.202 (0.070)	0.993	0.30	9.5	20
		б	II.96 (0.10)	-2.97 (0.09)	0	-		3-1	0.987	0.42	9.5	21
3. H	20	a	4.75 (0.08)	-1.68 (0.06)	0.010 (0.003)	0	0.299 (0.197)	0.144 (0.05)	0.993	0.16	5.4	20
		б	4.65 (0.09)	-1.77 (0.07)	0.008 (0.003)	-	-	-	0.988	0.23	5.4	21
		В	4.67	-I.83	-	-	-	-	0.995	0.14	5.4	17

* а_о, а₁, а₂, а₃, а₄ и а₅ — см. текст. В табл. под коэффициентами а₁ приведены их доверительные пределы. В — коэффициент корреляции, в — стандартное отклонение, р_{мах} — максимальный диапазон изменения исследуемой величины, в — число точек в выборке. Нулевое значение коэффициента а₁ обозначает, что вкладом данного фактора строения можно пренебречь, тире в таблице означает, что соответствующий фактор был при корреляционной обработке данных исключен с самого начала.

Для газовой фазы повсюду использованы ккал/моль единицы, для ДМСО и ${
m H}_2{
m O}$ — ${
m pK}_{
m a}$ —единицы.

 \mathbb{C}^* и \mathbb{C}^0_R константы взяты из источников \mathbb{C}^{28} , \mathbb{C}^{33-35} . Для фторзамещенных заместителей \mathbb{C}^{6} с \mathbb{C}^{6} , \mathbb{C}^{6} с \mathbb{C}^{6} , \mathbb{C}^{6} с \mathbb{C}^{6} , \mathbb{C}^{6} гезоправовались (в отличие от работ, \mathbb{C}^{6} , \mathbb{C}^{6}) неаддитивные ("экспериментальные") значения \mathbb{C}^{6} . Программа для регрессионного анализа написана проф. В.А. Пальмом и в общих чертах описана в работе \mathbb{C}^{6} . Коррелируемые величины (\mathbb{C}^{6} или \mathbb{C}^{6}) взяты из табл. \mathbb{C}^{6}

Среда		сн3соон		FCH2COOH	-	F ₂ CHCOOH		от₃соон
Газовая фаза	ΔG δΔG	341.1	9.8	331.3	7.5	323.8	6.5	316.3 31
дмсо	pK _a △pK _a	12.4	3.5	(8.9) ⁶	2.7	6.2	2.6	3.6
H ₂ 0	pK _a △ pK _a	4.75	2.15	2.6	1.4	1.2	1.2	0.±0.4

а — Величины ΔG (ккал/модь) для газовой фазы взяты из $^{6-10}$, значения pK_a взяты из табл. І или из источников 1 , 37 .

б -- Использовано значение рк для С1СН2СООН.

Эффекты последовательного замещения атомов водорода в $\mathrm{CH_3COOH}$ на $\mathrm{CF_3}$ -группу в случае кислотной диссоциации некоторых алифатических карбоновых кислот в водной среде $(\triangle \mathrm{pK_a})$ и газовой фазе $(\emptyset \triangle \mathrm{G})^{\mathrm{a}}$

Среда		сн3соон		CF ₃ CH ₂ COOH	-	(CF ₃) ₂ CHC00	H (CF ₃) ₃ CCOOH
H ₂ 0	pK _a △ pK _a	4.75		3.00		2.35 ²⁶ 2.1 ⁶		(1.4+0.2)B
	ΔG		1.75		0.8+0.I	41	$(0.8)^{B}$	
Газовая	8DG	34I.I		327.7		-		-
фаза			13.4		-		-	

а — Величины \triangle С (ккал/моль) взяты из 6 —10, значения рк для 1 0 из 1 .

б - Эта работа.

в — Грубая оценка, эта работа. Для pK_a (СF₃)₂СНСООН использовано среднее значение 2.240.2, инкремент ΔpK_a принят равным 0.8.

Эффекты последовательного замещения CH_3 -групп в $(\text{CH}_3^{\text{CO}})_2\text{CH}_2$ на CF_3 -группы в случае реакционнной серии кислотной диссоциации производных ацетилацетона в воде, ДМСО (\triangle pK_a) и газовой фазе $(\delta \triangle \text{G})^a$.

Среда		(CH ₃ CO) ₂ CH ₂ -	-	CH3COCH2COCF3		- (CF ₃ CO) ₂ CH ₂
H ₂ 0	pKa	9.0		6.8		5.4
1 550 550	△ pKa		2.2		1.4	
дмсо	pKa	13.0		6.30		2.26
	△ pK _a		6.7		4.I	
Газовая	$\triangle G$	336.7		322.0		(Common of
фаза	OAG		14.7		0.000	44.20.03

а — Величины \triangle С (в ккал/моль) взяты из $^{6-10}$, значения рк для 12 0 и ДМСО из 37 0 с 37 0 от работа. Более подробное представление результатов будет дано в отдельной

б — Эта работа. Более подробное представление результатов будет дано в отдельной публикации.

Эффекты последовательного замещения атомов водорода в CH_3OH на CF_3 -группы в газовой фазе ($\text{б}\Delta\text{G}$), ДМСО и воде ($\text{\Delta}\text{pK}_{\text{g}}$) в случае реакционной серии кислотной диссоциации алифатических спиртов

Среда		снзон -		CF ₃ CH ₂ OH	-	(CF ₃) ₂ CHO	н	→(CF ₃) ₃ COH
Газовая фаза	ΔG δΔG	374.0	19.9 ¹⁰ 15.9 ²⁸	3 54.I	I5.8	338.3	14.3	324.0
дмсо	pK _a	28.9	6.1	22.8	6.8	16.07	5.6	10.4
H ₂ 0	pK _a △ pK _a	15.5	3.2	12.3	2.9	9,2	3.8	5.4

а — Величины Δ G (ккал/моль) взяты из источников 6—10, а величины $p_{\rm K}$ для ДМСО и ${\rm H_2O}$ — из источников $^{\rm I}$, $^{\rm 7}$, $^{\rm 25}$

Несмотря на некоторую противоречивость данных, следует заметить, что в случае реакционной серии кислотной диссоциации алифатических фторзамещенных спиртов эффекты строения, скорее всего, близки к аддитивным (см. табл. 6 и работъть, 28, 34, 39).

Литература

- I, Таблицы констант скорости и равновесия гетеролитических органических реакций. В.А. Пальм (ред.), т. I(I), доп. том I(I—2), Москва-Тарту, ВИНИТИ. Изд-во ТГУ, 1975, 1986 гг.
- 2. J.B. Cumming and P. Kebarle, Can. J. Chem., 56, 1 (1978).
- 3. M.J. Locke and R.T. McIver, Jr., J. Am. Chem. Soc., 105, 4226(1983).
- 4. M. Fujio, R.T. McIver, Jr., and R.W. Taft, J. Am. Chem. Soc., 103, 4017 (1981).
- C. Jinfeng, R.D. Topsom, A.D. Headley, I.A. Koppel, M. Mishima, R.W. Taft and S. Veji, J. Mol. Struct. (Theochem.), in press.
- I.A. Koppel and R.W. Taft, University of California, Irvine, CA. 92717, 1982.
- 7. И.А. Коппель. Докт. дисс., ИХФ АН СССР, Москва, 1986.
- 8. И.А. Коппель, У.Х. Мёльдер, Р.Й. Пиквер. Кислотность и основность молекул в газовой фазе. Количественные аспекты. Гл. 5 в книге О.С. Чижов (ред.). Ионно-молекулярные реакции органических соединений в газовой фазе, г. Уфа, 1988.
- 9. R.W. Taft and R.D. Topsom, Progr. Phys. Org. Chem., 16, I (1987).
- IO. J.W. Bartmess, The 1987 Gas Phase Acidity Table, University of Tennessee, Knoxville, TN 37996-1600.
- II. И.А. Коппель, М.М. Карельсон. Реакц. способн. орган. соедин., II, 985 (1975).
- 12. а) И.А. Коппель, У.Х. Мёльдер, там же, 20, 3 (1983).
 - б) И.А. Коппель, У.Х. Мёльдер, Р.Й. Пиквер, там же, 18, 366 (1981).
- 13. I.M. Kolthoff, T.B. Reddy, Inorg. Chem., 1, 189 (1982).
- I4. C.D. Ritchie, R.E. Uschold, J. Am. Chem. Soc., 89, 1721 (1967).

- I5. I,M. Kolthoff, M.K. Chantooni, and S. Bhowmik, J. Am. Chem., Soc., 90, 23 (1968).
- I6. J. Courtot-Coupez and M. LeDemezet, Bull. Soc. Chim. France, 1969. 1033.
- 17. M.K. Chantooni and I.M. Kolthoff, J. Phys. Chem. <u>79</u>, 1176 (1975).
- I8. I.M. Kolthoff and M.K. Chantooni, J. Am. Chem. Soc., 98, 7465 (1976).
- I9. O.W. Steward, J.E. Dziedzic, J.S. Jolinson, and J.O. Frohliger, J. Org. Chem., 36, 3480 (1971).
- 20. I.M. Kolthoff and M.K. Chantooni, J. Am. Chem. Soc. , 98, 5063 (1976).
- Б.А. Королев, Т.В. Левандовская, М.В. Горелик, ЖОХ, 48, 157 (1978).
- 22. Н.Г. Фалеев. Диссертация, ИНЭОС АН СССР, 1971.
- 23. И.А. Коппель, Л.А. Морецкая, В.И. Лантвоев, D.Б. Коппель, В.О. Пихл. Реакц. способн. орган. соедин., 20, 498 (1983).
- 24. И. Денеш. Титрование в неводных средах. М., 1971.
- 25. И.А. Коппель, Л.А. Морецкая, D.Б. Коппель, В.О. Пихл. Реакц. способн. орган. соедин., <u>14</u>, 86 (**1977**).
- 26. D.C. England and C.G. Krespan, J. Am. Chem. Soc., 88, 5585 (1966).
- 27. I.A. Koppel and V.A. Palm, N.B. Chapman, J. Shorter (Eds.), Advances in LFER, Plenum, New York, 1972, Ch. 5.
- 28. R.W. Taft, Progr. Phys. Org. Chem., 14, 248 (1983).
- 29. И.А. Коппель. Реакц. способн. орган. соедин., 24, 261 (1987).
- 30. К.М. Дюмаев, Б.А. Королев. Успехи химии, 49, 2065 (1980).
- 31. И.А. Коппель, Р.Й. Пиквер, Л.Ю. Сюгис, Э.Р. Суурмаа, Э.Т. Липпмаа, там же, 18, 5 (1981).
- 32. I.A. Koppel and U.H. Mölder, QSAR and Strategies in the Design of Bioactive Compounds, J. K. Seydel (Ed.), Weinheim, VCH, 1984, c. 28I.
- 33. И.А. Коппель, М.М. Карельсон, В.А. Пальм. Реакц. способн. орган. соедин., II, 99 (1974).
- В.А. Пальм. Основы количественной теории органических реакций. Химия. Лен., 1977.

- 35. Ю.А. Жданов, В.И. Минкин. Корреляционный анализ в органической химии. Изд-во РГУ, Ростов-на-Дону, 1966.
- 36. А.У. Ури, А.В. Туулметс, В.А. Пальм. Реакц. способн. орган. соедин., 20, II7 (1983).
- 37. Таблицы констант скорости и равновесия гетеролитических органических реакций. В.А. Пальм (ред.), т. 2(1), доп. том I(3—5). Москва-Тарту, ВИНИТИ. Изд-во ТГУ, 1976, 1986.
- 38. Л.М. Ягупольский, А.Я. Ильченко, Н.В. Кондратенко. Усп. хим., 43, 64 (1974).
- 39. И.А. Кнунянц, Б.Л. Дяткин. Изв. АН СССР, серия химическая, <u>5</u>, 923 (1964).

Реакц. способн. орган. соедин., том 25, вып. I(89), I988.

УДК 541.12.038.2 + 543.42.45

ХИМИЧЕСКИЕ СДВИГИ ГИДРОКСИЛЬНОГО ПРОТОНА В БИНАРНЫХ СМЕСЯХ АЦЕТОНИТРИЛА СО СПИРТАМИ

В.А. Эйбер, Ю.Б. Коппель, И.А. Коппель
Лаборатория химической кинетики и катализа и кафедра
аналитической химии Тартуского госуниверситета, 202400
Тарту, Эст. ССР

Поступило 12 января 1988 г.

Измврены химические сдвиги протона ОН-группы спирта в бинарных смесях ацетонитрил— ROH (где R = Me, Et, 1-Pr, t-Bu, (СГ₃)₂СН и (СГ₃)₃С) в интервале варьирования молярной доли спирта О.1 ≤ N_{ROH} ≤ 1.0. Найдено, что увеличение концентрации алкилзамещенных спиртов вызывает сдвиг резонанса ^IН в сторону более слабого поля. Установлено, что во всех указанных системах химический сдвиг протона ОН-группы изменяется монотонно, в зависимости от состава бинарного растворителя. Изучены отклонения химических сдвигов от величин, предсказанных на основе их молярно-дольной аддитивности. Для систем ацетонитрил— ROH максимальные значения отклонения от аддитивности относятся к N_{ROH} ≈ 0.4:0.5.

Установлено, что в отличие от алкилзамещенных спиртов в случае спиртов с сильноэлектроотрицательными заместителями имеет место сдвиг резонанса $^{\rm I}{\rm H}$ в сторону более сильного поля.

Ранее, при изучении влияния бинарных смесей диполярно-

го апротонного растворителя гидроксилсодержащими средами (спирты) на некоторые химические (напр., \log к сольволиза алкилгалогенидов) и спектроскопические характеристики($E_{\rm T}$ -параметры Димрота-Рейхардта) растворенного вещества было найдено $^{\rm I}$, что иногда зависимости типа свойство-состав бинарного растворителя характеризуются ярко-выраженными экстремальными точками.

С другой стороны, в отличие от сказанного, прямое изучение концентрационной зависимости такого свойства растворителя как химического сдвига протона ОН-группы спиртов в их бинарных смесях с некоторыми апротонными растворителями (ДМСО, ацетон и др.) показывает^{3, 4}, что экстремумы на графиках свойство-состав наблюдаются скорее всего как редкие исключения из общего правила. Для дальнейшего изучения указанной проблемы нами в настоящей работе исследована зависимость химических сдвигов протона ОН-группы спирта от варьирования молярной доли последнего в бинарных смесях с ацетонитрилом.

В частности, с целью изучения влияния электронного строения спирта на химические сдвиги ОН-протона при большом разбавлении спирта, измерены также химические сдвиги ОН-протона двух фторсодержащих спиртов, $(CF_3)_3$ COH и $(CF_3)_2$ CHOH.

Экспериментальная часть

Ацетонитрил и алифатические спирты очищались и обезвоживались по стандартным методикам 5, 6. (CF₃)₂CHOH (Aldrich) и (CF)₃COH(PCR) использовались без дополнительной очистки. Спектры протонного магнитного резонанса изучаемых систем сняты при комнатной температуре на спектрометре TESLA BS 487 В при рабочей частоте 80 МГц относительно внутреннего эталона — тетраметилсилана. Результаты измерений приведены в табл. І и 2.

Таблица I Химические сдвиги $_{\rm OH}$ (в м.д.) протона ОН-группы спирта в его бинарных смесях с ацетонитрилом

M	leOH	Et	ОН	i-Pr	ЭН	t-Bu	ОН
N _{ROH}	бон	N _{ROH}	бон	N _{ROH}	бон	N _{ROH}	δ_{DH}
0.113	2.64	0.096	2.89	0.118	2.98	0.099	2.74
0.204	3.03	0.189	3.31	0.189	3.26	0.203	3.06
0.301	3.33	0.279	3.61	0.329	3.71	0.315	3.34
0.434	3.75	0.401	4.01	0.407	3.93	0.518	3.78
0.535	3.99	0.481	4.21	0.517	4.21	0.581	3.91
0.616	4.16	0.606	4.50	0.720	4.63	0.655	4.06
0.682	4.31	0.678	4.66	0.838	4.85	0.776	4.31
0.801	4.54	0.773	4.88	0.908	5.01	0.883	4.53
0.888	4.71	0.871	5.08	1.0	5.26	I.0	4.73
1.0	4.85	I.0	5.38				

Таблица 2

Химические сдвиги δ_{OH} (в м.д.) и ширина линии $\Delta V_{1/2}$ (в Γ ц) на полувысоте протона ОН-группы фторсодержащего спирта в бинарных смесях с ацетонитрилом

	(CF ₃) ₂ CE	ЮН		(CF ₃) ₃ COF	
N _{ROH}	бон	ΔV1/2	NROH	он	Δ√1/2
0.18	5.45	55	0.1	8.2	ar as tool with
0.324 I.0	5.24	44 I5	1.0	4.18	42

Обсуждение результатов

На рис. I изображена концентрационная зависимость химических сдвигов алифатических алкилзамещенных и фторсодержащих спиртов в их смесях с ацетонитрилом. Как видно в случае всех алкилзамещенных спиртов, химический сдвиг про-

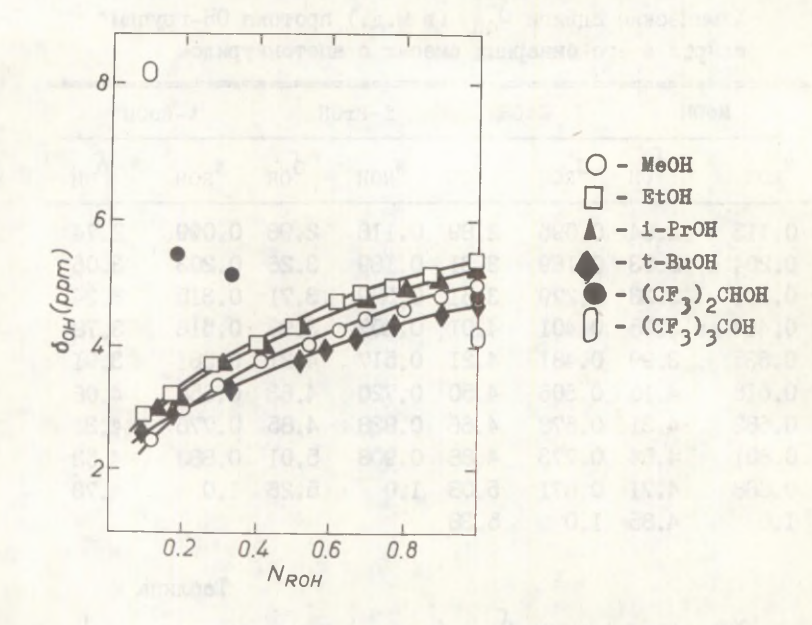


Рис. I. Зависимость химических сдвигов δ_{CH} протона ОН-группы спирта от молярной доли $\mathrm{N}_{\mathrm{ROH}}$ последнего в бинарных смесях ацетонитрил-спирт.

тона ОН-группы изменяется монотонно и уменьшается с увеличением содержания ацетонитрила, т.е. имеет место сдвиг в сторону более слабого поля. Это вновь подтверждает вывод³, что гетероассоциация типа спирт-основание ведет к сдвигу сигнала гидроксильного протона алифатического алкилзамещенного спирта в сторону более сильного поля, в то время как самоассоциация вызывает сдвиг резонанса в обратную сторону.

Во всех ранее изученных системах (где апротонная компонента растворителя — ДМСО, ацетон, триэтиламин, диметилформамид или пиридин) и в ацетонитриле химические сдвиги ОН-протона при концентрации $N_{\rm ROH}$ = 0.1 увеличиваются в

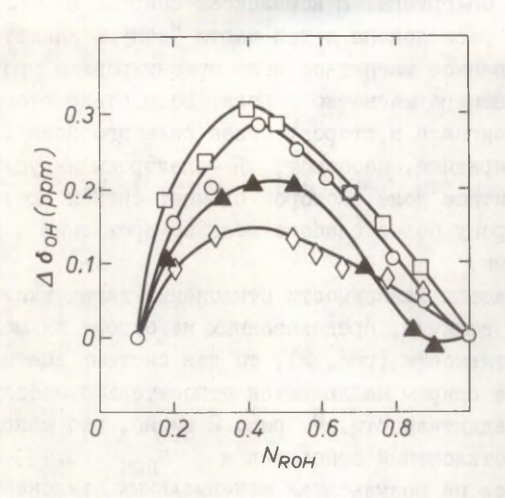


Рис. 2. Отклонения $\Delta \sigma_{OH}$ химических сдвигов протона ОНгруппы спирта в бинарных смесях спирт-ацетонитрил от значений, предсказанных на основе их молярнодольной аддитивности. Обозначения точек см. на рис. I.

ряду $\delta_{\text{MeOH}} < \delta_{\text{t-BuOH}} < \delta_{\text{i-PrOH}} < \delta_{\text{EtOH}}$. Сравнение величин химических сдвигов протона ОН-группы спирта в среде различных бинарных растворителей при концентрации $N_{\text{ROH}} = 0.1$ показывает, что в системе ацетонитрил-спирт указанные химические сдвиги ОН-протона находятся в более сильном поле, чем в указанных выше растворителях. Например, химические сдвиги протона ОН-группы метанола при зафиксированной молярной доли спирта $N_{\text{ROH}} = 0.1$ изменяются следующим образом:

Растворитель сн₃см апетон триэтиламин ДМСО ДМФ пиридин хим.сдвиг (м.д.) 2.59 3.46 3.54 4.09 4.13 5.49 Этот факт, видимо, объясняется влиянием магнитной анизотропии тройной С≡и связи ацетонитрила на резонансную частоту протона ОН-группы. В комплексах спиртов с меси протоны ОН-группы расположены в той части "конуса анизотропии",
где индуцированное магнитное поле ориентировано против направления внешнего магнитного поля. Вследствие этого имеет
место сдвиг сигнала в сторону более сильного поля. В свою
очередь, в пиридине, наоборот, ∏-электроны индуцируют локальное магнитное поле, которое сдвинет сигнал протона ОНгруппы в сторону более слабого поля по сравнению с другими
растворителями.

Что касается зависимости отклонений химических сдвигов $\Delta \sigma_{OH}$ от величин, предсказанных на основе их молярнодольной аддитивности (рис. 2), то для систем ацетонитрилалифатические спирты наблюдаются относительно небольшие отклонения от аддитивности. Из рис. 2 видно, что максимальные значения отклонений относятся к $N_{ROH} = 0.4 \ \frac{1}{10.5} \ 0.5$

Базируясь на результатах максимальных отклонений от аддитивности, можно изученные нами растворители разделить на две части. Для бинарных систем спиртов с ДМСО и ДМФ максимальные значения отклонений относятся к концентрации, где на одну молекулу растворителя приходится около 2 молекул спирта.

В отличие от этих систем смесям спиртов с триэтиламином, пиридином и ацетонитрилом характерно появление максимальных отклонений от аддитивности при эквимолярном соотношении основания и спирта. Для системы ацетон-спирт зависимость химических сдвигов от $N_{\rm ROH}$ является практически линейной.

Относительно слабо меняются химические сдвиги OH-протона алифатических алкилзамещенных спиртов при изменении природы радикала R. Так, в системе ацетонитрил-спирт при $N_{ROH} = 0.1$ переход от $M_{ROH} = 0.1$ переход от $M_{ROH} = 0.3$ м.д.

В случае смесей ацетонитрила с фторсодержащими спиртами можно предполагать, что поведение указанных спиртов в ацетонитриле напоминает ситуацию в случае с ранее изученными растворителями. На основе имеющегося эксперименталь—

ного материала можно охарактеризовать системы фторсодержащий спирт-апротонный растворитель следующим образом:

- а) Фторсодержащие спирты и алифатические алкилзамещенные спирты имеют противоположные концентрационные зависимости. Другими словами, увеличение концентрации растворителя вызывает сдвиг сигнала ОН-протона фторсодержащего спирта в сторону более слабого поля.
- б) Повышение электроотрицательности радикала R ведет к значительному повышению химического сдвига ОН-протона при более низких молярных долях спирта.
- в) Линия, соответствующая резонансу протона ОН-группы фторсодержащего сгирта, расширяется при изменении $^{N}_{ROH}$. Ширина линии $\Delta \sqrt[]{_{1/2}}$ становится максимальной при сопоставимых концентрациях бинарного комплекса и свободной молекулы спирта. Это, по-видимому, значит, что ширина линии определяется процессом разрыва водородной связи и ее повторного образования 8 .

Литература

- I. a) И.А. Коппель, этот журнал, 2, 169 (1965).
 - б) И.А. Коппель, **D.**Б. Коппель. Этот журнал, <u>20</u>, 523 (1983).
- Z.B. Maksimovic, C. Reichardt, A. Spiric, Z. Anal. Chem., 270, 100 (1974).
- 3. И.А. Коппель, В.А. Эйбер, У.Х. Мёльдер. Этот журнал, <u>21</u>, 47 (1984).
- 4. В.А. Эйбер, И.А. Коппель, D.Б. Коппель. Этот журнал, 24, 396 (1987).
- А. Вайсбергер, Э. Проскауер, Дж. Риддак, Э. Тупс. Органические растворители. М., Издатинлит, 1958.
- 6. А. Гордон, Р. Форд, Спутник химика. Мир. М., 1976.
- D.G. Farnum, C.F. Wilcox, J. Am. Chem. Soc., <u>89</u>, 5379 (1967).
- 8. Н.С. Голубев, Г.Д. Коломийцева, С.И. Маликов, Д.Н. Щепкин. Теоретическая спектроскопия. М., 1977, с. 78.

УДК 547.293-39: 543.92

ВЛИЯНИЕ РАСТВОРИТЕЛЕЙ НА СКОРОСТЬ РЕАКЦИИ ТЕРМИЧЕСКОГО РАЗЛОЖЕНИЯ НАДПРОПИОНОВОЙ КИСЛОТЫ

0.Я. Яворская, И.М. Романюк, А.В. Мисяйло, Н.В. Луцик Бориславский филиал Государственного научно-исследовательского и проектного института клорной промышленности, Борислав

Поступило 7 апреля 1988 г.

Определены константы скорости реакции термического распада надпропионовой кислоты в ряде растворителей в интервале температур 313-353 К. Показано, что скорость распада пероксида удовлетворительно описывается двухпараметровым уравнением регрессии, учитывающим основность и поляризуемость среды.

Надпропионовая кислота, как и другие органические пероксиды, характеризуется термической неустойчивостью, что ухудшает селективность жидкофазных реакций с ее участием. Из литературы известно, что скорость распада надкислот зависит от целого ряда факторов: нуклеофильности среды, материала реактора, начальной концентрации и др. Для выбора оптимального растворителя и оценки потерь активного кислорода за счет самопроизвольного разложения надпропионовой кислоты необходимы кинетические данные о скорости протекания этого процесса.

Опыты проводили в интервале температур 313-353 **К** в наиболее часто применяемых растворителях — хлорпроизводных метана, ароматических углеводородах и этилацетате. Разложение надпропионовой кислоты вели в запаянных пирексовых ампулах при термостатировании. Растворы надкислоты получали по методу², а ее концентрацию варьировали в пределах 0, I———I, I моль/л. Растворители подвергались очистке по известным методикам. За протеканием реакции разложения надкислоты следили по изменению ее концентрации: последнюю определяли иодометрическим титрованием. Решение линейных уравнений регрессии проводили на ЭВМ.

Термическое разложение надпропионовой кислоты протекает с измеримой скоростью при температуре выше 313 К и кривые ее расходования подчиняются кинетическому уравнению реакции первого порядка. Числовые значения констант скорости в исследованном интервале температур и активационные параметры процесса приведены в таблице. Точность определения констант составляет в среднем ±10%. Относительно низкие значения энергии активации и предэкспоненциального множителя указывают на то, что измеренные экспериментальные константы скорости распада надпропионовой кислоты являются эффективными, а сам процесс, по-видимому, протекает по сложному радикально-цепному механизму. Об этом, в частности, свидетельствует факт ингибирования реакции распада надкислот незначительными добавками фенолов, гидрохинона, пиколиновой кислоты⁵.

Из кинетических данных видно, что скорость разложения надпропионовой кислоты существенно зависит от растворителя и увеличивается в ряду ССІД-СН3СООС2Н5 более, чем на порядок. Для количественного определения чувствительности реакции к свойствам среды мы попытались установить зависимость между факторами, учитывающими как неспецифическую (полярность У и поляризуемость Р), так и специфическую (общие кислотность Е и основность В) сольватацию реагирующего вещества растворителем. Расчет проводили по методу четырехпараметровой корреляции Пальма и Коппеля⁶. Для расчета брали константы скорости реакции распада надпропионовой кислоты при 293 К, так как все постоянные растворителей приведены при этой температуре. Числовые значения характеристик растворителей (У, Р, В) приведены в монографии. В связи с отсутствием данных по параметру кислотности для каждого из исследуемых растворителей влияние этого фактора не учитывалось. Проведенные расчеты показывают, что общий коэффициент корреляции равен 0,976, а трехпараметровое уравнение регрессии имеет следующий вид:

lg k
$$^{\circ}$$
 10⁵ = -2.936 + 0.19643(Y) + 3.6387(P) + 0.00954(B)
R = 0.976 S = 0.29

Поскольку коэффициенты регрессии не дают возможности оценить значимость отдельных параметров в полученном уравнении, проведено их последовательное исключение с определением частных коэффициентов корреляции⁸.

lg k =
$$f(Y, P)$$
 R = 0.478
lg k = $f(Y, B)$ R = 0.963
lg k = $f(P, B)$ R = 0.975

Полученные значения указывают на практическую незначимость параметра полярности. Это подтверждает вывод о том, что вследствие гомолитического механизма распада органических пероксидов, подярность среды не играет существенной роли в этом процессе. Таким образом, влияние среды на скорость изучаемой реакции с удовлетворительной точностью можно описать двухпараметровым линейным уравнением, учитывающим поляризуемость и основность растворителя:

$$lg k \cdot 10^5 = -2.7768 + 3.3687(P) + 0.00954(B)$$
 $R = 0.975$ $S = 0.29$

Анализ этого уравнения показывает, что основное влияние на величину константы скорости оказывает основность (парный коэффициент корреляции $\bar{\mathbf{r}}=0.96$). Однако важную роль при активации молекулы играет фактор неспецифической сольватации. На это указывает значительное снижение коэффициента \mathbf{R} при его исключении и относительно большое значение парного коэффициента корреляции по поляризуемости $\bar{\mathbf{r}}=0.48$. Соответствующая зависимость 2.777+1g k \cdot $10^5-3.369(P)=f(B)$ представлена на рисунке.

Из приведенной зависимости несколько выпадает точка 5 (n -ксилол), скорость распада в котором выше расчетной.

Кинетические параметры реакции термического распада надпропионовой кислоты в различных растворителях

ММ Растворитель пп	т.к.	к · 10 ⁵ сек ⁻¹	Е, кДж/мол	lg A
I. Четыреххлористый углерод	3I3 323	0,10 0,23		
	333	0,45	61,9+2,9	4,3+0,4
	343	0,96		
	353	I,56		
2. Дихлорметан	313	0,22		
	323	0,47		
	333	0,67	55,2+2,5	3,6+0,4
	343	I,44		
	353	2,56		
3. Хлорбензол	313	0,36		
-ag anexy a intention	323	0,72		
	333	I,49	6I, I+I,2	4,7+0,2
	343	2,83	Ask to Original	1/4
	353	4,95		
4. Бензол	313	0,39		
	323	0,79		
	333	1,60	59,8+0,8	4,6+0,I
	343	2,90	ALCO AND OFFICE	
	353	5,35		
5. n - К силол	313	1,08		
	323	2,23		
	333	4,20	60,7+2,9	5, I+0,5
	343	9,02	1	
	353	14,58		
6. Этилацетат	313	2,97		
	323	5,66		
	333	7,88	51,5+2,9	4,0+0,5
	343	14,9	MIGITAL STREET	
	353	24,6		

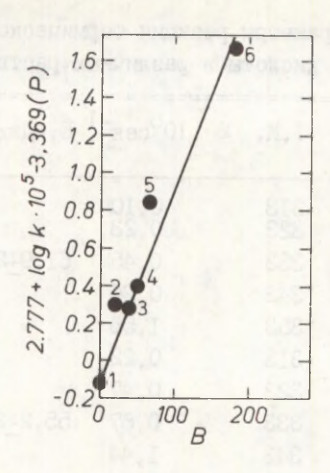


Рис. I. Двухпараметровая корреляция скорости реакции термического распада надпропионовой кислоты в разных растворителях. (Цифры соответствуют порядковому номеру в таблице).

Исключение этого растворителя позволяет повысить величину коэффициента корреляции R до 0,992, что соответствует области "отличной" корреляции положительные значения коэффициентов регрессии при параметрах P и В указывают на относительную стабилизацию активированного состояния молекулы пероксида вследствие его сольватации растворителем.

Полученные результаты позволяют прогнозировать скорость протекания побочной реакции разложения надпропионовой кислоты в растворителях с известными значениями параметров поляризуемости и основности.

Литература

- I. В.Г. Дрюк, Г.Г. Резникова, М.С. Малиновский. Вопр. химии и хим. технол. Республ. межвед. тематич. научно-техн. сб. 44, II6 (1976).
- B. Phillips, P.S. Starcher, B.D. Ash, J. Org. Chem., 23, No. 12, 1823 (1958).
- 3. А. Вайсбергер, Э. Проскауэр, Д. Риддик, Э. Тупс. Органи-

- ческие растворители. М., 1958, изд. "Иностр. лит.".
- 4. Б.М. Голова, Л.В. Мотовиляк, С.Ф. Политанский, М.В. Степанов. Завод, лаб., 40, № 10, 1193 (1974).
- S. Havel, Sb. ved. pr., Vysoka Skola Chem. techn., Pardubice, No. 15, 113 (1967).
- 6. И.А. Коппель, В.А. Пальм. Реакц. способн. органич. соедин., 8, № 1, 291 (1971).
- 7. В.А. Пальм. Основы количественной теории органических реакций. Л., 1977, изд. "Химия".
- 8. Л.М. Батунер, М.Е. Позин. Математические методы в химической технике. Л., 1971, изд. "Химия".
- 9. В.Л. Антоновский. Органические перекисные инициаторы. М., 1972, изд. "Химия".

Реакц. способн. орган. соедин., том 25, вып. I(89), I988.

УЛК 541.127 : 547.254.6

PEAKLUR ГРИНЬЯРА, КАТАЛИЗИРУЕМАЯ РЕАКТИВОМ ГРИНЬЯРА

А. Туулметс, М. Хырак, А. Онг, М. Лимберг Тартуский госуниверситет, кафедра органической химии, 202400 г. Тарту, Эст. ССР

Поступило 27 мая 1988 г.

Моносольватированные алкилмагнийгалогениды катализируют реакцию алкилгалогенидов с магнием. Активность катализатора зависит от его строения. Хлориды проявляют больщую активность по сравнению с бромидами. Если реагентом является тот же алкилгалогенид, из которого изготовлен катализатор, процесс протекает по кинетике первого порядка. В противном случае наблюдается автокаталитическая картина реакции или нерегулярные колебания скорости образования продукта. Автоколебания при реакции Гриньяра обнаружены впервые. Описан первый пример такой гетерогенной автоколебательной системы, где катализатор находится в растворе, а твердая поверхность является реагентом.

Недавно мы установили 1—3, что образование магнийорганических соединений в инертном растворителе в присуствии малых добавок органических оснований (менее одного моля на моль галогенида) протекает в две стадии. В первой, быстрой стадии реакции образуется моносольватированный реактив Гриньяра, выход которого соответствует количеству основания в смеси. Далее протекает относительно медленная реакция нулевого кинетического порядка образования магнийорганического соединения, катализуемая, очевидно, сольватированным магнийорганическим соединением, образованным в первой стадии реакции.

Закономерности протекания второй стадии процесса представляют определенный интерес в связи с тем, что при крупномасштабных магнийорганических синтезах с каталитическими количествами оснований существенная часть продукта образуется именно в результате упомянутой второй стадии реакции. Кроме того, та же вторая стадия реакции, благодаря неосложненной кинетике и доступности изучения, может оказаться продуктивным средством исследования механизма реакции Гриньяра.

Для проверки наших предположений о катализе в данном процессе и выявления его закономерностей мы изучили кинетику образования некоторых алкилмагнийбромидов и -хлоридов в присутствии эквимолекулярных комплексов разных алкилмагний-галогенидов с диэтиловым эфиром.

Экспериментальная часть

Реагенты и растворители очищали так, как описано ранее $^{\rm I}$. Магний применялся в виде гранул диаметром $^{\rm I}$,0-- $^{\rm I}$,6 мм.

Реакцию проводили в конической колбе ёмкостью 35 мл. Колба закрывалась специальной пробкой из тефлона, снабженной шайбой из силиконового каучука. Реакционный сосуд был термостатирован при температуре 30±0,1°С. Перемешивание реакционной смеси осуществлялось при помощи магнитной мешалки. Скорость перемешивания регулировалась напряжением тока, подаваемого на электрический привод.

Перед опытом в реакционный сосуд поместили 6±0,06 г магния (около 0,25 г-атома, общая поверхность около 160 см²) и при помощи калиброванных пипеток вносили соответствующие количества толуола и эфира, всего 20 мл. После включения перемешивания вводили рассчитанное количество алкилгалогенида в мольном отношении 1:1 к добавленному эфиру. После протекания реакции в системе имелся катализатор — моносольватированный алкилмагнийгалогенид. Концентрация последнего в большинстве случаев была 0,51 м (около 0,012 г-моля в реакционной смеси). После достижения системой постоянной температуры (30°С) вводили около 0,016 г-моля исследуемого алкилгалогенида. С этого момента начинался отсчет времени и

в определенные моменты из реакционной смеси брали пробы по I мл, которые анализировали ацидиметрически на содержание основного магния. Из той же пробы определяли количество галогенида по методу Φ ольгарда.

Кинетические кривые изображали в координатах выход продукта - время.

Результаты и обсуждение

Ранее I--3 при изучении этой реакции мы вводили в реакционную смесь сразу всю порцию алкилбромида. Быстрой стадии
реакции следовала медленная стадия нулевого кинетического
порядка, константа скорости которой находилась в квадратической зависимости от введенного количества основания при
постоянной начальной концентрации галогенида.

В настоящей работе мы отделяли упомянутые две стадии реакции так, что сначала приготовлялся катализатор — моносольватированный алкилмагнийгалогенид, а затем добавлялся соответствующий алкилгалогенид и изучалась его реакция с магнием в присутствии выбранного катализатора.

В первой серии опытов изучались реакции н-бутилбромида и -хлорида в присутствии разных количеств одноименного ка-тализатора, т.е. комплексов н-бутилмагнийбромида и -хлорида, соответственно, с диэтиловым эфиром. Как и следовало ожидать, на основании результатов более ранней работы , константа скорости нулевого порядка для н-бутилбромида зависит от концентрации соответствующего катализатора во второй степени (рис. I). Однако система, где бром заменен хлором, ведет се-

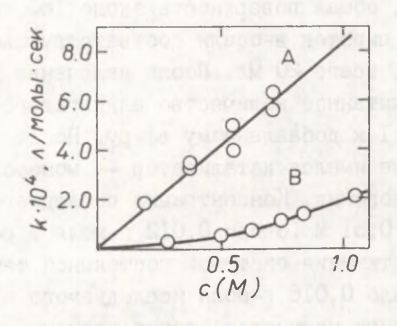


Рис. I. Зависимость константы скорости реакции от концентрации катализатора.

А - н-бутилхлорид, В - н-бутилбромид.

бя иначе. Зависимость константы скорости от концентрации катализатора имеет линейный характер в широком диапазоне изменения этой концентрации. Кроме того, хлоридная система реагирует значительно быстрее, чем соответствующая бромидная. Последнее обстоятельство несколько удивительно, так как в чистом этиловом эфире алкилхлориды менее реакционноспособны, по сравнению с бромидами⁴.

Далее варьировались как реагенты, так и катализаторы. Кинетические измерения проводились при фиксированном количестве катализатора (концентрация в реакционной смеси 0,51M).

Мы обнаружили, что в условиях нашего эксперимента в случае совпадения реагента и алкилгалогенида, из которого изготовлен катализатор, процесс протекает нормально по кинетике нулевого порядка. При отсутствии такого совпадения появляются нерегулярные колебания скорости образования продукта во времени. В случае незначительных различий амплитуда колебаний лишь незначительно выходит за пределы ошибок эксперимента и такие зависимости выход - время удовлетворительно аппроксимировались прямой линией, соответствующей кинетике нулевого порядка. Результаты приведены в табл. І. Однако колебания достигают больших амплитуд в случаях, если реагенты отличаются по галогену и в одном из них алкил имеет разветвленное строение. Типичный пример такого процесса приведен на рис. 2. Колебаниям скорости образования алкил-магнийгалогенида всегда строго соответствуют такие же колебания скорости образования магнийгалогенида. При соблюдении условий реакции колебания воспроизводимы (рис. 2). Изменение количества катализатора в реакционной смеси вызывает изменение характера колебаний, однако мы не обнаружили каких-либо закономерностей во влиянии концентрации катализатора.

В некоторых случаях, например, при н-бутилхлориде и бромидных катализаторах или же при изобутилхлориде с н-бутил-магнийхлоридным катализатором, вместе колебаний наблюдалась автокаталитическая картина хода реакции (рис. 3). Возможно, что при более длительной реакции, т.е. при большей начальной концентрации реагента удалось бы наблюдать переход к авто-колебательному режиму. В качестве характеристик таких процессов определялись начальные скорости реакции, которые также

III

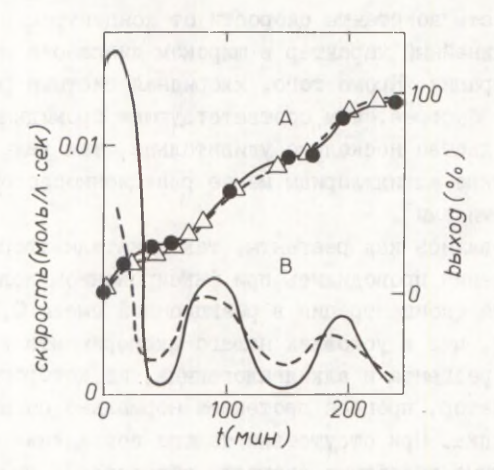


Рис. 2. Пример автоколебательного процесса. Катализатор — этилмагний бромид. этиловый эфир (0,5 м), реагент — изобутилхлорид.

 А – зависимость выхода изобутилмагнийхлорида от времени, В – зависимость скорости реакции от времени.
 Изображены два параллельных опыта.

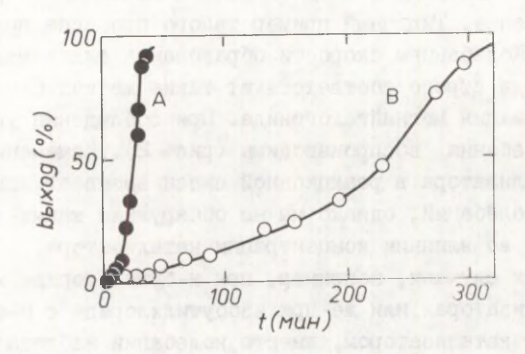


Рис. 3. Примеры автокаталитического хода процесса.

А — н-бутилмагнийхлорид.этиловый эфир — изобутилхлорид. В — н-бутилмагнийбромид.этиловый эфир — н-бутилхлорид.

112

Таблица I Константы скорости реакции образования алкилмагнийгалогенидов, к.10⁴ моль.сек⁻¹

	D	Катализатор								
	Реагент	EtMgBr - Et ₂ 0	n-BuMgBr · Et ₂ 0	i-BuMgBr·Et ₂ 0	n-BuMgCl · E	Et ₂ 0				
	EtBr	1.10 ± 0,04 1.02 ± 0.08	0.410 ± 0.012 0.506 ± 0.022	0.108 ± 0.014 0.146 ± 0.010						
1	n-BuBr	0.77 ± 0.08	0.486 ± 0.016 0.492 ± 0.026	0.258 ± 0.010 0.316 ± 0.014	колеба- ния	≥4,0*				
	i-BuBr	0.60 ± 0.04	0.248 ± 0.034 0.226 ± 0.012	0.138 ± 0.014 0.156 ± 0.012	колеба- ния	≥4,5*				
1	n-BuCl	$0.15 \pm 0.02^{*}$ $0.22 \pm 0.04^{*}$ автокатал.	$0.22 \pm 0.03^{\text{*}}$ $0.24 \pm 0.04^{\text{*}}$ автокатал.	0.25 ± 0.03 ^ж 0.24 ± 0.03 ^ж автокатал.	5.98 ± 0.08 4.88 ± 0.19					
3	i-BuCl	сильные колебания	сильные колебания	сильные колебания	0.74 ± 0.07 [*] 0.88 ± 0.04 [*] автокатал.					

^{*} начальная скорость

приведены в табл. І.

Из данных табл. І вытекает, что скорость реакции большей частью определяется природой катализатора. Так, например, как бромиды, так и хлориды реагируют относительно медленно при бромидных катализаторах. Активность бромидных катализаторов, по меньшей мере для алкилбромидов, падает в ряду этил>н-бутил>изобутил. В то же время и бромиды, и хлориды быстро реагируют в присутствии хлоридного катализатора.

Приведенный выше экспериментальный материал подтверждает, на наш взгляд, гипотезу о катализе сольватированными магнийорганическими соединениями. Если катализ осуществлялся бы свободным эфиром, то при росте количества магнийорганического соединения в реакционной смеси равновесное количество свободного эфира должно уменьшаться, что не оставляет места линейному, тем более автокаталитическому ходу роста количества продукта реакции. Кроме того, алкилмагний-хлориды как более эффективные кислоты Льюйса (ср. 5) должны сильнее связывать эфир, чем соответствующие бромиды и тем самым снизить скорость реакции. Однако алкилмагнийхлориды оказались значительно более активными катализаторами.

Существенным оказывается наличие органического радикала в катализаторе, так как специально синтезированная и изученная система ${\rm MgBr}_2$. ${\rm Et}_2{\rm O}$ не имела каталитической активности ни для алкилбромидов, ни -хлоридов.

Совсем неожиданным оказался автоколебательный характер процесса в определенных случаях. Автоколебательные химические реакции интенсивно изучаются и в последнее время круг таких реакций, где обнаружены автоколебания, быстро расширяется. Мы нашли новую автоколебательную реакцию, которой оказалась хорошо известная реакция Гриньяра при проведении в определенных условиях.

Поскольку изученная реакционная система является сложной ввиду гетерогенности, а детали механизма образования реактива Гриньяра неизвестны, множвство объяснений появлению автоколебаний оказываются равносильными. Рассмотрим два из них.

Первое. Для развития процесса требуется удаление про-

дукта реакции (или промежуточных продуктов) с поверхности магния. Это обусловливает наличие двух состояний центров на поверхности, что аналогично каталитическим процессам на твердых катализаторах может быть причиной автоколебаний.

Второе. Мы обнаружили, что разные моносольватированные реактивы Гриньяра проявляют различную каталитическую активность. Мы нашли также, что в условиях нашего эксперимента как катализаторы, так и продукты реакции находятся в растворе^ж. Следовательно, несольватированный продукт реакции комплексуется с сольватированным алкилмагнийгалогенидом. Таким образом, в реагирующей смеси имеется постоянно изменяющаяся система сложных комплексов или ассоциатов. Распределение основания между такими частицами в ходе процесса может быть неравновесным, что может вызывать колебания скорости процесса. Последнее объяснение кажется нам более правдоподобным ввиду длительного периода колнбаний (см. рис. 2), хотя и вклад первой версии не исключен.

Описанный выше случай является первым примером такой гетерогенной автоколебательной системы, где катализатор на-ходится в растворе, а твердая поверхность является реагентом. Предварительные эксперименты показали, ято аналогичные явления имеют место и в случае тетрагидрофурана в качестве основания. Механизм катализа моносольватированными алкилмагний-галогенидами остается пока открытым.

Литература

- I. А. Туулметс, М. Хырак, Э. Пилль, А. Рийкоя. Реакц. способн. орган. соедин., 22, вып. I(77), 93 (1985).
- 2. А. Туулметс, М. Хырак, К. Сарв, Э. Ааресильд. Реакц. способн. орган. соедин., 22, вып. 3(79), 330 (1985).
- 3. А. Туулметс, М. Хырак, Э. Ааресильд, К. Сарв. Реакц. способн. орган. соедин., 22, вып. 4(80), 462 (1985).
- 4. А. Туулметс, М. Хырак, Э. Якоб, М. Ваппер. Реакц. способн. орган. соедин., <u>18</u>, вып. 2(66), 220 (1981).
- 5. А. Туулметс. Реакц. способн. орган. соедин., II, вып. I(39),

^{*} Например, растворимость комплексов этилового эфира с н-бутилмагнийхлоридом и -бромидом в толуоле, по нашим оценкам достигает I.5 M.

79 (1974).

6. Д. Гарел, О. Гарел. Колебательные химические реакции. М. Мир., 1986.

СОДЕРЖАНИЕ

P.C.	А с а т р я н. Реакционная способность атомарного водорода — простейшего радикала: квантовохими—
	ческие аспекты 5
P.C.	Асатрян, Н.Ш. Маилян, О.М. Цыгу- лева. О реакционной способности сопряженных мо-
	номеров в процессе образования электропроводящих комплексов с йодом
И.А.	Коппель, В.А. Эйбер, В.Б. Коппель. Химические сдвиги 1 H, 79 Br, 17 O, 13 C и 14 N в
	водных растворах (н-С ₄ H ₉) ₄ NBr 56
M.A.	Коппель, Ю.Б. Коппель, В.О. Пихл.
	Кислотность некоторых карбоновых кислот в ДМСО 73
B.A.	Эйбер, Ю.Б. Коппель, И.А. Коппель. Химические сдвиги гидроксильного протона в бинар-
	ных смесях ацетонитрила со спиртами 95
R.0	Яворская, И.М. Романюк, А.В. Мисяйло, Н.В. Луцик. Влияние растворителей
	на скорость реакции термического разложения над- пропионовой кислоты
A. T	уулметс, М. Хырак, А. Онг, М. Лимберг. Реакция Гриньяра, катализируемая
	реактивом Гриньяра